

พลศาสตร์การจัดระเบียบเฟสภายใต้อิทธิพลของการเอนแบบเคลื่อนที่สลับ



วิทยานิพนธ์นี้เป็นส่วนหนึ่งของการศึกษาตามหลักสูตรปริญญาวิทยาศาสตรมหาบัณฑิต

สาขาวิชาฟิสิกส์ ภาควิชาฟิสิกส์

คณะวิทยาศาสตร์ จุฬาลงกรณ์มหาวิทยาลัย

ปีการศึกษา 2561

ลิขสิทธิ์ของจุฬาลงกรณ์มหาวิทยาลัย

PHASE-ORDERING DYNAMICS UNDER INFLUENCE OF OSCILLATORY SHEAR



A Thesis Submitted in Partial Fulfillment of the Requirements
for the Degree of Master of Science in Physics

Department of Physics

Faculty of Science

Chulalongkorn University

Academic Year 2018

Copyright of Chulalongkorn University

หัวข้อวิทยานิพนธ์	พลศาสตร์การจัดระเบียบเฟสภายใต้อิทธิพลของการเฉือนแบบเคลื่อนที่สลับ
โดย	นายสรารัฐ สະສມ
สาขาวิชา	ฟิสิกส์
อาจารย์ที่ปรึกษาวิทยานิพนธ์หลัก	ผู้ช่วยศาสตราจารย์ ดร.วรากร เฮงปัญญา

คณะวิทยาศาสตร์ จุฬาลงกรณ์มหาวิทยาลัย อนุมัติให้หัวข้อวิทยานิพนธ์ฉบับนี้เป็นส่วนหนึ่งของการศึกษาตามหลักสูตรปริญญาวิทยาศาสตรมหาบัณฑิต

.....	คณบดีคณะวิทยาศาสตร์
(ศาสตราจารย์ ดร.พลกฤษณ์ แสงวณิช)	
คณะกรรมการสอบวิทยานิพนธ์	
.....	ประธานกรรมการ
(รองศาสตราจารย์ ดร.สุรเชษฐ์ หลิมกำเนิด)	
.....	อาจารย์ที่ปรึกษาวิทยานิพนธ์หลัก
(ผู้ช่วยศาสตราจารย์ ดร.วรากร เฮงปัญญา)	
.....	กรรมการ
(ผู้ช่วยศาสตราจารย์ ดร.ปัจฉา ฉัตรภรณ์)	
.....	กรรมการภายนอกมหาวิทยาลัย
(รองศาสตราจารย์ ดร.สุธี บุญช่วย)	

สรารุช สะสม : พลศาสตร์การจัดระเบียบเฟสภายใต้อิทธิพลของการเฉือนแบบเคลื่อนที่
สลับ. (PHASE-ORDERING DYNAMICS UNDER INFLUENCE OF OSCILLATORY
SHEAR) อ.ที่ปรึกษาหลัก : ผศ. ดร.วรากร เฮ้งปัญญา

ในงานวิทยานิพนธ์ฉบับนี้เราศึกษาเกี่ยวกับพลศาสตร์การจัดระเบียบเฟสภายใต้อิทธิพล
ของการเฉือนแบบเคลื่อนที่สลับ โดยแบ่งศึกษาเป็น 2 กรณี ได้แก่ 1.กรณีที่ไม่คำนึงถึงผลการ
รบกวนทางความร้อน และ 2.กรณีที่คำนึงถึงผลการรบกวนทางความร้อน โดยวิทยานิพนธ์ฉบับนี้
จะเน้นการหาฟังก์ชันสหสัมพันธ์ที่เวลาเท่ากัน ฟังก์ชันโครงสร้างที่เวลาเท่ากันและกฎการเติบโต
ของพารามิเตอร์การจัดระเบียบแบบไม่อนุรักษ์ที่เป็นปริมาณเวกเตอร์หลายองค์ประกอบใน
แบบจำลองเอทีนิยามโดยฮัลเพอรินและโฮเฮนเบิร์ก

เราพบว่าเมื่อเวลาผ่านไปนาน การผันผวนทางความร้อนไม่มีผลต่อการสเกลเชิงพลวัต
ของระบบและพฤติกรรมของระบบถูกกำหนดด้วยความถี่และเฟสเริ่มต้นของการเฉือนแบบ
เคลื่อนที่สลับ นอกจากนี้ในงานวิทยานิพนธ์ฉบับนี้ได้ตั้งสมมติฐานว่า ระบบที่อธิบายได้ด้วย
พารามิเตอร์การจัดระเบียบแบบไม่อนุรักษ์ที่เป็นปริมาณเวกเตอร์หลายองค์ประกอบและ
แบบจำลองไอซิงจัดอยู่ในกลุ่มความเป็นสากลเดียวกัน ดังนั้นเพื่อเป็นการยืนยันความถูกต้องของผล
การคำนวณ จึงทำการจำลองพฤติกรรมของแบบจำลองไอซิงภายใต้อิทธิพลของการเฉือนแบบ
เคลื่อนที่สลับเพื่อเปรียบเทียบกับผลการคำนวณ พบว่าผลลัพธ์ของแบบจำลองและการคำนวณ
สอดคล้องกันดี

จุฬาลงกรณ์มหาวิทยาลัย
CHULALONGKORN UNIVERSITY

สาขาวิชา ฟิสิกส์
ปีการศึกษา 2561

ลายมือชื่อนิสิต

ลายมือชื่อ อ.ที่ปรึกษาหลัก

6072002823 : MAJOR PHYSICS

KEYWORD:

Srawut Sasom : PHASE-ORDERING DYNAMICS UNDER INFLUENCE OF OSCILLATORY SHEAR. Advisor: Asst. Prof. VARAGORN HENGPUNYA, Ph.D.

In this thesis, we study phase-ordering dynamics under influence of oscillatory shear in two cases separately - excluding thermal noise and including thermal noise. We focus on finding equal-time correlation functions, equal-time structure functions and growth laws of non-conserved n-component order-parameter (the large-n limit) in model A which was defined by Halperin and Hohenberg.

We find that at late times thermal fluctuation does not affect dynamical scaling of the system. Furthermore, initial phases and frequencies of oscillatory shear determine the behaviour of the system. In addition, we conjecture that non-conserved n-component order-parameter system and Ising model are in the same universality class. Therefore, to ensure the result, we do the simulation of 2D Ising model under influence of oscillatory shear to compare with the analytical result. We find that the simulation also obeys our analytical prediction.

จุฬาลงกรณ์มหาวิทยาลัย
CHULALONGKORN UNIVERSITY

Field of Study: Physics

Student's Signature

Academic Year: 2018

Advisor's Signature

กิตติกรรมประกาศ

ข้าพเจ้าขอขอบคุณ ผศ.ดร.วรากร เฮ้งปัญญา อาจารย์ที่ปรึกษางานวิจัยเป็นอย่างสูงที่ได้ให้คำปรึกษา แนะนำแนวทาง ตลอดจนช่วยตรวจสอบ และแก้ไขข้อบกพร่องต่างๆอีกทั้งยังให้ความรู้แก่ข้าพเจ้า ทำให้งานวิจัยฉบับนี้เสร็จสมบูรณ์ นอกจากนี้ข้าพเจ้าขอขอบคุณ รศ. ดร. สุรเชษฐ์ หลิมกำเนิด ผศ.ดร.ปัจฉา ฉัตรภรณ์ และรศ. ดร. สุธี บุญช่วย ที่ได้ให้ความกรุณาสละเวลามาเป็นประธานกรรมการสอบ กรรมการสอบ และกรรมการสอบภายนอกวิทยานิพนธ์ รวมถึงได้ให้ความรู้ ข้อเสนอแนะ เพื่อเป็นประโยชน์สำหรับการแก้ไขวิทยานิพนธ์ฉบับนี้ให้เกิดความถูกต้องและสมบูรณ์มากยิ่งขึ้น

สราวุธ สะสม



สารบัญ

	หน้า
บทคัดย่อภาษาไทย.....	ค
บทคัดย่อภาษาอังกฤษ.....	ง
กิตติกรรมประกาศ.....	จ
สารบัญ.....	ฉ
สารบัญตาราง.....	ช
สารบัญรูปภาพ.....	ฌ
คำอธิบายสัญลักษณ์และคำย่อ.....	ฎ
บทที่ 1 บทนำ.....	1
1.1 ที่มาและความสำคัญ.....	1
1.2 วัตถุประสงค์ของการวิจัย.....	4
1.3 ขอบเขตของการวิจัย.....	4
1.4 วิธีดำเนินการวิจัย.....	5
1.5 ประโยชน์ที่คาดว่าจะได้รับ.....	5
1.6 ภาพรวม.....	5
บทที่ 2 แนวคิดและทฤษฎีที่เกี่ยวข้อง.....	6
2.1 พลศาสตร์การจัดระเบียบเฟส.....	6
2.2 กระบวนการสโตคาสติกและสมการควบคุมหลัก.....	8
2.3 สมการกินซ์เบิร์ก-ลันเดาที่ขึ้นกับเวลา.....	10
2.4 ฟังก์ชันสหสัมพันธ์ที่เวลาเท่ากันและฟังก์ชันโครงสร้างที่เวลาเท่ากัน.....	11
2.5 สมมติฐานการสเกลเชิงพลวัตและกฎการเติบโต.....	12

บทที่ 3 การจัดระเบียบเฟสภายใต้อิทธิพลของการเฉือนแบบเคลื่อนที่สลับ โดยไม่คำนึงถึงผลของการ รบกวนทางความร้อน	14
บทที่ 4 การจัดระเบียบเฟสภายใต้อิทธิพลของการเฉือนแบบเคลื่อนที่สลับ โดยคำนึงถึงผลของการ รบกวนทางความร้อน	20
บทที่ 5 แบบจำลองไอซิงในปริภูมิพื้นที่ 2 มิติ	24
5.1 แบบจำลองมอนติคาร์โลของแบบจำลองไอซิงในปริภูมิพื้นที่ 2 มิติ ที่ไม่อยู่ภายใต้อิทธิพลของ การเฉือน	24
5.2 แบบจำลองมอนติคาร์โลของแบบจำลองไอซิงในปริภูมิพื้นที่ 2 มิติ ที่อยู่ภายใต้อิทธิพลของการ เฉือนแบบเคลื่อนที่สลับ	26
5.3 การจำลองแบบจำลองไอซิงในปริภูมิพื้นที่ 2 มิติ ภายใต้การเฉือนแบบเคลื่อนที่สลับ	27
บทที่ 6 ข้อเสนอและข้อเสนอแนะ	45
รายการอ้างอิง	47
บรรณานุกรม	48
ประวัติผู้เขียน	79

สารบัญตาราง

	หน้า
ตารางที่ 1 แสดงเงื่อนไขที่ใช้ในการจำลองระบบ.....	27

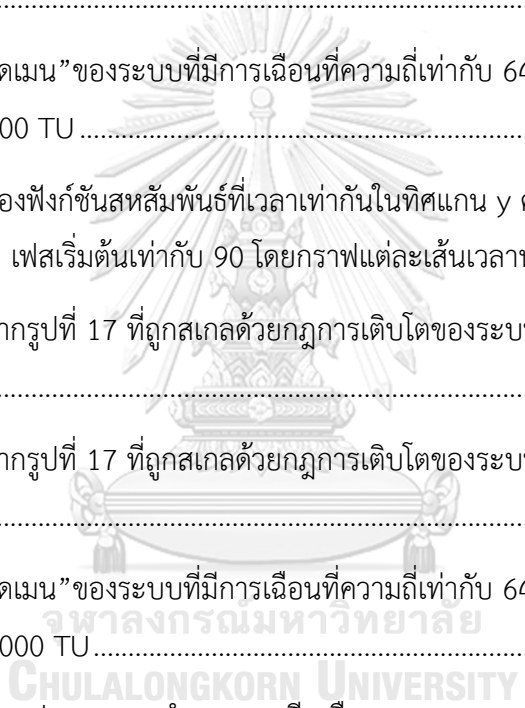


สารบัญรูปภาพ

หน้า

รูปที่ 1 แสดงแผนภาพการเปลี่ยนอุณหภูมิของระบบจาก อุณหภูมิสูง T_1 ไปยังอุณหภูมิ T_F ที่ต่ำกว่า อุณหภูมิวิกฤติ T_C พร้อมกับแสดงค่าแมกนีโตเซชัน (M) ของระบบที่อุณหภูมิต่างๆ.....	6
รูปที่ 2 แสดงแผนภาพเฟสของระบบอัลลอยแบบ 2 ชนิดที่ความเข้มข้นและอุณหภูมิต่างๆ	7
รูปที่ 3 แสดงภาพประกอบคำอธิบายของสมมติฐานการสเกลเชิงพลวัต(ในภาพนี้ใช้ภาพประกอบที่เกินความจริงเพื่อความเข้าใจ).....	13
รูปที่ 4 แสดงแบบจำลองมอนติคาร์โลของการเติบโต “โดเมน” ของแบบจำลองไอซิงในปริภูมิพื้นที่ 2 มิติ ที่อุณหภูมิเท่ากับ 0 K (จาก Kissner [10]) โดยที่ระบบมีขนาด 256×256 และแต่ละภาพถูกถ่ายเมื่อ MCS เท่ากับ 5 , 15, 60 และ 200 จากซ้ายไปขวา หลังจากทีระบบถูกลดอุณหภูมิตั้งแต่รวดเร็วจาอุณหภูมิสูง.....	26
รูปที่ 5 แสดงกราฟของฟังก์ชันสหสัมพันธ์ที่เวลาเท่ากันในทิศทาง x ความถี่ของการเฉือนมีค่าเท่ากับ 0.00001 1/TU และ เฟสเริ่มต้นเท่ากับ 0 โดยกราฟแต่ละเส้นเวลาห่างกัน 200 TU.....	29
รูปที่ 6 แสดงกราฟจากรูปที่ 5 ที่ถูกสเกลด้วยกฎการเติบโตของระบบที่อยู่ภายใต้อิทธิพลของการเฉือนแบบสม่ำเสมอ.....	30
รูปที่ 7 แสดงกราฟจากรูปที่ 5 ที่ถูกสเกลด้วยกฎการเติบโตของระบบที่ไม่อยู่ภายใต้อิทธิพลของการเฉือน	31
รูปที่ 8 แสดง “สปินโดเมน” ของระบบที่มีการเฉือนที่ความถี่เท่ากับ 0.00001 1/TU และ เฟสเริ่มต้นเท่ากับ 0 ณ เวลา 1,000 TU	32
รูปที่ 9 แสดงกราฟของฟังก์ชันสหสัมพันธ์ที่เวลาเท่ากันในทิศทาง x ความถี่ของการเฉือนมีค่าเท่ากับ 0.00001 1/TU และ เฟสเริ่มต้นเท่ากับ 90 โดยกราฟแต่ละเส้นเวลาห่างกัน 200 TU.....	33
รูปที่ 10 แสดงกราฟจากรูปที่ 9 ที่ถูกสเกลด้วยกฎการเติบโตของระบบที่อยู่ภายใต้อิทธิพลของการเฉือนแบบสม่ำเสมอ.....	34
รูปที่ 11 แสดงกราฟจากรูปที่ 9 ที่ถูกสเกลด้วยกฎการเติบโตของระบบที่ไม่อยู่ภายใต้อิทธิพลของการเฉือน	35

รูปที่ 12 แสดง“สปีนโดเมน”ของระบบที่มีการเฉือนที่ความถี่เท่ากับ 0.00001 1/TU และ เฟสเริ่มต้นเท่ากับ 90 ณ เวลา 1,000 TU	36
รูปที่ 13 แสดงกราฟของฟังก์ชันสหสัมพันธ์ที่เวลาเท่ากันในทิศแกน y ความถี่ของการเฉือนมีค่าเท่ากับ 64 1/TU และ เฟสเริ่มต้นเท่ากับ 0 โดยกราฟแต่ละเส้นเวลาห่างกัน 100 TU.....	37
รูปที่ 14 แสดงกราฟจากรูปที่ 13 ที่ถูกสเกลด้วยกฎการเติบโตของระบบที่อยู่ภายใต้อิทธิพลของการเฉือนแบบสม่ำเสมอ.....	38
รูปที่ 15 แสดงกราฟจากรูปที่ 13 ที่ถูกสเกลด้วยกฎการเติบโตของระบบที่ไม่อยู่ภายใต้อิทธิพลของการเฉือน	39
รูปที่ 16 แสดง“สปีนโดเมน”ของระบบที่มีการเฉือนที่ความถี่เท่ากับ 64 1/TU และ เฟสเริ่มต้นเท่ากับ 0 ณ เวลา 1,000 TU	40
รูปที่ 17 แสดงกราฟของฟังก์ชันสหสัมพันธ์ที่เวลาเท่ากันในทิศแกน y ความถี่ของการเฉือนมีค่าเท่ากับ 64 1/TU และ เฟสเริ่มต้นเท่ากับ 90 โดยกราฟแต่ละเส้นเวลาห่างกัน 100 TU	41
รูปที่ 18 แสดงกราฟจากรูปที่ 17 ที่ถูกสเกลด้วยกฎการเติบโตของระบบที่อยู่ภายใต้อิทธิพลของการเฉือนแบบสม่ำเสมอ.....	42
รูปที่ 19 แสดงกราฟจากรูปที่ 17 ที่ถูกสเกลด้วยกฎการเติบโตของระบบที่ไม่อยู่ภายใต้อิทธิพลของการเฉือน	43
รูปที่ 20 แสดง“สปีนโดเมน”ของระบบที่มีการเฉือนที่ความถี่เท่ากับ 64 1/TU และ เฟสเริ่มต้นเท่ากับ 90 ณ เวลา 1,000 TU	43
รูปที่ 21 แสดงแผนภาพเฟสของแบบจำลอง จุดสีเหลืองแทนสถานะของระบบที่อยู่ภายใต้อิทธิพลของการเฉือนแบบสม่ำเสมอ จุดสีแดงแทนสถานะของระบบที่ไม่อยู่ภายใต้อิทธิพลของการเฉือน และจุดสีส้มแทนสถานะของระบบที่ยังระบุไม่ได้	44



คำอธิบายสัญลักษณ์และคำย่อ

M	ย่อมาจาก Magnetization	V_3	คือ ปริมาตรทั้งหมดของปริภูมิพื้นที่
TDGL	ย่อมาจาก Time-dependent Ginzburg-Landau	$L(t)$	คือ กฎการเติบโตของระบบ
MCS	ย่อมาจาก Monte Carlo step	J	คือ อันตรกิริยาระหว่างสอง “สปิน” ที่อยู่ใกล้กัน
ETCF	ย่อมาจาก Equal-time correlation function	Ω	คือ เซตทั้งหมดของ σ
TU	ย่อมาจาก Time unit	σ	คือ การจัดเรียงตัวของ “สปิน” ใดๆ
$P(a, t)$	คือ ฟังก์ชันความน่าจะเป็นของระบบที่สถานะ a ณ เวลาเท่ากับ t	σ_t	คือ การจัดเรียงตัวของ “สปิน” แบบหนึ่ง ณ เวลา t
$\mu(a \rightarrow b)$	คือ ความน่าจะเป็นของการส่งผ่าน จากสถานะ a ไป b	$\sigma_{x,y}$	คือ ค่าของ “สปิน” ที่ตำแหน่ง (x,y)
T	คือ อุณหภูมิ	γ	คือ อัตราการเฉือน
t	คือ เวลา	ℓ	คือ ความกว้างและยาวของระบบ
$\vec{\phi}(\vec{r}, t)$	คือ พารามิเตอร์การจัดระเบียบ	ω	คือ ความถี่ของการเฉือน
Γ	คือ สัมประสิทธิ์จลน์ของระบบ	θ	คือ เฟสเริ่มต้นของการเฉือน
$H[\vec{\phi}]$	คือ ฟังก์ชันฮอลกินซ์เบิร์ก-ลินเดาพลังงานอิสระ		
$V(\vec{\phi})$	คือ พลังงานศักย์ของระบบ		
$\zeta(\vec{r}, t)$	คือ การรบกวนทางความร้อน		
$\langle \dots \rangle_0$	คือ ค่าเฉลี่ยของซอมเบล		
$\langle \dots \rangle_\zeta$	คือ ค่าเฉลี่ยของซอมเบลของการรบกวนทางความร้อน		
$\delta_{\alpha\beta}$	คือ เดลตาโครเนกเกอร์		
$\delta(\vec{r} - \vec{r}')$	คือ ฟังก์ชันดิแรกเดลตา		
k_B	คือ ค่าคงที่บ็อลทซ์มันน์		
\vec{V}	คือ ความเร็วของของไหล		
$C(\vec{r}, t)$	คือ ฟังก์ชันสหสัมพันธ์ที่เวลาเท่ากัน		
$S(\vec{k}, t)$	คือ ฟังก์ชันโครงสร้างที่เวลาเท่ากัน		

บทที่ 1

บทนำ

1.1 ที่มาและความสำคัญ

หลายศตวรรษที่ผ่านมา นักฟิสิกส์พยายามศึกษาอุณหพลศาสตร์ (Thermodynamics) และ กลศาสตร์สถิติแบบสมดุล (Equilibrium statistical mechanics) เพื่ออธิบายระบบต่างๆที่อยู่ใน สภาวะสมดุล จนถึงเวลานี้เรามีเครื่องมือทางฟิสิกส์และคณิตศาสตร์ที่สามารถอธิบายหลายระบบที่ อยู่ในสภาวะสมดุลได้เป็นอย่างดี เป็นเหตุผลทำให้ในช่วงไม่กี่ทศวรรษที่ผ่านมา นักฟิสิกส์เริ่มให้ ความสนใจในการศึกษากลศาสตร์สถิติแบบไม่สมดุล (Non-equilibrium statistical mechanics) มากขึ้น เพื่อศึกษาทำความเข้าใจพลวัต (Dynamics) ของระบบที่ไม่อยู่ในสภาวะสมดุล หนึ่งใน หัวข้อทางกลศาสตร์สถิติแบบไม่สมดุลที่ได้รับความสนใจคือ พลศาสตร์การจัดระเบียบเฟส (Phase-ordering dynamics)

ในการศึกษาพลศาสตร์การจัดระเบียบเฟสจะศึกษาผ่านพารามิเตอร์ที่ชื่อว่า พารามิเตอร์การ จัดระเบียบ (Order parameter) โดยแต่ละระบบจะมีพารามิเตอร์การจัดระเบียบที่เหมาะสมแตกต่างกัน แบบจำลองไอซิง (Ising model) เป็นแบบจำลองพื้นฐานที่ใช้อธิบายการจัดระเบียบเฟสของ ระบบต่างๆ เช่น ความเป็นแม่เหล็กของระบบ (Magnetism) ระบบอัลลอยแบบ 2 ชนิด (Binary alloy) ก๊าซเชิงแลตทิซ (Lattice gas) สปินกลาส (Spin glass) โครงข่ายของระบบประสาท และ แผ่นน้ำแข็งในทะเล เป็นต้น โดยที่แบบจำลองไอซิงจะมีพารามิเตอร์การจัดระเบียบเป็นปริมาณ สเกลาร์ แต่จากการศึกษาที่ผ่านมาพบว่า บางระบบมีพารามิเตอร์การจัดระเบียบที่เหมาะสมเป็น ปริมาณเวกเตอร์หรือเทนเซอร์ได้เช่นกัน

ในบางระบบผลรวมของค่าพารามิเตอร์การจัดระเบียบจะต้องมีค่าคงที่ เราเรียกพารามิเตอร์ การจัดระเบียบของระบบเช่นนั้นว่า พารามิเตอร์การจัดระเบียบแบบอนุรักษ์ แต่สำหรับระบบที่มี ผลรวมของค่าพารามิเตอร์การจัดระเบียบไม่คงที่ เราเรียกพารามิเตอร์การจัดระเบียบของระบบ เช่นนั้นว่า พารามิเตอร์การจัดระเบียบแบบไม่อนุรักษ์

แบบจำลองเอ็กซ์วาย (XY model) เป็นแบบจำลองพื้นฐานสำหรับระบบที่มีพารามิเตอร์การ จัดระเบียบที่เป็นปริมาณเวกเตอร์ที่มี 2 องค์ประกอบ ($n = 2$) ตัวอย่างระบบที่สามารถอธิบายได้ ด้วยแบบจำลองเอ็กซ์วาย เช่น ระบบตัวนำยิ่งยวด ระบบของไหลยิ่งยวด และผลึกเหลว (Liquid crystals) เป็นต้น สำหรับแบบจำลองพื้นฐานที่ใช้อธิบายระบบที่มีพารามิเตอร์การจัดระเบียบเป็น ปริมาณเวกเตอร์ที่มี 3 องค์ประกอบ ($n = 3$) มีชื่อว่า แบบจำลองไฮเซนเบิร์ก (Heisenberg model) เป็นแบบจำลองที่สามารถใช้อธิบายการจัดระเบียบเฟสของเอกภพในช่วงแรกเริ่มและผลึกเหลว

เช่นกัน ดังนั้นเป็นไปได้ว่ามีระบบในธรรมชาติที่สามารถอธิบายได้ด้วยพารามิเตอร์การจัดระเบียบที่เป็นปริมาณเวกเตอร์ซึ่งมีองค์ประกอบมากกว่า 3 ($n > 3$)

จากงานวิจัยที่ผ่านมาพบว่าแม้เพียงบางแบบจำลอง (รวมถึงแบบจำลองอื่นที่ไม่ได้กล่าวไว้ในข้างต้น) ที่มีผลเฉลยแม่นยำตรง แต่โดยส่วนใหญ่เป็นผลเฉลยของแบบจำลองที่แตกต่างจากระบบที่มีอยู่ในธรรมชาติ อย่างไรก็ตามสมบัติบางประการของแบบจำลองเหล่านั้นยังคงมีความสอดคล้องกับการทดลอง [1] โดยเฉพาะสมบัติในปรากฏการณ์การสเกล (Scaling phenomena) ซึ่งปรากฏการณ์การสเกลเป็นหนึ่งในปรากฏการณ์ทางฟิสิกส์ที่มีความสำคัญ เพราะเราสามารถอธิบายพฤติกรรมบางอย่างของระบบที่แตกต่างกันได้ด้วยกฎการสเกล (Scaling law) เดียวกัน

ในงานวิทยานิพนธ์ฉบับนี้ศึกษาเกี่ยวกับการจัดระเบียบเฟสของระบบที่มีพารามิเตอร์การจัดระเบียบแบบไม่อนุรักษ์ที่เป็นปริมาณเวกเตอร์หลายองค์ประกอบ (large-n limit) ซึ่งแตกต่างจากระบบที่เราพบในธรรมชาติ แต่เราสามารถนำระบบดังกล่าวเป็นการประมาณของระบบที่เราไม่สามารถหาผลเฉลยแม่นยำตรงได้และการศึกษาสมบัติที่พบในปรากฏการณ์การสเกลของระบบดังกล่าวยังคงให้มุมมองเชิงคุณภาพของระบบในธรรมชาติแก่เรา

ในบทความวิชาการของเบร์ย์ [1] ได้กล่าวถึงการศึกษาการจัดระเบียบเฟสของระบบที่มีพารามิเตอร์การจัดระเบียบแบบไม่อนุรักษ์ที่เป็นปริมาณเวกเตอร์หลายองค์ประกอบ ที่ถูกลดอุณหภูมิให้ต่ำกว่าอุณหภูมิวิกฤตอย่างทันทีทันใด ณ เวลาเริ่มต้น เบร์ย์ตั้งสมมติฐานว่าเมื่อเวลาผ่านไปนานจากเวลาเริ่มต้น เราสามารถอธิบายระบบนั้นได้ด้วยสมการกินซ์เบิร์ก-ลันเดาที่ขึ้นกับเวลา

$$\frac{\partial \phi^\alpha}{\partial t} = -\frac{\delta H[\vec{\phi}]}{\delta \phi^\alpha}$$

เมื่อ ϕ^α คือ องค์ประกอบที่ α ของพารามิเตอร์การจัดระเบียบ

$H[\vec{\phi}] = \int \frac{1}{2} (\nabla \vec{\phi})^2 + V(\vec{\phi}) d^3r$ คือ ฟังก์ชันฮามิลโทเนียนของระบบ

$V(\vec{\phi})$ คือ พลังงานศักย์ของระบบ

ในบทความกล่าวถึงการหาผลเฉลยแบบแม่นยำ โดยอาศัยการแปลงฟูเรียร์ในการเปลี่ยนให้สมการเชิงอนุพันธ์ไม่เชิงเส้นข้างต้น ให้เป็นสมการอนุพันธ์เชิงเส้นที่สามารถหาผลเฉลยแบบแม่นยำได้ด้วยวิธีมาตรฐาน หลังจากนั้นเมื่อนำผลเฉลยที่ได้ไปคำนวณหาค่าฟังก์ชันสหสัมพันธ์ที่เวลาเท่ากัน (Equal-time correlation function)

$$C(r, t) = \exp\left(-\frac{r^2}{8t}\right)$$

เมื่อ $C(r, t)$ คือ ฟังก์ชันสหสัมพันธ์ที่เวลาเท่ากัน และ r คือ ระยะห่างจากจุดใดๆ ที่สนใจ เราจะพบว่ามีการปรากฏการณ์การสเกลเกิดขึ้นในระบบนี้ กล่าวคือ หากเราพิจารณาฟังก์ชันสหสัมพันธ์เป็นฟังก์ชันของตัวแปร $r^* = \frac{r}{\sqrt{t}}$ เราจะได้ว่า ที่เวลาต่างๆ ระบบจะมีฟังก์ชันสหสัมพันธ์ในรูปแบบเดียวกันคือ $C(r^*) = \exp(-\frac{r^*}{8})$ ซึ่ง \sqrt{t} มีบทบาทสำคัญในการอธิบายปรากฏการณ์การสเกลนี้และมีความเชื่อมโยงกับขนาดของ“โดเมน”ของระบบ ดังนั้นเราจึงเรียกค่า \sqrt{t} นี้ว่า กฎการเติบโต (Growth law) โดยจะแทนสัญลักษณ์เป็น $L(t)$ ซึ่งในบทความของเบร์รี่จะเขียนไว้ว่า $L(t) \sim \sqrt{t}$

ต่อมาวารการ [2] ได้พัฒนางานต่อจากเบร์รี่ โดยในงานวิจัยของเขาได้ศึกษาการจัดระเบียบเฟสของระบบที่มีพารามิเตอร์การจัดระเบียบแบบไม่อนุรักษ์ที่เป็นปริมาณเวกเตอร์หลายองค์ประกอบ ภายใต้การเฉือนแบบสม่ำเสมอ และเนื่องจากในงานวิจัยของเบร์รี่ไม่ได้คำนึงถึงผลการรบกวนทางความร้อน กล่าวอีกนัยหนึ่งก็คือ ระบบที่เบร์รี่ศึกษาคือระบบที่มีอุณหภูมิเท่ากับ 0 K ซึ่งไม่มีอยู่จริงในธรรมชาติ แต่ในงานวิจัยดังกล่าวได้ศึกษาผลการรบกวนทางความร้อนที่มีผลต่อระบบ หรือกล่าวอีกนัยหนึ่งก็คือ การศึกษาระบบที่มีอุณหภูมิสูงกว่า 0 K ซึ่งเป็นระบบที่พบได้ในธรรมชาติ โดยสมการกินซ์เบิร์ก-แลนเดาที่ขึ้นกับเวลาที่ใช้ในงานวิจัยดังกล่าวจะมีพจน์ของการเฉือนและการรบกวนทางความร้อนเพิ่มเข้ามา ดังแสดงในสมการข้างล่าง

$$\frac{\partial \phi^\alpha}{\partial t} + \nabla \cdot (\vec{V} \phi^\alpha) = -\Gamma \frac{\delta H[\phi]}{\delta \phi^\alpha} + \zeta^\alpha$$

เมื่อ \vec{V} คือ ความเร็วของของไหล
 Γ คือ สัมประสิทธิ์จลน์ของระบบ
 ζ^α คือ องค์ประกอบที่ α ของการรบกวนทางความร้อน

ในงานวิจัยดังกล่าวสนใจผลเฉลยแม่นยำตรงของพารามิเตอร์การจัดระเบียบและกฎการเติบโตผ่านฟังก์ชันสหสัมพันธ์ที่เวลาเท่ากันเช่นกัน โดยฟังก์ชันสหสัมพันธ์ที่เวลาเท่ากันของงานวิจัยดังกล่าวคือ

$$C(\vec{r}, t) = C_0 \exp\left(-\frac{1}{8\gamma t} \left[12 \left(\frac{x}{\gamma t} - \frac{y}{2}\right)^2 + y^2 + z^2\right]\right)$$

เมื่อ C_0 คือ ค่าคงที่ และ γ คือ อัตราการเฉือน จะสังเกตได้ว่าเนื่องจากในงานวิจัยดังกล่าวมีข้อแตกต่างกับงานวิจัยของเบร์รี่ตรงที่ ระบบไม่มีสมมาตรทรงกลม เนื่องจากในแกน x ของระบบมีการเฉือนเกิดขึ้น แต่ในทิศอื่นไม่มีการเฉือน จึงทำให้กฎการเติบโตในทิศของแกน x แตกต่างจากทิศอื่น

$$L_x(t) \sim t^{3/2}, L_y(t) \sim t^{1/2}, L_z(t) \sim t^{1/2}$$

เมื่อ $L_x(t)$ คือ กฎการเติบโตในทิศของแกน x

$L_x(t)$ คือ กฎการเติบโตในทิศของแกน y

$L_y(t)$ คือ กฎการเติบโตในทิศของแกน z

และนอกจากนี้ในงานวิจัยดังกล่าวยังพบว่าการสเกลเชิงพลวัต (Dynamical scaling) ของระบบที่มีการรบกวนทางความร้อนและระบบที่ไม่มีการรบกวนทางความร้อนไม่มีความแตกต่างกันเมื่อพิจารณาจากกฎการเติบโตของทั้ง 2 ระบบ

ในสถานการณ์ความเป็นจริงระบบที่เราสนใจอาจจะอยู่ภายใต้การเงื่อนไขแบบเคลื่อนที่สลับ เช่น ในงานประยุกต์ของของไหลยิ่งยวดหรือผลึกเหลวที่ต้องอยู่ภายใต้การเงื่อนไขแบบเคลื่อนที่สลับ หรือการศึกษาสมบัติของวัสดุด้วยวิธีการเงื่อนไขแบบเคลื่อนที่สลับที่มีอำนาจขนาดใหญ่ [3] เป็นต้น เราสามารถศึกษาปรากฏการณ์การสเกลในเชิงคุณภาพของระบบเหล่านั้นได้ ผ่านการศึกษาพลศาสตร์การจลระเบียบเฟสของระบบที่มีพารามิเตอร์การจลระเบียบแบบไม่อนุรักษ์ที่เป็นปริมาณเวกเตอร์หลายองค์ประกอบภายใต้การเงื่อนไขแบบเคลื่อนที่สลับ จึงเป็นหัวข้อหลักในการศึกษาและทำวิทยานิพนธ์ฉบับนี้ และเนื่องจากในทางปฏิบัติเราไม่สามารถทำให้อุณหภูมิของระบบมีค่าเท่ากับ 0 K ได้ ดังนั้นการศึกษาระบบที่มีอุณหภูมิสูงกว่า 0 K หรือการศึกษาผลการรบกวนทางความร้อน จึงเป็นอีกหนึ่งในหัวข้อที่เราให้ความสนใจ และเนื่องจากเรารู้ว่าการรบกวนทางความร้อนไม่มีผลต่อการสเกลเชิงพลวัตของระบบที่ถูกเงื่อนไขแบบสม่ำเสมอ เราจึงตั้งสมมติฐานว่า การสเกลเชิงพลวัตของการจลระเบียบเฟสภายใต้อิทธิพลของการเงื่อนไขแบบเคลื่อนที่สลับจะไม่ได้รับผลกระทบจากการรบกวนทางความร้อนเช่นกัน เมื่อพิจารณาจากกฎการเติบโต โดยที่เราจะพิสูจน์สมมติฐานดังกล่าวโดยแบ่งการศึกษาออกเป็น 2 กรณี คือ กรณีที่ไม่คำนึงถึงผลการรบกวนทางความร้อน และกรณีที่คำนึงถึงผลการรบกวนทางความร้อน และนำกฎการเติบโตของทั้ง 2 กรณีมาเปรียบเทียบกัน

1.2 วัตถุประสงค์ของการวิจัย

ศึกษาการสเกลเชิงพลวัตของระบบที่มีพารามิเตอร์การจลระเบียบแบบไม่อนุรักษ์ที่เป็นปริมาณเวกเตอร์หลายองค์ประกอบภายใต้อิทธิพลของการเงื่อนไขแบบเคลื่อนที่สลับ ผ่านสมมติฐานการสเกลเชิงพลวัต รวมถึงศึกษาผลการรบกวนทางความร้อนที่มีผลต่อระบบ

1.3 ขอบเขตของการวิจัย

ศึกษาพลศาสตร์ของการจลระเบียบเฟสของระบบภายใต้การเงื่อนไขแบบเคลื่อนที่สลับโดยที่แบ่งการศึกษาออกเป็น กรณีที่ไม่คำนึงถึงการรบกวนทางความร้อนและกรณีที่คำนึงถึงการรบกวนทางความร้อน โดยเน้นการหา ฟังก์ชันสหสัมพันธ์ที่เวลาเท่ากัน ฟังก์ชันโครงสร้างที่เวลาเท่ากัน และ

กฎการเติบโตของพารามิเตอร์การจัดระเบียบแบบไม่อนุรักษ์ที่เป็นปริมาณเวกเตอร์หลายองค์ประกอบ พร้อมเปรียบเทียบผลการคำนวณกับการจำลองทางคอมพิวเตอร์

1.4 วิธีดำเนินการวิจัย

เริ่มต้นค้นคว้าเอกสารและข้อมูลพื้นฐาน เพื่อเป็นพื้นฐานสำหรับการแก้สมการกินซ์เบิร์ก-ลันเดาที่ขึ้นกับเวลาของระบบที่กำลังศึกษาให้ได้มาซึ่งฟังก์ชันสหสัมพันธ์ที่เวลาเท่ากัน ฟังก์ชันโครงสร้างที่เวลาเท่ากัน และกฎการเติบโต ซึ่งแนวทางในการแก้สมการดังกล่าวคือการใช้จาโคเบียนของการแปลง การแปลงฟูเรียร์ การแปลงลาปลาซ การวิเคราะห์ตัวแปรเชิงซ้อน เงื่อนไขเริ่มต้นและลิมิตเวลาที่เหมาะสม หลังจากได้ผลการคำนวณ นำผลลัพธ์ที่ได้ไปเปรียบเทียบกับแบบจำลองทางคอมพิวเตอร์ แล้วจึงวิเคราะห์ข้อมูลทั้งหมดและสรุปผล

1.5 ประโยชน์ที่คาดว่าจะได้รับ

ได้ความรู้ใหม่และขยายขอบเขตการศึกษาพลศาสตร์การจัดระเบียบเฟส ซึ่งคาดว่าจะจะเป็นประโยชน์กับงานวิจัยที่เกี่ยวกับการศึกษาสมบัติของของไหลยิ่งยวด ผลึกเหลว และวัสดุอื่นที่มีความเกี่ยวข้องกับการเปลี่ยนเฟสและการเอนแบบเคลื่อนที่สลับ

1.6 ภาพรวม

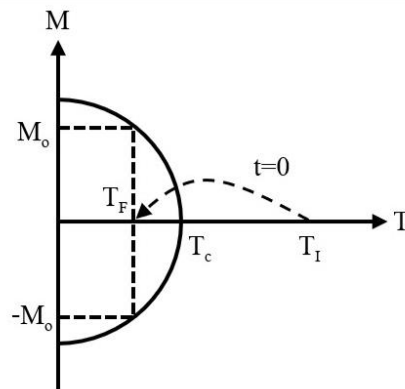
ในบทถัดไป จะกล่าวถึงแนวคิดและทฤษฎีพื้นฐานที่เกี่ยวข้องกับวิทยานิพนธ์ฉบับนี้ ซึ่งได้แก่ ความหมายของพลศาสตร์การจัดระเบียบเฟส กระบวนการสโตคาสติก สมการควบคุมหลัก สมการกินซ์เบิร์ก-ลันเดาที่ขึ้นกับเวลา ฟังก์ชันสหสัมพันธ์ที่เวลาเท่ากัน ฟังก์ชันโครงสร้างที่เวลาเท่ากัน สมมติฐานการสเกลเชิงพลวัต และกฎการเติบโต ตามลำดับ ในบทที่ 3 จะเป็นการศึกษาพลศาสตร์การจัดระเบียบเฟสของระบบที่มีพารามิเตอร์การจัดระเบียบแบบไม่อนุรักษ์ที่เป็นปริมาณเวกเตอร์หลายองค์ประกอบ โดยที่ไม่คำนึงถึงผลการรบกวนทางความร้อน ส่วนการศึกษาผลการรบกวนทางความร้อนที่มีต่อระบบจะกล่าวถึงในบทที่ 4 และเพื่อเป็นการยืนยันผลการคำนวณ เราจึงทำการเปรียบเทียบผลการคำนวณจากบทที่ 3 และ 4 กับการจำลองทางคอมพิวเตอร์ของแบบจำลองไอซิงที่จะกล่าวถึงในบทที่ 5 ผ่านสมมติฐานที่ว่า ระบบที่มีพารามิเตอร์การจัดระเบียบแบบไม่อนุรักษ์ที่เป็นปริมาณเวกเตอร์หลายองค์ประกอบจะอยู่ในกลุ่มความเป็นสากลเดียวกัน (Universality class) กับแบบจำลองไอซิง และบทสุดท้ายคือบทที่ 6 จะกล่าวถึงข้อสรุปและข้อเสนอแนะของวิทยานิพนธ์ฉบับนี้

บทที่ 2

แนวคิดและทฤษฎีที่เกี่ยวข้อง

พลศาสตร์การจัดระเบียบเฟสเป็นหัวข้อหนึ่งที่ประยุกต์ความรู้จากกลศาสตร์เชิงสถิติแบบไม่สมดุลและอุณหพลศาสตร์ เพื่ออธิบายพลวัตของการจัดระเบียบเฟสของระบบ ซึ่งถือว่าเป็นกระบวนการสโตคาสติก (Stochastic process) ประเภทหนึ่ง โดยเราอธิบายพลวัตของระบบผ่านตัวแปรสุ่มที่เรียกว่า พารามิเตอร์การจัดระเบียบ โดยใช้สมการที่สามารถพิสูจน์ได้จากสมการควบคุมหลัก (Master equation) [4] คือ สมการกินซ์เบิร์ก-แลนเดาที่ขึ้นกับเวลา (Time-dependent Ginzburg-Landau equation) แต่เนื่องจากเราไม่สามารถอธิบายการขึ้นกับเวลาและตำแหน่งของพารามิเตอร์การจัดระเบียบเชิงกำหนด (Deterministically) ได้ เราจึงต้องอธิบายผ่านฟังก์ชันทางสถิติ เช่น ฟังก์ชันสหสัมพันธ์ที่เวลาเท่ากันหรือฟังก์ชันโครงสร้างที่เวลาเท่ากัน (Equal-time structure function) เป็นต้น จากการศึกษาะบบอย่างง่าย [1] ทำให้เราได้มาซึ่งสมมติฐานที่สำคัญคือ สมมติฐานการสเกลเชิงพลวัต (Dynamical scaling hypothesis) ที่เชื่อมโยงระหว่าง ฟังก์ชันสหสัมพันธ์ที่เวลาเท่ากันและกฎการเติบโตที่สามารถใช้ประมาณขนาดของ“โดเมน”ได้และในการศึกษาครั้งนี้ได้ตั้งสมมติฐานว่า ระบบที่อธิบายได้ด้วยพารามิเตอร์การจัดระเบียบแบบไม่อนุรักษ์ที่เป็นปริมาณเวกเตอร์หลายองค์ประกอบและแบบจำลองไอซิงจัดอยู่ในกลุ่มความเป็นสากลเดียวกัน และเนื่องจากแบบจำลองไอซิงสามารถจำลองได้ด้วยคอมพิวเตอร์ เพื่อเป็นการยืนยันผลการคำนวณในการศึกษาครั้งนี้ เราจึงสร้างแบบจำลองมอนติคาร์โล (Monte Carlo) ของแบบจำลองไอซิงเพื่อเทียบผลการคำนวณ

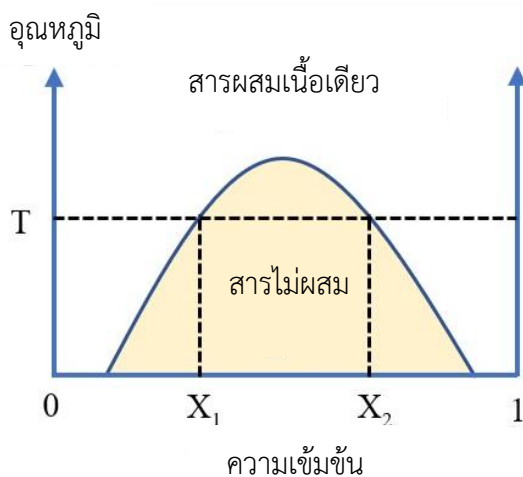
2.1 พลศาสตร์การจัดระเบียบเฟส



รูปที่ 1 แสดงแผนภาพการเปลี่ยนอุณหภูมิของระบบจาก อุณหภูมิสูง T_I ไปยังอุณหภูมิต่ำกว่า T_F ที่ต่ำกว่าอุณหภูมิวิกฤติ T_c พร้อมกับแสดงค่าแมกนีไทเซชัน (M) ของระบบที่อุณหภูมิต่างๆ

พลศาสตร์การจัดระเบียบเฟส คือ การศึกษาเกี่ยวกับพลวัตการจัดระเบียบองค์ประกอบระดับจุลภาคของระบบที่ถูกลดอุณหภูมิลงอย่างทันทีทันใด จากสถานะที่ระบบมีภาวะเอกพันธ์และอุณหภูมิสูง ไปยังสถานะที่ระบบมีภาวะวิวิธพันธ์และอุณหภูมิต่ำกว่าอุณหภูมิวิกฤติ

ตัวอย่างระบบที่อธิบายด้วยพลศาสตร์การจัดระเบียบเฟส เช่น ระบบแม่เหล็กเฟอร์โรที่อะตอมมีค่าโมเมนต์ของขั้วแม่เหล็ก (Magnetic dipole moment) ได้เพียง 2 ค่า โดยจะเรียกว่า “สปินอัพ” และ “สปินดาวน์” หรืออีกชื่อหนึ่งก็คือ ระบบแม่เหล็กเฟอร์โรเชิงแบบจำลองไอซิง (Ferromagnetic system) เมื่ออุณหภูมิสูงระบบจะมีความเอกพันธ์ กล่าวคือ ที่บริเวณต่างๆของเนื้อสาร โมเมนต์ของขั้วแม่เหล็กของอะตอมจะมีค่าสุ่มจึงทำให้ค่าแมกนีไทเซชันของระบบมีค่าเป็นศูนย์ แต่เมื่อระบบถูกลดอุณหภูมิต่ำกว่าอุณหภูมิวิกฤติ ระบบจะพยายามจัดเรียงโมเมนต์ของขั้วแม่เหล็กให้เป็นระเบียบมากขึ้น ทำให้แมกนีไทเซชันของระบบมีค่าไม่เป็นศูนย์ ดังแสดงในรูปที่ 1



รูปที่ 2 แสดงแผนภาพเฟสของระบบอัลลอยแบบ 2 ชนิดที่ความเข้มข้นและอุณหภูมิต่างๆ

ระบบอัลลอยแบบ 2 ชนิด (Binary alloy) เมื่ออุณหภูมิสูงโลหะสองชนิดจะผสมเป็นเนื้อเดียวกัน (Homogenous mixture) แต่เมื่อลดอุณหภูมิต่ำลงทำให้บางบริเวณจะมีความหนาแน่นของโลหะชนิดเดียวกันมากกว่าโลหะอีกชนิดหนึ่ง (Two-phase region) กล่าวได้ว่าระบบมีการจัดเรียงตัวที่เป็นระเบียบมากขึ้น ดังแสดงในรูปที่ 2

เนื่องจากการศึกษาพลวัตการจัดระเบียบเฟสของระบบใดๆ จะศึกษาผ่านตัวแปรที่เรียกว่า พารามิเตอร์การจัดระเบียบ ซึ่งเป็นตัวแปรที่วัดความเป็นระเบียบขององค์ประกอบระดับจุลภาคที่ประกอบเป็นระบบมหภาค [5] เช่น ในระบบแม่เหล็กเฟอร์โร จะใช้โมเมนต์ของขั้วแม่เหล็กของอะตอมหรือบางครั้งจะใช้คำว่า “สปิน” เป็นพารามิเตอร์การจัดระเบียบ ส่วนในระบบอัลลอยแบบ 2 ชนิด จะใช้ความหนาแน่นของโลหะเป็นพารามิเตอร์การจัดระเบียบ ซึ่งจาก

ตัวอย่างที่ผ่านมาจะพบว่าพารามิเตอร์การจัดระเบียบมีลักษณะเป็นปริมาณสเกลาร์ แต่โดยทั่วไปพารามิเตอร์การจัดระเบียบ สามารถเป็นปริมาณเวกเตอร์หรือเทนเซอร์ได้เช่นกัน นอกจากนี้ยังสามารถแบ่งแยก พารามิเตอร์การจัดระเบียบเป็นปริมาณที่อนุรักษหรือไม่อนุรักษได้ เช่น ในระบบแม่เหล็กเฟอร์โรที่ “สปิน” เป็นพารามิเตอร์การจัดระเบียบแบบไม่อนุรักษ เพราะจำนวนของอะตอมที่มี “สปินอัพ” และ “สปินดาวน์” (สมมติในกรณีนี้ “สปิน” เป็นไปได้แค่สองค่า) ไม่จำเป็นต้องมีค่าคงที่ แต่สำหรับระบบอัล-ลอยแบบ 2 ชนิด ที่ความหนาแน่นของระบบเป็นพารามิเตอร์การจัดระเบียบแบบอนุรักษ เนื่องจากจำนวนอนุภาคโลหะในระบบมีจำนวนคงที่

โดยทั่วไปแล้วพลวัตของพารามิเตอร์การจัดระเบียบจะไม่สามารถอธิบายเชิงกำหนดได้ หรือกล่าวอีกนัยหนึ่งก็คือ พลวัตของพารามิเตอร์การจัดระเบียบเป็นกระบวนการสุโตคาสติก ซึ่งในหัวข้อถัดไปจากกล่าวถึงความหมายของ กระบวนการสุโตคาสติก และเนื่องจากระบบที่เราสนใจในวิทยานิพนธ์ฉบับนี้คือ ระบบที่สามารถอธิบายพลวัตของระบบนั้นได้ด้วยสมการกินซ์เบิร์ก-แลนเดาที่ขึ้นกับเวลา โดยสมการกินซ์เบิร์ก-แลนเดาที่ขึ้นกับเวลา เป็นสมการที่สามารถพิสูจน์ได้จากสมการควบคุมหลัก ซึ่งจะกล่าวถึงในหัวข้อถัดไปเช่นกัน

2.2 กระบวนการสุโตคาสติกและสมการควบคุมหลัก

กระบวนการสุโตคาสติกคือปรากฏการณ์สุ่มที่เกิดขึ้นผ่านกระบวนการบางอย่างที่เปลี่ยนแปลงไปกับเวลา ซึ่งอธิบายได้ด้วยทฤษฎีความน่าจะเป็น ตัวอย่างเช่น การเคลื่อนที่แบบบราวน์ การเติบโตของประชากรแบคทีเรีย ความผันผวนของกระแสไฟฟ้าในวงจร เป็นต้น

ในพลศาสตร์การจัดระเบียบเฟส กระบวนการที่พารามิเตอร์การจัดระเบียบเปลี่ยนแปลงไปกับเวลา มีลักษณะเป็นกระบวนการสุโตคาสติก ซึ่งหมายความว่าเราไม่สามารถหาความสัมพันธ์ระหว่างพารามิเตอร์การจัดระเบียบกับตำแหน่งและเวลาที่ผ่านไปเชิงกำหนดได้ แต่เราสามารถอธิบายค่าเชิงสถิติของพารามิเตอร์การจัดระเบียบได้ เช่น ฟังก์ชันสหสัมพันธ์ที่เวลาเท่ากันหรือฟังก์ชันโครงสร้างที่เวลาเท่ากัน เป็นต้น

สมการควบคุมหลัก คือ สมการที่ใช้บรรยายการเปลี่ยนแปลงไปกับเวลาของฟังก์ชันความน่าจะเป็นของระบบที่มีลักษณะเป็นกระบวนการมาร์คอฟ (Markov process)

$$P(a, t + \Delta t) - P(a, t) = - \sum_{b(\neq a)} \mu(a \rightarrow b) P(a, t) \Delta t + \sum_{b(\neq a)} \mu(b \rightarrow a) P(b, t) \Delta t$$

โดย $P(a, t)$ คือ ความน่าจะเป็นที่ระบบจะอยู่ในสถานะ a ที่เวลา t

$\mu(a \rightarrow b)\Delta t$ เรียกว่า ความน่าจะเป็นของการส่งผ่าน คือ ความน่าจะเป็นที่ระบบจะเปลี่ยนสถานะจาก a ไป b ในช่วงเวลา Δt

ในการพิสูจน์สมการกินซ์เบิร์ก-แลนเดาที่ขึ้นกับเวลาจากสมการควบคุมหลัก เริ่มต้นจากพิจารณาระบบแบบจำลองไอซิง (อธิบายในบทที่ 5) ที่มีสมการควบคุมหลักเป็น

$$\begin{aligned} \frac{dP(\{S_i\}, t)}{dt} = & - \sum_{j=1}^N \mu(S_1, \dots, S_j, \dots, S_N | S_1, \dots, -S_j, \dots, S_N) P(\{S_i\}, t) \\ & + \sum_{j=1}^N \mu(S_1, \dots, -S_j, \dots, S_N | S_1, \dots, S_j, \dots, S_N) P(\{S'_i\}, t) \end{aligned}$$

เมื่อ S_i คือค่าของ“สปิน” ณ ตำแหน่ง i และ $\{S_i\}$ คือเซตของค่า“สปิน”ทั้งหมดในการจัดเรียงตัวใดๆ และใช้ค่าเฉลี่ยของ“สปิน” $\langle S_k \rangle$ ซึ่งเป็นฟังก์ชันของเวลาเป็นพารามิเตอร์การจัดระเบียบ

$$\langle S_k \rangle = \sum_{\{S_i\}} S_k P(\{S_i\}, t)$$

หลังจากนั้นทำการหาค่าอนุพันธ์ของ $\langle S_k \rangle$ เทียบกับเวลาโดยอาศัยสมการควบคุมหลัก และเนื่องจากในงานวิทยานิพนธ์ฉบับนี้ศึกษาพลศาสตร์การจัดระเบียบเฟสของระบบที่ถูกลดอุณหภูมิให้ต่ำกว่าค่าอุณหภูมิวิกฤติ ดังนั้นเราสามารถใช้การประมาณสนามเฉลี่ย (Mean-field approximation) กับค่าเฉลี่ยของพารามิเตอร์การจัดระเบียบได้ กล่าวคือ เราสามารถแทนค่าเฉลี่ยของผลคูณ“สปิน” ได้ด้วยค่าผลคูณของค่าเฉลี่ย“สปิน”

$$\langle S_i S_j \rangle \approx \langle S_i \rangle \langle S_j \rangle$$

จากนั้นเราจะได้อัตราการเปลี่ยนแปลงของ $\langle S_k \rangle$ เทียบกับเวลา แต่เนื่องจากระบบแบบจำลองไอซิงเป็นระบบที่ไม่ต่อเนื่อง (Discrete system) แต่ในมุมมองมหภาค เราสามารถประมาณระบบที่ไม่ต่อเนื่องให้กลายเป็นระบบที่ต่อเนื่องได้ (Coarse-graining)

$$\langle S_k \rangle \rightarrow \phi(\vec{r}, t)$$

ท้ายที่สุดเราจะได้ สมการกินซ์เบิร์ก-แลนเดาที่ขึ้นกับเวลาของระบบที่มีพารามิเตอร์การจัดระเบียบแบบไม่อนุรักษ์ที่เป็นปริมาณสเกลาร์

$$\frac{\partial \phi}{\partial t} = -\Gamma \frac{\delta H[\phi]}{\delta \phi} + \zeta \quad (1)$$

เมื่อ $H[\phi] = \int \frac{1}{2} (\nabla\phi)^2 + V(\phi) d^3r$ คือ ฟังก์ชันฮามิลโทเนียนของระบบ

$V(\phi)$ คือ พลังงานศักย์ของระบบ

ϕ คือ พารามิเตอร์การจลน์แบบไม่อนุกรมที่เป็นปริมาณสเกลาร์

แต่เนื่องจากสมการที่ (1) เป็นสมการกึ่งเชิงเส้นที่ขึ้นกับเวลาของระบบที่มีพารามิเตอร์การจลน์แบบไม่อนุกรมที่เป็นปริมาณสเกลาร์ แต่ระบบที่สนใจในงานวิทยานิพนธ์ฉบับนี้คือระบบที่มีพารามิเตอร์การจลน์แบบไม่อนุกรมที่เป็นปริมาณเวกเตอร์หลายองค์ประกอบ ซึ่งจากงานของฮัลเพอรินและโฮเฮนเบิร์ก [6] เราสามารถทำให้สมการที่ (1) อยู่ในรูปทั่วไปได้ ดังแสดงอยู่ในหัวข้อถัดไป

2.3 สมการกึ่งเชิงเส้นที่ขึ้นกับเวลา

ดังที่กล่าวไว้ในหัวข้อก่อนหน้า เราสามารถอธิบายระบบที่มีพารามิเตอร์การจลน์แบบไม่อนุกรมที่เป็นปริมาณเวกเตอร์หลายองค์ประกอบ ด้วยสมการรูปทั่วไปของสมการที่ (1) ซึ่งเขียนได้ดังนี้

$$\frac{\partial \phi^\alpha}{\partial t} = -\Gamma \frac{\delta H[\phi]}{\delta \phi^\alpha} + \zeta^\alpha \quad (2)$$

เมื่อ ϕ^α คือ องค์ประกอบที่ α ของพารามิเตอร์การจลน์แบบไม่อนุกรม

t คือ เวลา

Γ คือ สัมประสิทธิ์จลน์ของระบบ

ζ^α คือ องค์ประกอบที่ α ของการรบกวนทางความร้อน

โดยทั่วไปจะพิจารณาระบบตามเงื่อนไขดังต่อไปนี้

1. พลังงานศักย์ของระบบจะไม่เปลี่ยนแปลงเมื่อระบบถูกหมุน ดังนั้น $V \equiv V(\vec{\phi}^2)$
2. ฟังก์ชันสหสัมพันธ์ที่เวลาเท่ากัน ที่เวลาเริ่มต้นของระบบ ซึ่งอยู่ในสถานะที่มีอุณหภูมิสูง จะมีค่าเป็นศูนย์เมื่อเปรียบเทียบจุดที่ต่างกัน 2 จุด หรือองค์ประกอบที่ต่างกัน ดังสมการที่ (3)

$$\langle \phi^\alpha(\vec{r}, 0) \phi^\beta(\vec{r}', 0) \rangle_0 = \Delta \delta_{\alpha\beta} \delta(\vec{r} - \vec{r}') \quad (3)$$

เมื่อ Δ คือจำนวนจริง และ $\langle \dots \rangle_0$ แทนค่าเฉลี่ยของซอมเบิล (Ensemble average) บนสถานะเริ่มต้นที่เป็นไปได้ทั้งหมด

3. การรบกวนทางความร้อนจะมีสมบัติเป็นรบกวนเกาส์เซียนสีขาว กล่าวคือค่าเฉลี่ยของการรบกวนจะมีค่าเป็นศูนย์เสมอ และค่าฟังก์ชันสหสัมพันธ์ที่เวลาเท่ากันจะมีค่าเป็นศูนย์เมื่อเปรียบเทียบจุด 2 จุดที่ต่างกัน เวลาต่างกันหรือองค์ประกอบที่ต่างกัน สรุปได้ดังสมการที่ (4)

$$\begin{aligned} \langle \zeta^\alpha(\vec{r}, t) \rangle_\zeta &= 0 \\ \langle \zeta^\alpha(\vec{r}, t) \zeta^\beta(\vec{r}', t') \rangle_\zeta &= D \delta_{\alpha\beta} \delta(\vec{r} - \vec{r}') \delta(t - t') \end{aligned} \quad (4)$$

เมื่อ $D = 2\Gamma k_B T$ โดยที่ k_B คือค่าคงที่บ็อลทซ์มันน์ T คืออุณหภูมิ และ $\langle \dots \rangle_\zeta$ แทนค่าเฉลี่ยของซอม-เบิลของการรบกวนทางความร้อน ζ

แต่เนื่องจากในงานวิทยานิพนธ์ฉบับนี้จะศึกษาระบบที่อยู่ภายใต้อิทธิพลของการเฉือน ดังนั้นสมการ TDGL ต้องเพิ่มพจน์ที่เกี่ยวข้องกับการเฉือน ซึ่งจะได้ว่า

$$\frac{\partial \phi^\alpha}{\partial t} + \nabla \cdot (\vec{V} \phi^\alpha) = -\Gamma \frac{\delta H[\phi]}{\delta \phi^\alpha} + \zeta^\alpha \quad (5)$$

โดยที่ \vec{V} คือ ความเร็วของของไหล

แต่เนื่องจากพลวัตของพารามิเตอร์การจัดระเบียบเป็นกระบวนการสโตคาสติก เราจึงไม่สามารถหาค่าของพารามิเตอร์การจัดระเบียบที่ตำแหน่งและเวลาต่างๆเชิงกำหนดได้ แต่เราสามารถหาฟังก์ชันทางสถิติของพารามิเตอร์การจัดระเบียบได้ โดยฟังก์ชันทางสถิติที่สำคัญสำหรับการศึกษาทางกลศาสตร์สถิติ คือ ฟังก์ชันสหสัมพันธ์ที่เวลาเท่ากันและฟังก์ชันโครงสร้างที่เวลาเท่ากัน ซึ่งจะกล่าวในหัวข้อถัดไป

2.4 ฟังก์ชันสหสัมพันธ์ที่เวลาเท่ากันและฟังก์ชันโครงสร้างที่เวลาเท่ากัน

ในทางสถิติหากต้องการรู้ว่าตัวแปรสุ่ม 2 ตัวใดๆสัมพันธ์กันหรือไม่ จะพิจารณาผ่านค่าฟังก์ชันสหสัมพันธ์ของ 2 ตัวแปรนั้น หากค่าฟังก์ชันสหสัมพันธ์ของ 2 ตัวแปรมีค่าเป็นศูนย์มีความหมายว่าทั้ง 2 ตัวแปรไม่สัมพันธ์กันหรือเป็นอิสระต่อกัน ฟังก์ชันสหสัมพันธ์ที่เวลาเท่ากันแทนด้วย $C(\vec{r}, t)$ โดยมีนิยามดังนี้

$$C(\vec{r}, t) \equiv \langle \phi(\vec{x}, t) \phi(\vec{x} + \vec{r}, t) \rangle_0 \quad (6)$$

สำหรับกลศาสตร์เชิงสถิติฟังก์ชันสหสัมพันธ์ที่เวลาเท่ากันเป็นฟังก์ชันที่สำคัญเพราะสามารถใช้ศึกษาปริมาณที่สำคัญต่างๆของระบบได้ เช่น ศึกษาการสเกลเชิงพลวัต [1, 2] (Dynamical scaling) ศึกษาสเปกตรัมของพลังงาน [7] หรือการคำนวณหาค่าสภาพรับไว้ได้ (Susceptibility) [5] เป็นต้น ส่วนฟังก์ชันโครงสร้างที่เวลาเท่ากันคือการแปลงฟูเรียร์ของฟังก์ชันสหสัมพันธ์ที่เวลาเท่ากัน

$$S(\vec{k}, t) \equiv V_3 \int e^{-i\vec{k}\cdot\vec{r}} C(\vec{r}, t) d^3r \quad (7)$$

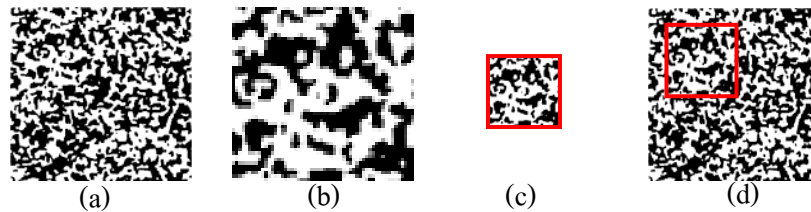
เมื่อ V_3 คือปริมาตรทั้งหมดของปริภูมิพื้นที่ สาเหตุที่สนใจค่าฟังก์ชันโครงสร้างที่เวลาเท่ากัน เพราะหลายครั้ง การคำนวณหาค่าฟังก์ชันโครงสร้างที่เวลาเท่ากันจะสะดวกกว่าฟังก์ชันสหสัมพันธ์ที่เวลาเท่ากันและฟังก์ชันโครงสร้างที่เวลาเท่ากันยังให้มุมมองบางอย่างทางฟิสิกส์ที่ไม่มีในฟังก์ชันสหสัมพันธ์ที่เวลาเท่ากัน เพราะฟังก์ชันสหสัมพันธ์ที่เวลาเท่ากันพิจารณาในปริภูมิพื้นที่ แต่ฟังก์ชันโครงสร้างที่เวลาเท่ากันพิจารณาในปริภูมิโมเมนตัม (Momentum space)

ปรากฏการณ์การสเกลเป็นปรากฏการณ์หนึ่งในทางกลศาสตร์สถิติ เพราะเราสามารถอธิบายพฤติกรรมบางอย่างของระบบที่แตกต่างกันได้ด้วยกฎหรือสมมติฐานข้อเดียวกัน ซึ่งในหลายการทดลองและการจำลองทางคอมพิวเตอร์เกี่ยวกับพลศาสตร์การจลระเบียบเฟสที่เกิดปรากฏการณ์การสเกลเกิดขึ้น มักพบว่าฟังก์ชันสหสัมพันธ์ที่เวลาเท่ากันและฟังก์ชันโครงสร้างที่เวลาเท่ากัน มีรูปแบบเดียวกัน นักฟิสิกส์จึงนำพฤติกรรมที่พบบ่อยนั้นมาตั้งเป็นสมมติฐานในการศึกษาระบบที่เกี่ยวข้องกับปรากฏการณ์การสเกลของพลศาสตร์การจลระเบียบเฟส และเรียกสมมติฐานนั้นว่า สมมติฐานการสเกลเชิงพลวัต

2.5 สมมติฐานการสเกลเชิงพลวัตและกฎการเติบโต

สมมติฐานการสเกลเชิงพลวัต คือ หนึ่งในสมมติฐานที่สำคัญของปรากฏการณ์การสเกล โดยสมมติฐานนี้กล่าวไว้ว่า เมื่อเวลาผ่านไปนาน จะมีสเกลความยาวลักษณะเฉพาะ (Characteristic length scale) $L(t)$ สเกลเดียวที่ทำให้ โครงสร้าง“โดเมน”ของระบบมีลักษณะไม่ขึ้นกับเวลาในเชิงสถิติ เมื่อทำการสเกลขนาดของระบบด้วย $L(t)$

ตัวอย่างสมมติฐานการสเกลเชิงพลวัตกับแบบจำลองไอซิงในปริภูมิพื้นที่ 2 มิติ ภาพ (a) ในรูปที่ 3 คือภาพของระบบเมื่อเวลาผ่านไปนาน T_a และภาพ (b) คือภาพของระบบเมื่อเวลาผ่านไป T_b โดย $T_b > T_a$ จะเห็นว่าขนาดของ“สปินโดเมน”มีขนาดใหญ่ขึ้น แต่ถ้าหากเราสเกลระบบด้วยค่าความยาวลักษณะเฉพาะ $L(t)$ ภาพ (b) จะเล็กลงกลายเป็นภาพ (c) จะเห็นได้ว่าโครงสร้าง“โดเมน”ของภาพ (a) และภาพ (c) ไม่ได้ต่างกัน ดังที่แสดงในภาพ (d)



รูปที่ 3 แสดงภาพประกอบคำอธิบายของสมมติฐานการสเกลเชิงพลวัต(ในภาพนี้ใช้ภาพประกอบที่เกินความจริงเพื่อความเข้าใจ)

การขึ้นกับเวลาของความยาวลักษณะเฉพาะ $L(t)$ ของระบบนั้นๆเรียกว่า กฎการเติบโตจากสมมติฐานการสเกลเชิงพลวัต จึงคาดการณ์ว่า ฟังก์ชันสหสัมพันธ์ที่เวลาเท่ากันและฟังก์ชันโครงสร้างที่เวลาเท่ากันของระบบในปริภูมิพื้นที่ 3 มิติควรจะอยู่ในรูปแบบ $C(\vec{r}, t) = f\left(\frac{x}{L_x}, \frac{y}{L_y}, \frac{z}{L_z}\right)$ และ $S(\vec{k}, t) = L_x L_y L_z g(L_x k_x, L_y k_y, L_z k_z)$ ซึ่งโดยปกติฟังก์ชันสหสัมพันธ์ที่เวลาเท่ากันจะมีลักษณะเป็นฟังก์ชันเอกซโพเนนเชียลแบบลด ดังนั้นเราสามารถกล่าวได้ว่า ความยาวลักษณะเฉพาะ $L(t)$ แสดงขนาดประมาณของ“โดเมน”ของระบบและโดยทั่วไปกฎการเติบโตจะอยู่ในรูปแบบ $L(t) \sim t^\alpha$ โดย $\alpha \in \mathbb{R}$

สำหรับแบบจำลองไอซิงในปริภูมิพื้นที่ 3 มิติ ที่ไม่ได้อยู่ภายใต้อิทธิพลของการเฉือน จะมีกฎการเติบโตเป็น $L_x(t) \sim L_y(t) \sim L_z(t) \sim t^{\frac{1}{2}}$ สำหรับระบบที่มีพารามิเตอร์การจัดระเบียบหลายองค์ประกอบแบบไม่อนุรักษ์และไม่ได้อยู่ภายใต้อิทธิพลของการเฉือน จะมีกฎการเติบโตเป็น $L_x(t) \sim L_y(t) \sim L_z(t) \sim t^{\frac{1}{2}}$ เช่นกัน [1] แต่สำหรับระบบที่มีพารามิเตอร์การจัดระเบียบหลายองค์ประกอบแบบไม่อนุรักษ์ภายใต้อิทธิพลของการเฉือนแบบสม่ำเสมอ จะมีกฎการเติบโตเป็น $L_x(t) \sim t^{\frac{3}{2}}, L_y(t) \sim L_z(t) \sim t^{\frac{1}{2}}$ [2] โดยระบบมีการเฉือนเฉพาะในทิศของแกน x เท่านั้น จะสังเกตได้ว่าในทิศของการเฉือน กฎการเติบโตของระบบจะมีค่ามากกว่าในทิศที่ตั้งฉาก

บทที่ 3

การจัตระเบียบเฟสภายใต้อิทธิพลของการเฉือนแบบเคลื่อนที่กลับ โดยไม่คำนึงถึงผลของการรบกวนทางความร้อน

ในกรณีที่ไม่คำนึงถึงผลของการรบกวนทางความร้อน พจน์สุดท้ายขวามือของสมการที่ (5) จะมีค่าเป็นศูนย์ และได้สมการใหม่เป็น

$$\frac{\partial \phi^\alpha}{\partial t} + \nabla \cdot (\vec{V} \phi^\alpha) = -\Gamma \frac{\delta H[\vec{\phi}]}{\delta \phi^\alpha} \quad (8)$$

เพื่อให้เป็นไปตามเงื่อนไขข้อที่ 1 ที่กล่าวไว้ในหัวข้อที่ 2.3 จะกำหนดให้พจน์ของพลังงานศักย์

$V(\vec{\phi}) = \left(\frac{c}{2} - \sqrt{\frac{u_0}{4n}} \vec{\phi}^2\right)^2$ ในฟังก์ชันนอลกินซ์เบิร์ก-แลนเดาพลังงานอิสระ $H[\vec{\phi}]$ โดยที่ C และ u_0 เป็นจำนวนจริงบวก n เป็นจำนวนองค์ประกอบของพารามิเตอร์การจัตระเบียบและเพื่อให้ง่ายต่อการพิจารณา จะกำหนดให้ทิศทางการเฉือนอยู่ในแกน x เพียงแกนเดียวและกำหนดความเร็วของของไหลเป็น $\vec{V} = \gamma \cos(\omega t + \theta) \hat{x}$ เมื่อ γ คือ อัตราการเฉือน แทนค่าเหล่านี้ในสมการที่ (8) จะได้สมการในรูปแบบใหม่เป็น

$$\frac{\partial \phi^\alpha}{\partial t} + \gamma \cos(\omega t + \theta) \frac{\partial \phi^\alpha}{\partial x} = -\Gamma \left(-\nabla^2 \phi^\alpha + r_0 \phi^\alpha + u_0 \frac{\vec{\phi}^2}{n} \phi^\alpha \right) \quad (9)$$

เมื่อ $r_0 \equiv -C \sqrt{\frac{u_0}{n}}$ และตั้งสมมติฐานว่าพจน์ $\frac{\vec{\phi}^2}{n}$ และ $\langle (\phi^\alpha(\vec{r}, t))^2 \rangle \equiv \frac{1}{V_3} \int \langle (\phi^\alpha(\vec{r}, t))^2 \rangle_0 d^3r$ เท่ากันเมื่อพิจารณาที่ n มีค่ามาก สาเหตุเพราะ $\frac{\vec{\phi}^2}{n}$ เป็นค่าเฉลี่ยของทุกองค์ประกอบของพารามิเตอร์การจัตระเบียบยกกำลังสอง เมื่อ n มีค่ามาก $\frac{\vec{\phi}^2}{n}$ จะมีค่าน้อยมาก ดังนั้นค่าเฉลี่ยของทุกองค์ประกอบของพารามิเตอร์การจัตระเบียบยกกำลังสอง $\frac{\vec{\phi}^2}{n}$ สามารถแทนได้ด้วยค่าเฉลี่ยขององค์ประกอบใดองค์ประกอบหนึ่งยกกำลังสอง $\langle (\phi^\alpha(\vec{r}, t))^2 \rangle$ และจากสมมติฐานนี้จะได้ว่าแต่ละองค์ประกอบของพารามิเตอร์การจัตระเบียบเป็นอิสระต่อกันและมีพฤติกรรมในแบบเดียวกัน ดังนั้นหลังจากนี้จะแทน ϕ^α ด้วย ϕ ทำให้เขียนสมการ (9) ใหม่ได้เป็น

$$\frac{\partial \phi}{\partial t} + \gamma \cos(\omega t + \theta) \frac{\partial \phi}{\partial x} = -\Gamma (-\nabla^2 - a(t)) \phi \quad (10)$$

$$\text{เมื่อ } a(t) \equiv -(r_0 + u_0 \langle \phi^2(\vec{r}, t) \rangle) \quad (11)$$

สิ่งหนึ่งที่ควรสังเกตคือ ระบบจะมีพลังงานศักย์ต่ำสุดเมื่อ $\frac{\phi^2}{n} = \langle \phi^2(\vec{r}, t) \rangle = -\frac{r_0}{u_0}$ ดังนั้นเราอาจจะกล่าวได้ว่า $-\frac{r_0}{u_0}$ คือค่าเฉลี่ยของ ϕ^2 ที่สมดุล $\langle \phi^2(\vec{r}, t \rightarrow \infty) \rangle$ และ $\frac{a(t)}{u_0}$ คือผลต่างระหว่างค่าเฉลี่ยของ ϕ^2 ที่สมดุลกับค่าเฉลี่ยของ ϕ^2 ที่เวลา t ใดๆ

เพื่อหาผลเฉลยสมการเชิงอนุพันธ์นี้ จะทำการแปลงฟูเรียร์สมการนี้ ทำให้ได้สมการเชิงอนุพันธ์ในรูปแบบใหม่เป็น

$$\frac{\partial \tilde{\phi}}{\partial t} - \gamma k_x \cos(\omega t + \theta) \frac{\partial \tilde{\phi}}{\partial k_y} = -\Gamma(k^2 - a(t)) \tilde{\phi} \quad (12)$$

เนื่องจากในสมการที่ (12) มีพจน์ที่ k_x คูณอยู่กับอนุพันธ์ของ $\tilde{\phi}$ เทียบกับ k_y ทำให้ไม่สามารถหาผลเฉลยด้วยวิธีมาตรฐานได้ ต้องอาศัยการแปลงตัวแปรเป็นตัวแปรใหม่ที่สัมพันธ์กับเส้นโค้งลักษณะเฉพาะของสมการที่ (12) โดยเส้นโค้งลักษณะเฉพาะหาได้จากสมการ $\frac{dk_y}{dt} = -\gamma k_x \cos(\omega t + \theta)$ ซึ่งจะได้สมการของเส้นโค้งลักษณะเฉพาะเป็น

$$k_y = -\gamma \frac{k_x}{\omega} (\sin(\omega t + \theta) - \sin \theta) + \text{ค่าคงที่} \quad (13)$$

จากสมการที่ (13) จะได้ความสัมพันธ์ของตัวแปรและฟังก์ชันที่ต้องการแปลงดังนี้

$$\begin{aligned} q_x &= k_x, q_y = k_y + \gamma \frac{k_x}{\omega} (\sin(\omega t + \theta) - \sin(\theta)), q_z = k_z, \tau = t \\ k_x &= q_x, k_y = q_y - \gamma \frac{q_x}{\omega} (\sin(\omega \tau + \theta) - \sin(\theta)), k_z = q_z, t = \tau \\ \tilde{\phi}(\vec{k}, t) &\rightarrow \varphi(\vec{q}, \tau) \text{ และ } \vec{k}^2 \rightarrow Q^2(\vec{q}, \tau) \end{aligned} \quad (14)$$

หลังจากนั้นทำการแปลงตัวแปรเป็นตัวแปรชุดใหม่ผ่านความสัมพันธ์ที่ (14) สมการที่ (12) จะลดรูปเหลือเพียง

$$\frac{\partial \varphi}{\partial \tau} = -\Gamma(Q^2 - a(\tau)) \varphi \quad (15)$$

ซึ่งเราสามารถหาผลเฉลยของสมการที่ (15) ได้โดยการอินทิเกรตแบบตรงไปตรงมา

$$\varphi(\vec{q}, \tau) = \varphi(\vec{q}, 0) \exp\left(-\Gamma \int_0^\tau Q^2 - a(\tau') d\tau'\right) \quad (16)$$

เพื่อความสะดวกในการคำนวณ จะนิยามฟังก์ชันใหม่ขึ้นมา $F(\vec{q}, \tau) \equiv \int_0^\tau Q^2 d\tau'$ และ $b(\tau) \equiv \int_0^\tau a(\tau') d\tau'$ เพราะฟังก์ชัน $F(\vec{q}, \tau)$ และ $b(\tau)$ จะถูกใช้ในการคำนวณหาฟังก์ชันโครงสร้างที่เวลาเท่ากันภายหลัง จากนิยามของฟังก์ชันสหสัมพันธ์ที่เวลาเท่ากันหรือฟังก์ชันโครงสร้างที่เวลาเท่ากัน สมการที่ (6) สมการที่ (7) ตามลำดับ และเงื่อนไขที่ 2 ในบทที่ 2.3 สมการที่ (3) จะสามารถพิสูจน์ได้ว่า (บทพิสูจน์อยู่ในภาคผนวก ก)

$$\langle \tilde{\phi}(-\vec{k}, 0) \tilde{\phi}(\vec{k}, 0) \rangle_0 = \Delta V_3 \quad (17)$$

และสามารถพิสูจน์ต่อไปได้ว่า

$$S(\vec{k}, t) = \langle \tilde{\phi}(-\vec{k}, t) \tilde{\phi}(\vec{k}, t) \rangle_0 = \Delta V_3 e^{-2\Gamma(F(\vec{k}, t) - b(t))} \quad (18)$$

ซึ่งอันดับแรกในการคำนวณหาฟังก์ชันโครงสร้างที่เวลาเท่ากัน คือการอินทิเกรตฟังก์ชัน $F(\vec{q}, \tau)$

$$F(\vec{q}, \tau) = \vec{q}^2 \tau + \frac{2q_x q_y \gamma}{\omega^2} [\cos(\omega\tau + \theta) - \cos\theta + \omega\tau \sin\theta] - \left(\frac{\gamma q_x}{\omega}\right)^2 \left[\frac{\sin(2\omega\tau + 2\theta) - 8\sin\theta \cos(\omega\tau + \theta)}{4\omega} \right] - \left(\frac{\gamma q_x}{\omega}\right)^2 \left[\frac{-(4\omega \sin^2\theta - 2\omega)\tau - \sin 2\theta + 8\cos\theta \sin\theta}{4\omega} \right] \quad (19)$$

หลังจากได้ผลการอินทิเกรตแล้วจึงแบ่งพิจารณาฟังก์ชัน $F(\vec{q}, \tau)$ ของระบบออกเป็น 2 กรณี คือ

(a) กรณีที่ความถี่ต่ำมาก และ (b) กรณีที่ความถี่จำกัดค่าหนึ่ง ตามลำดับ

กรณี (a) พิจารณาที่เวลา t นานแต่ $t\omega \rightarrow 0$ สมการที่ (19) จะลดรูปเป็น

$$F(\vec{q}, \tau) = \vec{q}^2 \tau - q_x q_y \gamma \tau^2 \cos\theta + \frac{1}{3} \tau^3 (\gamma q_x \cos\theta)^2 \quad (20)$$

ทำการแปลงตัวแปร $(q_x, q_y, q_z, \tau) \rightarrow (k_x, k_y, k_z, t)$ ตามความสัมพันธ์ข้างต้นและจัดรูปสมการใหม่ให้อยู่ในรูปผลบวกกำลังสองของแต่ละองค์ประกอบของ \vec{k}

$$F(\vec{k}, t) = \left\{ \left(\frac{1}{12} (\gamma t \cos \theta)^2 + 1 \right) k_x^2 + \left(k_y - \frac{1}{2} k_x \gamma t \cos \theta \right)^2 + k_z^2 \right\} t \quad (21)$$

หากพิจารณาเงื่อนไขที่ $\theta = \frac{\pi}{2}$ หรือ $\gamma = 0$ จะได้ว่า $F(\vec{k}, t) = (k_x^2 + k_y^2 + k_z^2)t$ ซึ่งหมายความว่าระบบไม่ได้อยู่ภายใต้อิทธิพลของการเฉือน [2] ดังนั้นต่อจากนี้เราจะพิจารณาเฉพาะกรณีที่ $\theta \neq \frac{\pi}{2}$ และ $\gamma \neq 0$ เท่านั้น

(b) พิจารณาที่เวลา t นานและ ω มีค่าจำกัดค่าหนึ่ง สมการที่ (19) จะลดรูปเหลือเพียง

$$F(\vec{q}, \tau) = \vec{q}^2 \tau + \frac{2q_x q_y \gamma}{\omega} \tau \sin \theta + \left(\frac{q_x \gamma}{\omega} \right)^2 \left(\frac{1}{2} + \sin^2 \theta \right) \tau \quad (22)$$

ทำการแปลงตัวแปร $(q_x, q_y, q_z, \tau) \rightarrow (k_x, k_y, k_z, t)$ ตามความสัมพันธ์ข้างต้นและจัดรูปสมการใหม่ให้อยู่ในรูปผลบวกกำลังสองของแต่ละองค์ประกอบของ \vec{k}

$$F(\vec{k}, t) = \left\{ \left(\frac{\gamma}{\omega} \right)^2 + 1 \right\} k_x^2 + \left(k_y + \frac{\gamma}{\omega} k_x \sin(\omega t + \theta) \right)^2 + k_z^2 \right\} t \quad (23)$$

สังเกตว่า $F(-\vec{k}, t) = F(\vec{k}, t)$ ทั้ง 2 กรณี ขึ้นตอนถัดไปในการคำนวณหาฟังก์ชันโครงสร้างที่เวลาเท่ากัน $S(\vec{k}, t)$ ต้องรู้ $b(t)$ เพื่อคำนวณหา $b(t)$ ต้องกลับไปพิจารณาสมการที่ (11) เนื่องจากเมื่อ $t \rightarrow \infty$ ระบบจะเข้าสู่สมดุลดังนั้น $a(t) \rightarrow 0$ จะได้ว่า

$$\langle \phi^2(\vec{r}, t \rightarrow \infty) \rangle = -\frac{r_0}{u_0} \quad (24)$$

และจากสมการผลเฉลยที่ (16) เมื่อทำการแปลงตัวแปรและฟังก์ชัน $\varphi(\vec{q}, \tau) \rightarrow \tilde{\phi}(\vec{k}, t)$ แล้วอาศัยการแปลงฟูเรียร์ผกผันและเงื่อนไขที่ 2 ในบทที่ 2.3 สมการที่ (3) จะได้ว่า

$$\langle \phi^2(\vec{r}, t) \rangle = \frac{\Delta e^{2\Gamma b(t)}}{(2\pi)^3} \int e^{-2\Gamma F(\vec{k}, t)} d^3 k \quad (25)$$

เมื่อพิจารณาสมการที่ (25) และอาศัยสมบัติการอินทิเกรตของเกาส์เซียนฟังก์ชันที่ไม่ขึ้นกับตำแหน่งของจุดกึ่งกลางของฟังก์ชัน

$$\int_{-\infty}^{\infty} \int_{-\infty}^{\infty} \int_{-\infty}^{\infty} \exp(-ak_x^2 - b(k_y + a'k_x)^2 - ck_z^2) dk_x dk_y dk_z = \sqrt{\frac{\pi}{a}} \sqrt{\frac{\pi}{b}} \sqrt{\frac{\pi}{c}} \quad (26)$$

ในกรณี (a) เมื่อแทน $F(\vec{k}, t)$ ของกรณีนี้มีค่าดังสมการที่ (21) ในสมการที่ (25) จะได้ว่า

$$\langle \phi^2(\vec{r}, t) \rangle = \frac{\Delta e^{2\Gamma b(t)}}{(2\pi)^3} \sqrt{\frac{3\pi^3}{2(\Gamma t)^3 (\gamma t \cos\theta)^2}} \quad (27)$$

และจากเงื่อนไข $t \rightarrow \infty$ สมการที่ (24) จะเท่ากับสมการที่ (27) สามารถจัดรูปสมการเพื่อหา $b(t)$ และ $a(t) = \frac{db(t)}{dt}$ ได้ดังนี้

$$b(t) = \frac{5}{4\Gamma} \ln\left(\frac{t}{t_0}\right) \quad \text{และ} \quad a(t) = \frac{5}{4\Gamma t}$$

$$\text{เมื่อ } t_0 = \sqrt[5]{\frac{3}{128(\pi\Gamma)^3} \left(\frac{\Delta u_0}{r_0 \gamma \cos\theta}\right)^2} \quad (28)$$

ในกรณี (b) เมื่อแทน $F(\vec{k}, t)$ ของกรณีนี้มีค่าดังสมการที่ (23) ในสมการที่ (25) จะได้ว่า

$$\langle \phi^2(\vec{r}, t) \rangle = \frac{\Delta e^{2\Gamma b(t)}}{(2\pi)^3} \sqrt{\frac{\pi^3}{\left(\frac{1}{2}\left(\frac{\gamma}{\omega}\right)^2 + 1\right) 8\Gamma^3 t^3}} \quad (29)$$

และจากเงื่อนไข $t \rightarrow \infty$ สมการที่ (24) จะเท่ากับสมการที่ (29) สามารถจัดรูปสมการเพื่อหา $b(t)$ และ $a(t) = \frac{db(t)}{dt}$ ได้ดังนี้

$$b(t) = \frac{3}{4\Gamma} \ln\left(\frac{t}{t_0}\right) \quad \text{และ} \quad a(t) = \frac{3}{4\Gamma t}$$

$$\text{เมื่อ } t_0 = \sqrt[3]{\frac{1}{512(\pi\Gamma)^3 \left(1 + \frac{1}{2}\left(\frac{\gamma}{\omega}\right)^2\right)} \left(\frac{\Delta u_0}{r_0}\right)^2} \quad (30)$$

จะสังเกตได้ว่า $a(t)$ ที่คำนวณได้มีความสอดคล้องกับ $a(t) \rightarrow 0$ เมื่อ $t \rightarrow \infty$ และเนื่องจากตอนนี้ทราบค่า $F(\vec{k}, t)$ และ $b(t)$ แล้ว สามารถนำผลที่ได้ไปคำนวณหาค่าฟังก์ชันโครงสร้างที่เวลาเท่ากัน ในสมการที่ (18) ได้ และฟังก์ชันสหสัมพันธ์ที่เวลาเท่ากันหาได้จากการแปลงฟูเรียร์ผกผันของฟังก์ชันโครงสร้างที่เวลาเท่ากันตามสมการที่ (31)

$$C(\vec{r}, t) = \frac{1}{V_3(2\pi)^3} \int e^{i\vec{k}\cdot\vec{r}} S(\vec{k}, t) d^3k \quad (31)$$

และอาศัยสมบัติการแปลงฟูเรียร์ของเกาส์เซียนฟังก์ชันดังต่อไปนี้

$$\int_{-\infty}^{\infty} e^{-ikx} e^{-a(x-b)^2} dx = e^{-ikb} e^{-\frac{k^2}{4a}} \sqrt{\frac{\pi}{a}} \quad \text{และ} \quad \int_{-\infty}^{\infty} e^{ikx} e^{-a(k-b)^2} dk = e^{ixb} e^{-\frac{x^2}{4a}} \sqrt{\frac{\pi}{a}} \quad (32)$$

ในกรณี (a)

$$S(\vec{k}, t) = \Delta V_3 \left(\frac{t}{t_0} \right)^{\frac{5}{2}} \exp \left(-2\Gamma \left\{ \frac{1}{12} (\gamma t^{\frac{3}{2}} k_x \cos\theta)^2 + (t^{\frac{1}{2}} k_y - \frac{1}{2} \gamma t^{\frac{3}{2}} k_x \cos\theta)^2 + (t^{\frac{1}{2}} k_z)^2 \right\} \right) \quad (33)$$

$$C(\vec{r}, t) = -\frac{r_0}{u_0} \exp \left(-\frac{1}{8\Gamma t} \left(3 \left(\frac{2x}{\gamma t \cos\theta} + y \right)^2 + y^2 + z^2 \right) \right) \quad (34)$$

จากสมมติฐานการสเกลเชิงพลวัตจะได้ว่ากฎการเติบโตควรจะเป็นรูปแบบ

$$L_x(t) \sim (\gamma \cos\theta) t^{\frac{3}{2}} \quad \text{และ} \quad L_y(t) \sim L_z(t) \sim t^{\frac{1}{2}} \quad (35)$$

ในกรณี (b)

$$S(\vec{k}, t) = \Delta V_3 \left(\frac{t}{t_0} \right)^{\frac{3}{2}} \exp \left(-2\Gamma \left\{ \left(\frac{1}{2} \left(\frac{\gamma}{\omega} \right)^2 + 1 \right) (t^{\frac{1}{2}} k_x)^2 + \left(t^{\frac{1}{2}} k_y + \frac{\gamma}{\omega} \sin(\omega t + \theta) t^{\frac{1}{2}} k_x \right)^2 + (t^{\frac{1}{2}} k_z)^2 \right\} \right) \quad (36)$$

$$C(\vec{r}, t) = -\frac{r_0}{u_0} \exp \left(-\frac{1}{8\Gamma t} \left(\beta \left(x - \frac{\gamma}{\omega} y \sin(\omega t + \theta) \right)^2 + y^2 + z^2 \right) \right) \quad (37)$$

เมื่อ $\beta = \frac{1}{\left(1 + \frac{1}{2} \left(\frac{\gamma}{\omega}\right)^2\right)}$ และจากสมมติฐานการสเกลเชิงพลวัตจะได้ว่ากฎการเติบโตควรเป็น

$$L_x(t) \sim L_y(t) \sim L_z(t) \sim t^{\frac{1}{2}} \quad (38)$$

บทที่ 4

การจัดระเบียบเฟสภายใต้อิทธิพลของการเหนือนแบบเคลื่อนที่กลับ

โดยคำนึงถึงผลของการรบกวนทางความร้อน

เนื่องจากในบทนี้พิจารณาการรบกวนเชิงความร้อน ต้องเพิ่มพจน์การรบกวนทางความร้อนเข้าไปในสมการที่ (10)

$$\frac{\partial \phi}{\partial t} + \gamma y \cos(\omega t + \theta) \frac{\partial \phi}{\partial x} = -\Gamma(-\nabla^2 - a(t))\phi + \zeta \quad (39)$$

เช่นเดียวกับกับบทที่ 3 ในการหาผลเฉลยสมการที่ (39) เริ่มต้นที่ทำการแปลงฟูเรียร์สมการนี้แล้ว เปลี่ยนตัวแปรตามสมการที่ (14) ซึ่งเป็นความสัมพันธ์เดียวกันกับบทที่ 3 จะได้ว่าสมการที่ (39) ลดรูปเป็น

$$\frac{\partial \phi}{\partial \tau} = -\Gamma(Q^2 - a(\tau))\phi + \xi \quad (40)$$

การแปลงฟังก์ชันเพิ่มเติมสำหรับพจน์ที่เกี่ยวกับการรบกวนทางความร้อนคือ $\zeta(\vec{r}, t) \rightarrow \zeta(\vec{k}, t) \rightarrow \xi(\vec{q}, \tau)$ ดังนั้นผลเฉลยของสมการที่ (40) คือ

$$\begin{aligned} \varphi(\vec{q}, \tau) = & \varphi(\vec{q}, 0) \exp(-\Gamma(F(\vec{q}, \tau) - b(\tau))) \\ & + \int_0^\tau \exp\{\Gamma[(F(\vec{q}, \tau') - F(\vec{q}, \tau)) - (b(\tau') - b(\tau))]\} \xi(\vec{q}, \tau') d\tau' \end{aligned} \quad (41)$$

รูปแบบของ $F(\vec{k}, t)$ ยังคงเดิม กล่าวคือ สมการที่ (21) และ สมการที่ (23) แต่รูปแบบของ $b(t)$ จะเปลี่ยนไปเพราะผลของการรบกวนทางความร้อน และเพื่อความสมบูรณ์ของการคำนวณจะต้องรู้ค่า $b(t) - b(t')$ และ $F(\vec{k}, t) - F(\vec{k}, t')$ จากสมการที่ (41) ทำการแปลงฟังก์ชัน $\varphi(\vec{q}, \tau) \rightarrow \tilde{\phi}(\vec{k}, t)$ แล้วแปลงฟูเรียร์ผกผันประกอบกับ เงื่อนไขที่ 2 และ เงื่อนไขที่ 3 ในบทที่ 2.3 สามารถคำนวณหาค่า $\langle \phi^2 \rangle$ และ $S(\vec{k}, t)$ ได้ดังนี้ (บทพิสูจน์อยู่ในภาคผนวก ข)

$$\begin{aligned} \langle \phi^2 \rangle = & \frac{\Delta}{(2\pi)^3} e^{2\Gamma b(t)} \int e^{-2\Gamma F(\vec{k}, t)} d^3 k \\ & + \frac{D}{(2\pi)^3} \int_0^t e^{2\Gamma(b(t) - b(t'))} \int e^{-2\Gamma(F(\vec{k}, t) - F(\vec{k}, t'))} d^3 k dt' \end{aligned} \quad (42)$$

$$S(\vec{k}, t) = \Delta V_3 e^{-2\Gamma(F(\vec{k}, t) - b(t))} + DV_3 \int_0^t e^{2\Gamma((F(\vec{k}, t') - F(\vec{k}, t)) - (b(t') - b(t)))} dt' \quad (43)$$

เช่นเดียวกับบทที่ 3 ขั้นตอนแรกในการหาค่า $S(\vec{k}, t)$ ต้องทำการหาค่า $F(\vec{k}, t) - F(\vec{k}, t')$ โดยในหัวข้อนี้จะแบ่งพิจารณา $F(\vec{k}, t) - F(\vec{k}, t')$ เป็น 2 กรณี คือ (a) กรณีที่ความถี่ต่ำมาก และ (b) กรณีที่ความถี่จำกัดค่าหนึ่ง เช่นกัน

กรณี (a) พิจารณาสมการที่ (21) ที่เวลา t นานมากแต่ค่า $t\omega \rightarrow 0$ จะได้ว่า

$$F(\vec{k}, t) - F(\vec{k}, t') = \frac{1}{12}(t - t')^3(\gamma k_x \cos \theta)^2 + (t - t') \left(k_y - \frac{1}{2}\gamma k_x \cos \theta (t + t') \right)^2 + (t - t')k_z^2 \quad (44)$$

โดย $\int e^{-2\Gamma(F(\vec{k}, t) - F(\vec{k}, t'))} d^3k = Ag(t - t')$ เมื่อ $A = \sqrt{\frac{3\pi^3}{2\Gamma^3(\gamma \cos \theta)^2}}$ และ $g(t - t') = (t - t')^{-\frac{5}{2}}$ โดยการอินทิเกรตข้างต้นอาศัยสมการที่ (26)

กรณี (b) พิจารณาสมการที่ (23) ที่เวลา t นานมากและ ω มีค่าจำกัดค่าหนึ่งจะได้ว่า

$$F(\vec{q}, \tau) - F(\vec{q}, \tau') = \left\{ \left(1 + \frac{1}{2} \left(\frac{\gamma}{\omega} \right)^2 \right) q_x^2 + \left(q_y + \left(\frac{\gamma}{\omega} \sin \theta \right) q_x \right)^2 + q_z^2 \right\} (\tau - \tau') \quad (45)$$

โดย $\int e^{-2\Gamma(F(\vec{k}, t) - F(\vec{k}, t'))} d^3k = Ag(t - t')$ เมื่อ $A = \sqrt{\frac{\pi^3}{8\Gamma^3 \left(1 + \frac{1}{2} \left(\frac{\gamma}{\omega} \right)^2 \right)}}$ และ $g(t - t') = (t - t')^{-\frac{3}{2}}$ โดยการอินทิเกรตข้างต้นอาศัยจาโคเบียนของการแปลงตัวแปรจาก $(q_x, q_y, q_z, \tau) \rightarrow (k_x, k_y, k_z, t)$ และสมการที่ (26)

ข้อสังเกตสัญลักษณ์ต่างๆในทั้ง 2 กรณีเขียนเหมือนกัน แต่เป็นฟังก์ชันที่แตกต่างกันไป สำหรับแต่ละกรณีและขั้นตอนถัดไปสำหรับการหาค่า $S(\vec{k}, t)$ คือการคำนวณหา $b(t)$ โดยกลับไปพิจารณาสมการที่ (11) กำหนดให้ $\eta(t) \equiv e^{-2\Gamma b(t)}$ พร้อมแทนสมการที่ (42) ในสมการที่ (11) แล้วจัดรูปสมการจะได้สมการใหม่เป็น

$$\frac{d\eta(t)}{dt} = 2\Gamma \left(r_0 \eta(t) + \frac{\Delta u_0 A g(t)}{(2\pi)^3} + \frac{D u_0 A}{(2\pi)^3} \int_0^t \eta(t') g(t - t') dt' \right) \quad (46)$$

หากพิจารณาที่ t มีค่ามากและการแปลงลาปลาซ $\eta(t) \rightarrow \bar{\eta}(s)$ สมการเชิงอนุพันธ์ที่ (46) จะกลายเป็นสมการเชิงเส้น หลังจากนั้นทำการแก้สมการเชิงเส้นเพื่อหาค่า $\bar{\eta}(s)$ แล้วใช้การแปลงผกผันของ Mellin เพื่อทำการแปลงผกผันของการแปลงลาปลาซ $\bar{\eta}(s) \rightarrow \eta(t)$ โดยตั้งสมมติฐานว่าที่เวลานานมากการแปลงลาปลาซของ $g(t)$ จะเป็นไปตามสมการ $\bar{g}(s) = \int_0^\infty g(t)e^{-st} dt = \int_0^\infty g(t + \alpha^2)e^{-st} dt$ โดย α คือจำนวนจริงใดที่ $\alpha^2 \ll 1$

ในกรณี (a) จะได้ว่า $\eta(t) = \left(\frac{t}{t_0}\right)^{-\frac{5}{2}}$ หลังจากนั้นนำไปคำนวณหาค่า $b(t)$ และแทนลงในสมการที่ (43) ทำให้ได้ $S(\vec{k}, t)$ แล้วทำการแปลงฟูเรียร์ผกผันเพื่อหา $C(\vec{r}, t)$ ตามลำดับทำให้ได้ผลลัพธ์เป็น

$$S(\vec{k}, t) = \left(\Delta + D\left(\frac{c_1}{c'_1}\right)\right) V_3\left(\frac{t}{t_0}\right)^{\frac{5}{2}} e^{-2\Gamma F(\vec{k}, t)} \quad (47)$$

$$C(\vec{r}, t) = \frac{\left(\Delta + D\left(\frac{c_1}{c'_1}\right)\right) A}{(2\pi)^3 t_0^{\frac{5}{2}}} \exp\left(-\frac{1}{8\Gamma t} \left(3\left(\frac{2x}{\gamma t \cos\theta} + y\right)^2 + y^2 + z^2\right)\right) \quad (48)$$

$$\begin{aligned} \text{เมื่อ } t_0^{\frac{5}{2}} &= \frac{3}{4\sqrt{\pi}} \left(\frac{c_1 c'_3 - c'_1 c_3}{c'_1{}^2}\right), \quad Z = \frac{2\Gamma A u_0}{(2\pi)^3} \\ c_1 &= 1 + \frac{4}{3} \left(\frac{1}{2\alpha^3}\right) \Delta Z, \quad c_2 = -\frac{4}{3\alpha} \Delta Z, \quad c_3 = \frac{4}{3} \sqrt{\pi} \Delta Z \\ c'_1 &= -\frac{4}{3} \left(\frac{1}{2\alpha^3}\right) DZ - 2\Gamma r_0, \quad c'_2 = 1 + \frac{4}{3\alpha} DZ \quad \text{และ} \quad c'_3 = -\frac{4}{3} \sqrt{\pi} \Delta Z \end{aligned}$$

จากสมมติฐานการสเกลเชิงพลวัตจะได้ว่ากฎการเติบโตควรจะอยู่ในรูปแบบ

$$L_x(t) \sim (\gamma \cos\theta) t^{\frac{3}{2}} \quad \text{และ} \quad L_y(t) \sim L_z(t) \sim t^{\frac{1}{2}} \quad (49)$$

ในกรณี (b) จะได้ว่า $\eta(t) = \left(\frac{t}{t_0}\right)^{-\frac{3}{2}}$ หลังจากนั้นนำไปคำนวณหาค่า $b(t)$ และแทนลงในสมการที่ (43) ทำให้ได้ $S(\vec{k}, t)$ แล้วทำการแปลงฟูเรียร์ผกผันเพื่อหา $C(\vec{r}, t)$ ตามลำดับทำให้ได้ผลลัพธ์เป็น

$$S(\vec{k}, t) = \left(\Delta + D\left(\frac{c_1}{c'_1}\right)\right) V_3\left(\frac{t}{t_0}\right)^{\frac{3}{2}} e^{-2\Gamma F(\vec{k}, t)} \quad (50)$$

$$C(\vec{r}, t) = \frac{\left(\Delta + D \left(\frac{c_1}{c'_1}\right)\right) A}{(2\pi)^3 t_0^{\frac{3}{2}}} \exp\left(-\frac{1}{8\Gamma t} \left(\beta \left(x - \frac{\gamma}{\omega} y \sin(\omega t + \theta)\right)^2 + y^2 + z^2\right)\right) \quad (51)$$

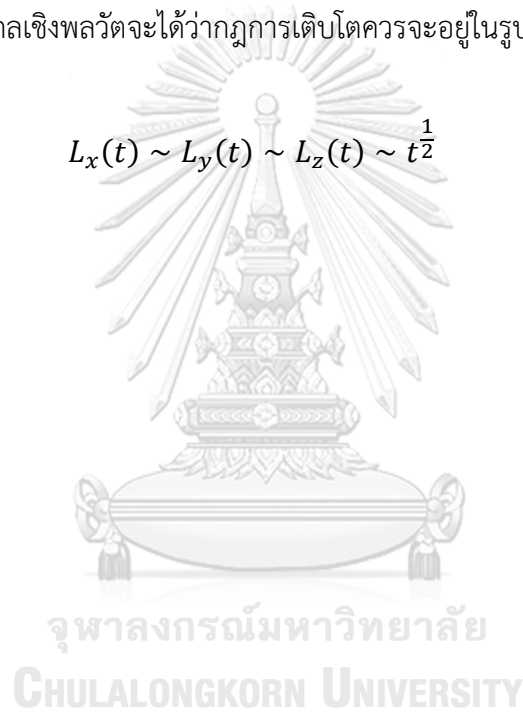
$$\text{เมื่อ } \beta = \frac{1}{\left(1 + \frac{1}{2} \left(\frac{\gamma}{\omega}\right)^2\right)}, \quad t_0^{\frac{3}{2}} = \frac{1}{2\sqrt{\pi}} \left(\frac{c_2 c'_1 - c'_2 c_1}{c'_1{}^2}\right), \quad Z = \frac{2\Gamma A u_0}{(2\pi)^3}$$

$$c_1 = 1 + \frac{2\Delta Z}{\alpha}, \quad c_2 = -2\sqrt{\pi}\Delta Z$$

$$c'_1 = -\frac{2DZ}{\alpha} - 2\Gamma r_0 \quad \text{และ} \quad c'_2 = 2\sqrt{\pi}DZ$$

จากสมมติฐานการสเกลเชิงพลวัตจะได้ว่ากฎการเติบโตควรจะอยู่ในรูปแบบ

$$L_x(t) \sim L_y(t) \sim L_z(t) \sim t^{\frac{1}{2}} \quad (52)$$



บทที่ 5

แบบจำลองไอซิงในปริภูมิพื้นที่ 2 มิติ

เพื่อเป็นการยืนยันผลการคำนวณจากบทที่ 3 และ 4 เราจึงตั้งสมมติฐานต่อไปว่า ระบบที่มี พารามิเตอร์การจัดระเบียบแบบไม่อนุรักษ์ที่เป็นปริมาณเวกเตอร์หลายองค์ประกอบอยู่ในกลุ่มความเป็นสากลเดียวกันกับแบบจำลองไอซิง และเนื่องจากแบบจำลองไอซิงสามารถจำลองได้ด้วย คอมพิวเตอร์ เราจึงสร้างแบบจำลองมอนติคาร์โลของแบบจำลองไอซิงเพื่อเทียบผลการคำนวณ

โดยในบทนี้จะอธิบายถึงหลักการพื้นฐานของการจำลองมอนติคาร์โลของแบบจำลองไอซิงใน ปริภูมิพื้นที่ 2 มิติ โดยที่ในหัวข้อที่ 5.1 จะเป็นการอธิบายถึงแบบจำลองไอซิงที่ไม่อยู่ภายใต้อิทธิพล ของการเฉือน ส่วนในหัวข้อที่ 5.2 จะเป็นการนำหลักการในหัวข้อที่ 5.1 มาพัฒนาให้เป็นแบบจำลอง ไอซิงที่อยู่ภายใต้อิทธิพลของการเฉือนแบบเคลื่อนที่สลับ และในหัวข้อสุดท้ายจะกล่าวถึงเงื่อนไขของ การเฉือนที่ใช้ในการจำลอง ผลลัพธ์ของการจำลอง และการนำผลลัพธ์ที่ได้ไปเปรียบเทียบกับ งานวิจัยอื่นเพื่อพิจารณาว่าแบบจำลองไอซิงในปริภูมิพื้นที่ 2 มิติที่อยู่ภายใต้อิทธิพลของการเฉือนแบบ เคลื่อนที่สลับจะมีพฤติกรรมอย่างไรในเงื่อนไขการเฉือนแบบต่างๆ

ซึ่งงานวิจัยอื่นที่ใช้ในการพิจารณาพฤติกรรมของระบบ ได้แก่ แบบจำลองไอซิงในปริภูมิ พื้นที่ 2 มิติที่ไม่อยู่ภายใต้อิทธิพลของการเฉือน [8] พบว่าระบบดังกล่าวจะมีกฎการเติบโตเป็น $L_x(t) \sim t^{\frac{1}{2}}$ และ $L_y(t) \sim t^{\frac{1}{2}}$ และแบบจำลองไอซิงในปริภูมิพื้นที่ 2 มิติที่อยู่ภายใต้อิทธิพลของ การเฉือนแบบสม่ำเสมอ [9] พบว่าระบบดังกล่าวจะมีกฎการเติบโตเป็น $L_x(t) \sim t(\ln t)^{\frac{1}{4}}$ และ $L_y(t) \sim (\ln t)^{-\frac{1}{4}}$

5.1 แบบจำลองมอนติคาร์โลของแบบจำลองไอซิงในปริภูมิพื้นที่ 2 มิติ ที่ไม่อยู่ภายใต้อิทธิพลของ การเฉือน

แบบจำลองไอซิง คือแบบจำลองที่สมมติว่าระบบมีลักษณะเป็นแลตทิซจัตุรัส Λ โดยที่อะตอม ที่ตำแหน่ง (x,y) มีค่า “สปิน” $\sigma_{x,y}$ ได้ 2 สถานะ เช่น $\{1,-1\}$ หรือ $\{1,0\}$ เป็นต้น สำหรับระบบที่มี

สถานะเป็น $\{1,-1\}$ จะมีฮามิลโทเนียนสำหรับการเรียงตัว “สปิน” $\sigma = \begin{bmatrix} \sigma_{1,1} & \dots & \sigma_{\ell,1} \\ \vdots & \ddots & \vdots \\ \sigma_{1,\ell} & \dots & \sigma_{\ell,\ell} \end{bmatrix}$ เท่ากับ

$$H_\Lambda(\sigma) = - \sum_{\langle rr' \rangle} J_{rr'} \sigma_{x,y} \sigma_{x',y'} \quad (53)$$

โดยที่ $\sum_{\langle rr' \rangle}$ แทนผลรวมของทุกคู่ของอะตอมในแลตทิซที่เป็นไปได้

$J_{rr'}$ คือ อันตรกิริยาระหว่างคู่อะตอมที่พิจารณาอยู่

สำหรับการจำลองพลวัตของแบบจำลองไอซิงในปริภูมิพื้นที่ 2 มิตินิยมใช้กระบวนการกลับสปินเดี่ยว (Single-spin flip) ที่ใช้แบบจำลองมอนติคาร์โล โดยในวิทยานิพนธ์ฉบับนี้จะอธิบายแบบจำลองมอนติคาร์โลที่ใช้วิธีการแบบเมโทรโพลิส (Metropolis method) [5] กล่าวคือ ความน่าจะเป็นของการส่งผ่านในสมการควบคุมหลักที่ใช้อธิบายระบบมีค่า

$$\mu(a \rightarrow b) = \begin{cases} e^{-\beta(H(b)-H(a))} & ; H(b) - H(a) \geq 0 \\ 1 & ; H(b) - H(a) < 0 \end{cases} \quad (54)$$

และเพื่อความง่าย ฮามิลโทเนียนจะถูกคำนวณเฉพาะอะตอมที่อยู่ใกล้ที่สุด (Nearest neighbor atoms) และค่า $J_{xy} = J$ เป็นค่าคงที่ เมื่อ $\beta = \frac{1}{k_B T}$ โดยที่ T คืออุณหภูมิ สำหรับแบบจำลองไอซิงในปริภูมิพื้นที่ 2 มิติจะมีค่าอุณหภูมิวิกฤตอยู่ที่ $T_c \approx \frac{2.269J}{k_B}$ [5]

ขั้นตอนการจำลองพลวัตการจัดระเบียบเฟสของแบบจำลองไอซิงที่ไม่มีการเฉือน มีดังนี้

1. เริ่มต้นระบบที่สุ่มอย่างสม่ำเสมอ โดยแทนการจัดเรียงตัวของ “สปิน” ℓ^2 ตัว ด้วย

$$\sigma = \begin{bmatrix} \sigma_{1,1} & \dots & \sigma_{\ell,1} \\ \vdots & \ddots & \vdots \\ \sigma_{1,\ell} & \dots & \sigma_{\ell,\ell} \end{bmatrix}$$

2. คำนวณค่าพลังงานของระบบ $H(\sigma_{x,y})$ แล้วเลือก “สปิน” $\sigma_{x,y}$ ใดๆในระบบแบบสุ่ม

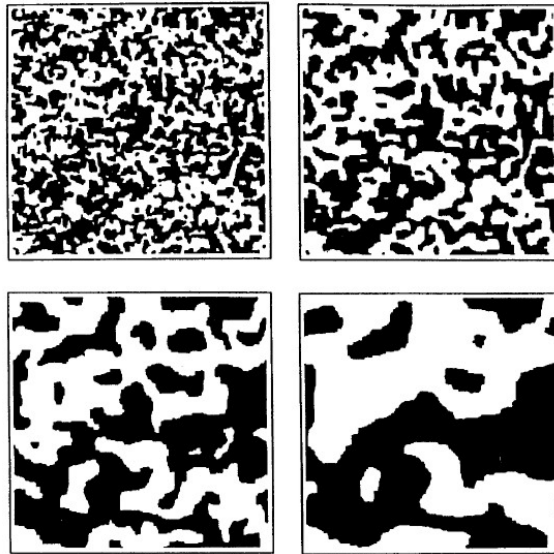
3. กลับสถานะของ “สปิน” $\sigma_{x,y}$ แล้วคำนวณค่าพลังงานของระบบ $H(-\sigma_{x,y})$ และผลต่างของพลังงาน $\Delta E = H(-\sigma_{x,y}) - H(\sigma_{x,y})$

4. สร้างการสุ่มแบบสม่ำเสมอของตัวแปร r ที่มีค่าระหว่าง 0 ถึง 1 ขึ้น เพื่อเทียบกับค่า $\mu(\sigma_{x,y} \rightarrow -\sigma_{x,y})$ ถ้า $r \leq \mu(\sigma_{x,y} \rightarrow -\sigma_{x,y})$ ให้คงสถานะไว้ แต่ถ้า $r > \mu(\sigma_{x,y} \rightarrow -\sigma_{x,y})$ ให้ “สปิน” σ_x กลับไปค่าเดิม

5. คำนวณหาปริมาณทางฟิสิกส์ที่สนใจสำหรับการจัดเรียงตัวปัจจุบันของระบบ

6. ทำซ้ำขั้นตอนที่ 2 ถึง 5 จนกว่าจะได้จำนวนข้อมูลที่มากพอ โดยถ้าทำซ้ำเป็นจำนวนเท่ากับขนาดของระบบยกกำลังสองครั้ง จะเรียกว่า 1 ขั้นมอนติคาร์โล (Monte Carlo step (MCS))

รูปที่ 4 แสดงตัวอย่างของแบบจำลองมอนติคาร์โลของการเติบโต “โดเมน” ของแบบจำลองมอนติคาร์โลของแบบจำลองไอซิงในปริภูมิพื้นที่ 2 มิติ ที่ไม่อยู่ภายใต้อิทธิพลของการเฉือน จะสังเกตเห็นว่าเมื่อเวลาผ่านไป “โดเมน” ของระบบจะมีขนาดใหญ่ขึ้น



รูปที่ 4 แสดงแบบจำลองมอนติคาร์โลของการเติบโต “โดเมน” ของแบบจำลองไอซิงในปริภูมิพื้นที่ 2 มิติ ที่อุณหภูมิเท่ากับ 0 K (จาก Kissner [10]) โดยที่ระบบมีขนาด 256×256 และแต่ละภาพถูกถ่ายเมื่อ MCS เท่ากับ 5, 15, 60 และ 200 จากซ้ายไปขวา หลังจากจากระบบถูกลดอุณหภูมิจนอย่างรวดเร็วจากอุณหภูมิสูง

5.2 แบบจำลองมอนติคาร์โลของแบบจำลองไอซิงในปริภูมิพื้นที่ 2 มิติ ที่อยู่ภายใต้อิทธิพลของการเลื่อนแบบเคลื่อนที่สลับ

การจำลองมอนติคาร์โลพลวัตของแบบจำลองไอซิงในปริภูมิพื้นที่ 2 มิติในงานวิทยานิพนธ์ฉบับนี้ได้ดัดแปลงมาจากงานของซิลโล โจนเนลลาและซาราคโค [9] ซึ่งคล้ายกับมอนติคาร์โลของระบบที่ไม่อยู่ภายใต้อิทธิพลของการเลื่อนที่กล่าวไว้ในบทย่อยที่ 5.1 โดยกำหนดให้แบบจำลองมีลักษณะเป็นแลตทิซจัตุรัส A ที่มีความยาวแต่ละด้าน ℓ และมีเงื่อนไขขอบแบบคาบสำหรับแกน x กล่าวคือ $\sigma_{\ell+1,y} = \sigma_{1,y}$ แต่มีเงื่อนไขขอบแบบอิสระสำหรับแกน y “สปีน” ของแต่ละจุดในแลตทิซมีค่าได้สองค่า คือ $+1$ หรือ -1 กำหนดให้ Ω แทนเซตของการจัดเรียงตัวที่เป็นไปได้ทั้งหมดของแบบจำลอง และ $\sigma_{x,y}$ เป็นค่าของ “สปีน” ณ จุด (x,y) ในการจัดเรียงแบบ σ ฮามิลโทเนียนของแบบจำลองคือ

$$H_A(\sigma) = -J \sum_{x=1}^{\ell} \sum_{y=1}^{\ell} \sigma_{x,y} \sigma_{x+1,y} - J \sum_{x=1}^{\ell} \sum_{y=1}^{\ell-1} \sigma_{x,y} \sigma_{x,y+1} \quad (55)$$

กำหนดให้ หนึ่งหน่วยเวลา (time unit (TU)) คือ 1 MCS กล่าวคือ ทำตามขั้นที่ 2 - 5 ที่จะกล่าวถัดไปเป็นจำนวน ℓ^2 ครั้ง และกำหนดให้จำนวน τ คือจำนวนที่หาร ℓ^2 ลงตัว

ขั้นที่ 1 กำหนดให้ $t = 0$ และ $i = 0$ และสุ่มค่า “สปิน” ของแต่ละจุดของระบบ โดยให้ความน่าจะเป็นที่ค่าจะเท่ากับ +1 หรือ -1 เท่ากัน และเรียกรหัสจัดเรียงในขั้นนี้ว่า σ_0

ขั้นที่ 2 กำหนดให้ $i = i + 1$ แล้วดำเนินตามขั้นตอนที่ 2 – 4 ที่กล่าวไว้ในบทย่อที่ 5.1

ขั้นที่ 3 ถ้า i มีค่าเป็นจำนวนเท่าของ τ แล้ว λ จะถูกกำหนดให้เท่ากับจำนวนเต็มของ $A \cos(\omega(t + \frac{i}{\ell^2}) + \theta)$ เมื่อ A คือ จำนวนจริง ω และ θ คือความถี่และเฟสเริ่มต้นของการเคลื่อนตามลำดับ ต่อจากนั้นทำการสุ่มแฉวของแลตทิซด้วยความน่าจะเป็นสม่ำเสมอ $\frac{1}{\ell}$ และ ถ้า Y คือ แฉวที่ถูกเลือก แล้ว ทุกแฉว y ที่ $y \geq Y$ จะถูกเลื่อนไปด้วยค่า λ โดยถ้า λ มีค่าเป็นบวกให้เลื่อนไปทางขวา และถ้า λ มีค่าเป็นลบให้เลื่อนไปทางซ้าย

ขั้นที่ 4 ถ้า $i < \ell^2$ ให้กลับไปทำขั้นที่ 2 ในทางกลับกันถ้า $i = \ell^2$ กำหนดให้ σ_{t+1}

ขั้นที่ 5 กำหนดให้ $t = t + 1$ และ $i = 0$ แล้วเริ่มทำขั้นที่ 2 ใหม่

จากขั้นตอนกล่าวนั้นข้างต้นสามารถพิสูจน์ได้ว่า $\gamma = \frac{A\ell}{\tau}$ [9]

5.3 การจำลองแบบจำลองไอซิงในปริภูมิพื้นที่ 2 มิติ ภายใต้การเคลื่อนแบบเคลื่อนที่สลับ

ในการจำลองไอซิงในปริภูมิพื้นที่ 2 มิติ ภายใต้อิทธิพลของการเคลื่อนแบบเคลื่อนที่สลับครั้งนี้ ได้กำหนดให้ขนาดของระบบ ℓ มีค่า 4,096 และ 2,048 อัตราการเคลื่อนมีค่า $\gamma = \frac{1}{8}$ ช่วงเวลาที่สังเกตคือ 0 ถึง 2,000 TU และ $\beta J = 2$ เมื่อ $\beta = \frac{1}{k_B T}$ เพราะจากงานวิจัยก่อนหน้าพบว่าจุดวิกฤติของแบบจำลองไอซิงในปริภูมิพื้นที่ 2 มิติมีค่า $\beta J \approx 0.44$ [5] โดยจะทำการจำลองภายใต้การกำหนดค่าเฟสเริ่มต้นและความถี่ของการเคลื่อนตามตารางข้างล่าง

คาบ $2\pi/\omega$ (TU)	1/64 $\ell = 4,096$	1/48 $\ell = 2,048$	1/24 $\ell = 2,048$	100,000 $\ell = 4,096$
เฟสเริ่มต้น θ (ดีกรี)	0			
	5			
	10			
	45			
	80			
	85			
	90			

ตารางที่ 1 แสดงเงื่อนไขที่ใช้ในการจำลองระบบ

เมื่อได้ผลลัพธ์จากการจำลองแล้ว ทำการคำนวณค่าฟังก์ชันสหสัมพันธ์ที่เวลาเท่ากันโดยแยกพิจารณาเป็นฟังก์ชันสหสัมพันธ์ที่เวลาเท่ากันในแนวแกน x และฟังก์ชันสหสัมพันธ์ที่เวลาเท่ากันในแนวแกน y โดยใช้ค่าเฉลี่ยของซอมเบลและค่าเฉลี่ยเชิงปริภูมิพื้นที่ (Spatial average) ร่วมกัน ดังสมการที่แสดงอยู่ข้างล่าง

$$C_x(r, t) = \frac{1}{3\ell^2} \sum_{k=1}^3 \sum_{x=\ell/4+1}^{3\ell/4} \sum_{y=1}^{\ell} \{ \sigma_{x,y}^{(k)}(t) \sigma_{x+r,y}^{(k)}(t) + \sigma_{x,y}^{(k)}(t) \sigma_{x-r,y}^{(k)}(t) \}$$

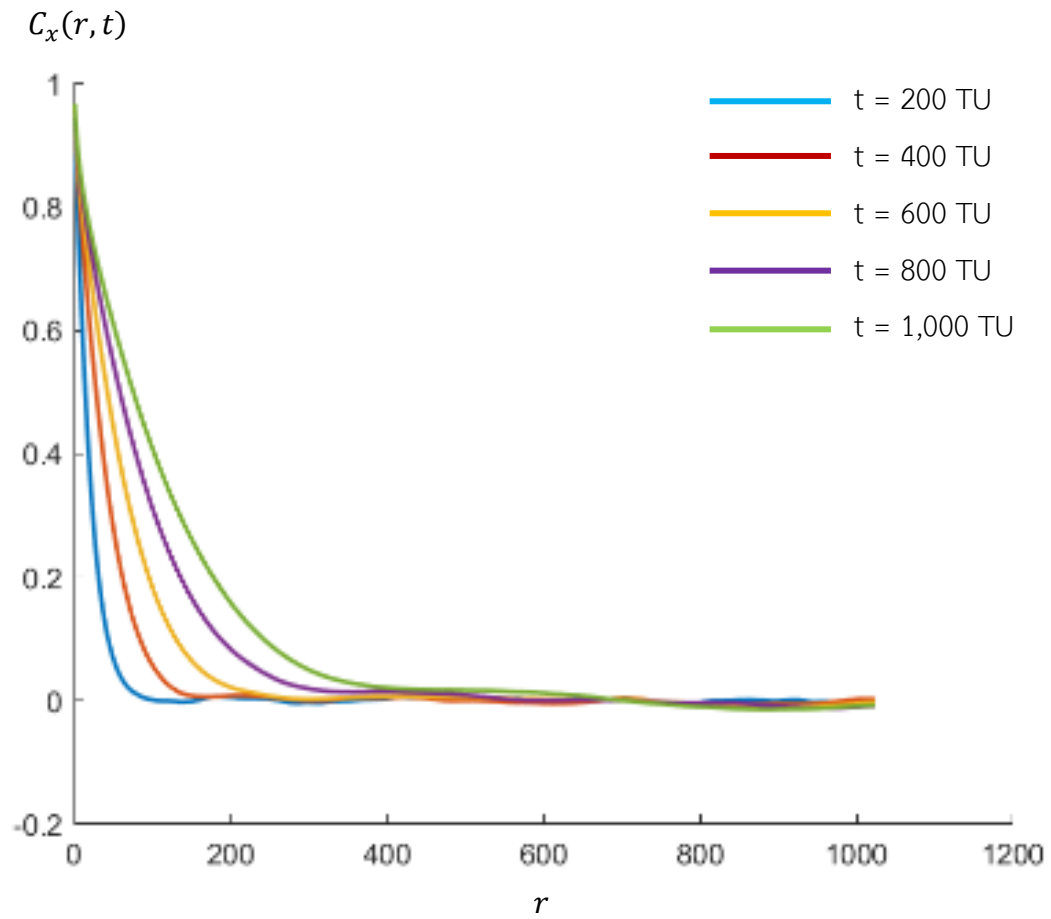
$$C_y(r, t) = \frac{1}{3\ell^2} \sum_{k=1}^3 \sum_{x=1}^{\ell} \sum_{y=\ell/4+1}^{3\ell/4} \{ \sigma_{x,y}^{(k)}(t) \sigma_{x,y+r}^{(k)}(t) + \sigma_{x,y}^{(k)}(t) \sigma_{x,y-r}^{(k)}(t) \}$$

โดย $0 \leq r \leq \ell/4$ และ k คือเลขลำดับที่ของค่าเริ่มต้นของระบบ

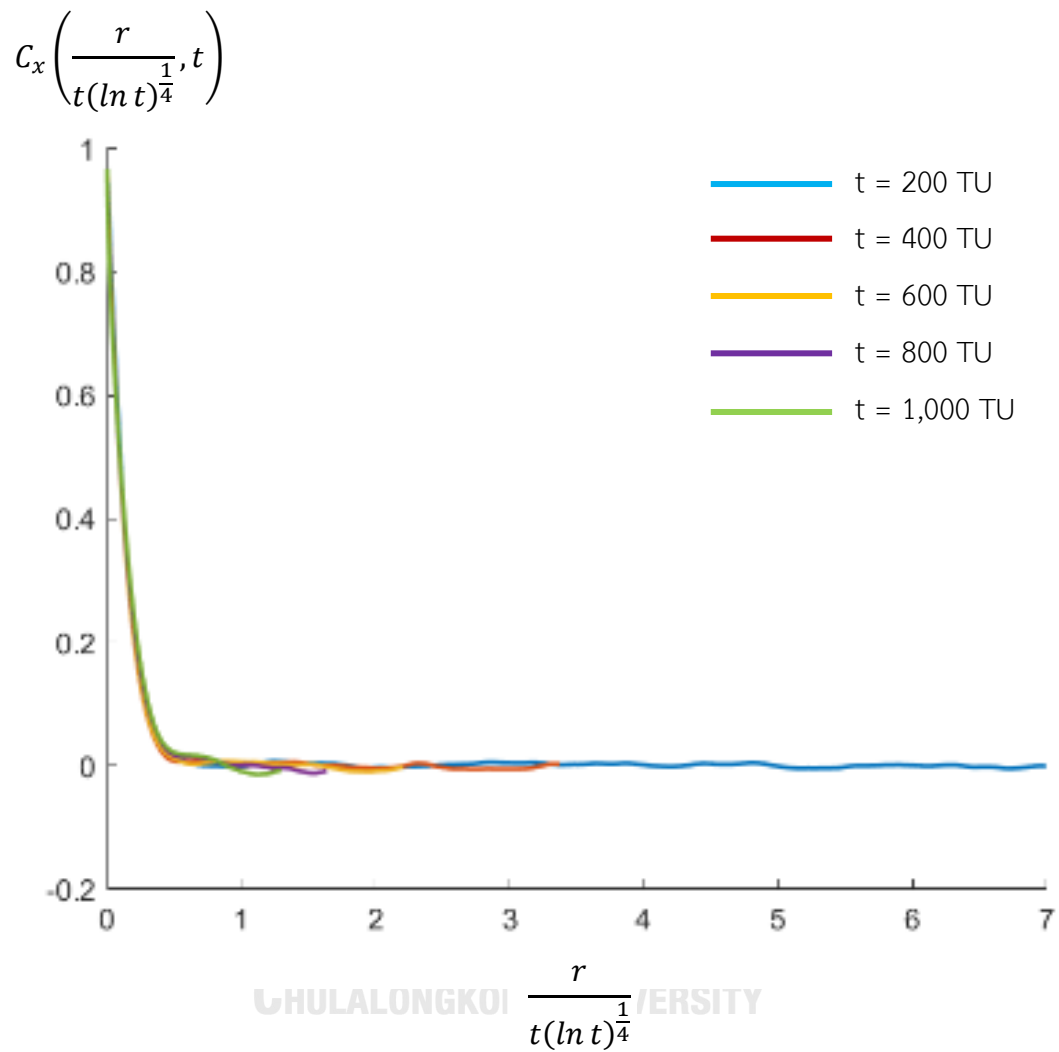
จากการผลการจำลอง เราสามารถสร้างกราฟของฟังก์ชันสหสัมพันธ์ที่เวลาเท่ากันได้ โดยรูปที่ 5 แสดงกราฟของฟังก์ชันสหสัมพันธ์ที่เวลาเท่ากันในทิศแกน x โดยความถี่ของการเคื่องมีค่าเท่ากับ 0.00001 1/TU และ เฟสเริ่มต้นเท่ากับ 0 โดยกราฟแต่ละเส้นมีเวลาห่างกัน 200 TU รูปที่ 6 แสดงกราฟจากรูปที่ 5 ที่ถูกสเกลด้วยกฎการเติบโตของระบบที่อยู่ภายใต้อิทธิพลของการเคื่องแบบสม่าเสมอ $L_x(t) \sim t(\ln t)^{\frac{1}{4}}$ รูปที่ 7 แสดงกราฟจากรูปที่ 5 ที่ถูกสเกลด้วยกฎการเติบโตของระบบที่ไม่อยู่ภายใต้อิทธิพลของการเคื่อง $L_x(t) \sim t^{\frac{1}{2}}$ และรูปที่ 8 แสดง“สปินโดเมน”ของระบบที่มีการเคื่องที่ความถี่เท่ากับ 0.00001 1/TU และ เฟสเริ่มต้นเท่ากับ 0 ณ เวลา 1,000 TU

จะสังเกตเห็นว่ากราฟที่ถูกสเกลด้วยกฎการเติบโตของระบบที่อยู่ภายใต้อิทธิพลของการเคื่องแบบสม่าเสมอ (รูปที่ 6) จะซ้อนทับสนิทกันมากกว่ากราฟที่ถูกสเกลด้วยกฎการเติบโตของระบบที่ไม่อยู่ภายใต้อิทธิพลของการเคื่อง (รูปที่ 7) และเมื่อพิจารณาการซ้อนทับสนิทกันของกราฟฟังก์ชันสหสัมพันธ์ที่เวลาเท่ากันในทิศแกน y (ภาคผนวก ค) ภายใต้เงื่อนไขการเคื่องเดียวกัน เราก็จะพบว่ากราฟฟังก์ชันสหสัมพันธ์ที่เวลาเท่ากันในทิศแกน y ที่ถูกสเกลด้วยกฎการเติบโตของระบบที่อยู่ภายใต้อิทธิพลของการเคื่องแบบสม่าเสมอ $L_y(t) \sim (\ln t)^{-\frac{1}{4}}$ จะซ้อนทับกันสนิทกันมากกว่ากราฟฟังก์ชันสหสัมพันธ์ที่เวลาเท่ากันในทิศแกน y ที่ถูกสเกลด้วยกฎการเติบโตของระบบที่ไม่อยู่ภายใต้อิทธิพลของการเคื่อง $L_y(t) \sim t^{\frac{1}{2}}$ ซึ่งสอดคล้องกันกับการพิจารณาในแกน x

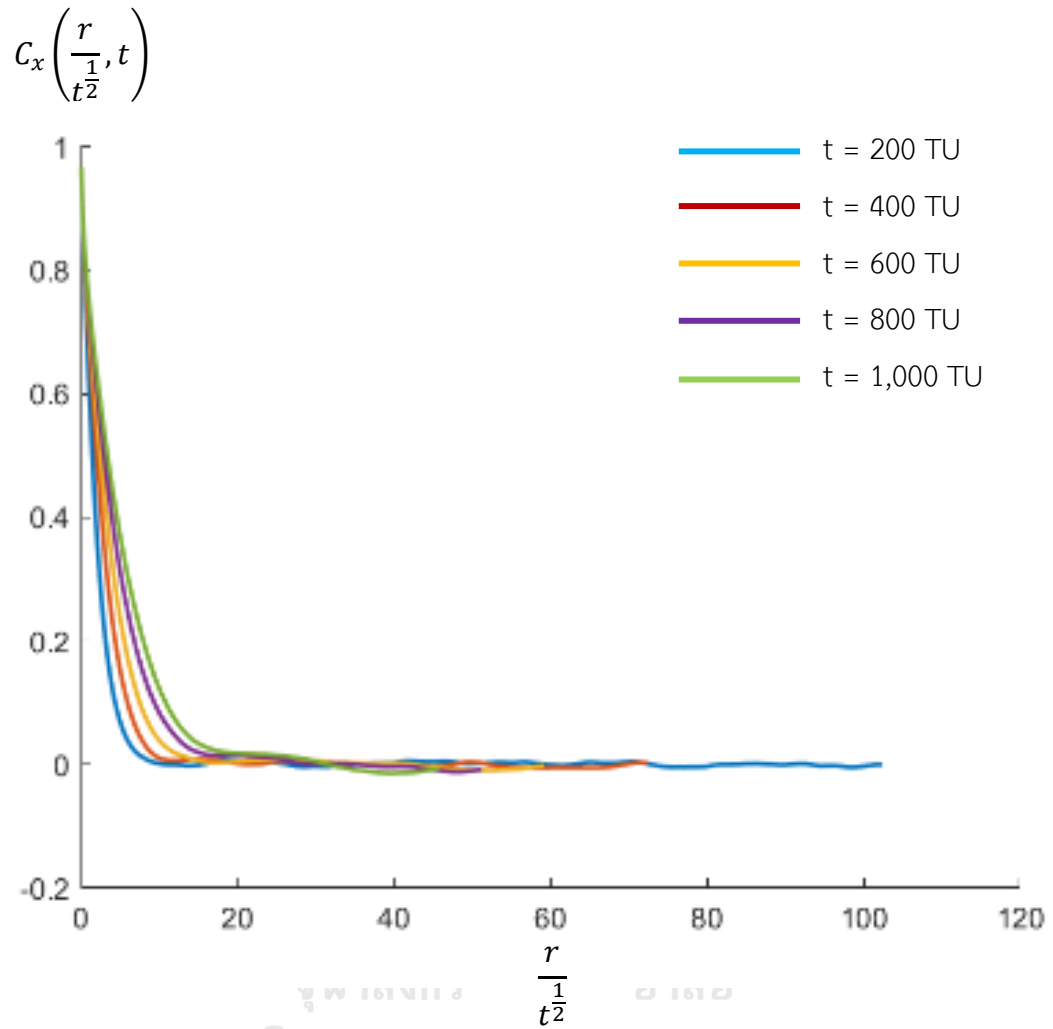
จากข้อความข้างต้นแสดงให้เห็นว่า หากสมมติฐานการสเกลเชิงพลวัตเป็นจริง แบบจำลองไอซิงในปริภูมิพื้นที่ 2 มิติที่อยู่ภายใต้อิทธิพลของการเคื่องแบบเคลื่อนที่สลับ ที่ความถี่ของการเคื่องมีค่าเท่ากับ 0.00001 1/TU และ เฟสเริ่มต้นเท่ากับ 0 ในช่วงเวลา 2,000 TU จะประพฤติเสมือนว่าอยู่ภายใต้การเคื่องแบบสม่าเสมอ



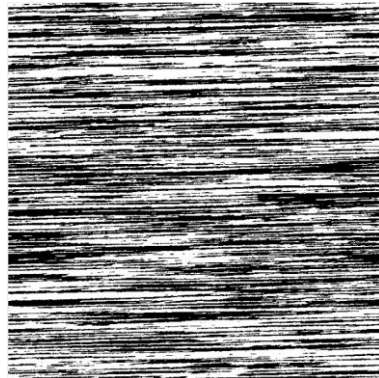
รูปที่ 5 แสดงกราฟของฟังก์ชันสหสัมพันธ์ที่เวลาเท่ากันในทิศทาง x ความถี่ของการเขื่อนมีค่าเท่ากับ 0.00001 $1/TU$ และ เฟสเริ่มต้นเท่ากับ 0 โดยกราฟแต่ละเส้นเวลาห่างกัน 200 TU



รูปที่ 6 แสดงกราฟจากรูปที่ 5 ที่ถูกสเกลด้วยกฎการเติบโตของระบบที่อยู่ภายใต้อิทธิพลของการเฉือนแบบสม่ำเสมอ



รูปที่ 7 แสดงกราฟจากรูปที่ 5 ที่ถูกสเกลด้วยกฎการเติบโตของระบบที่ไม่อยู่ภายใต้อิทธิพลของการเฉือน

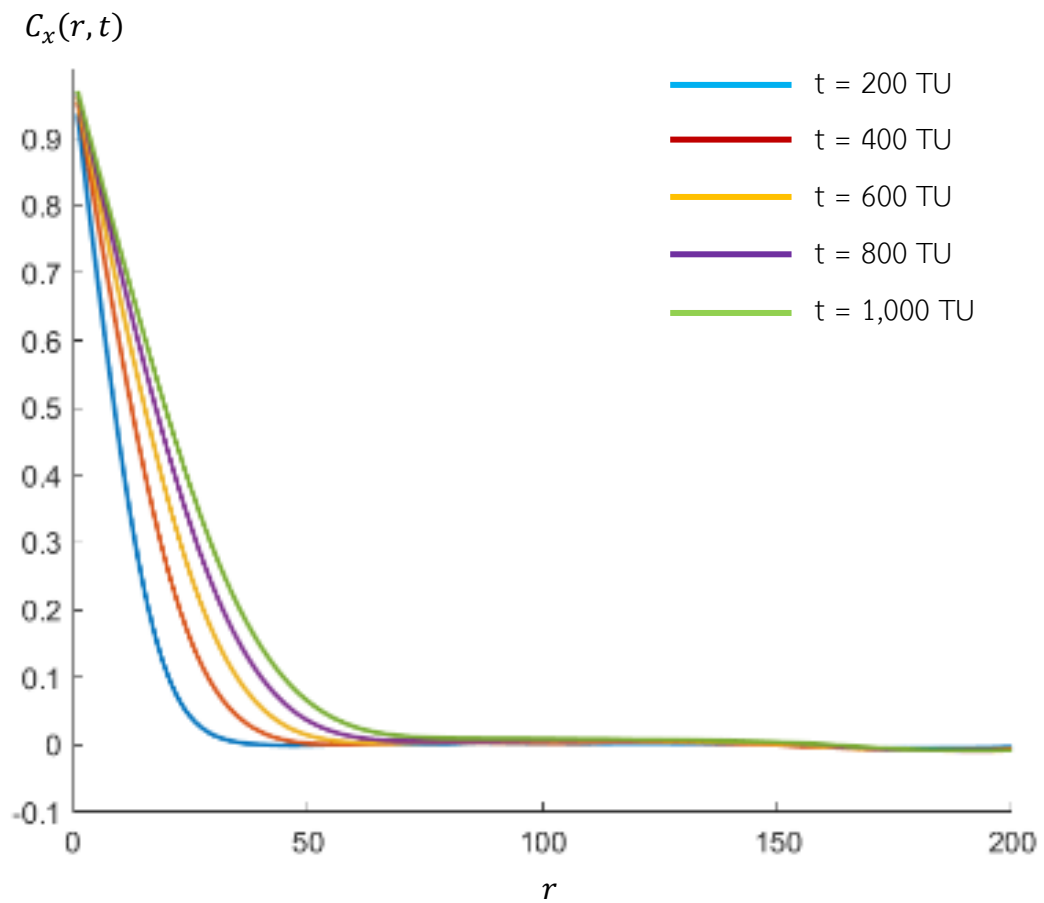


รูปที่ 8 แสดง“สปินโดเมน”ของระบบที่มีการเฉือนที่ความถี่เท่ากับ 0.00001 $1/TU$ และ เฟสเริ่มต้นเท่ากับ 0 ณ เวลา $1,000$ TU

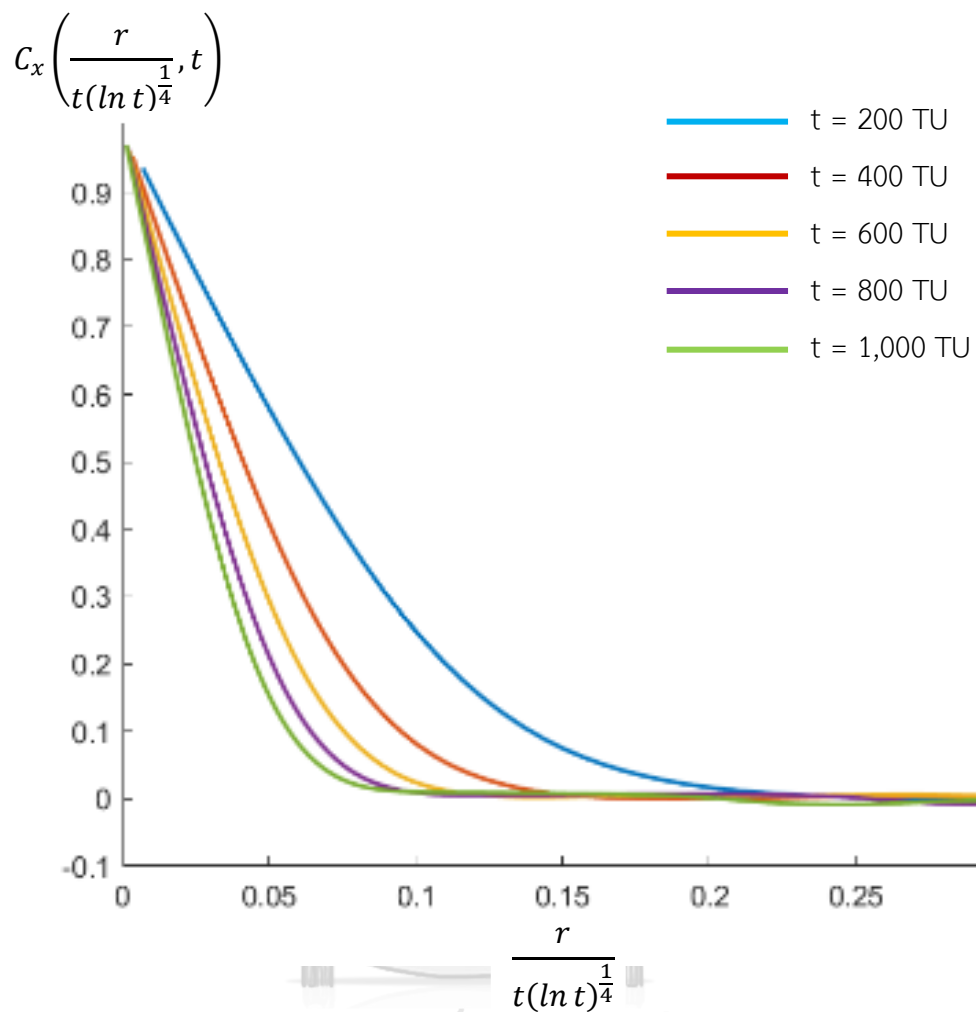
รูปที่ 9 แสดงกราฟของฟังก์ชันสหสัมพันธ์ที่เวลาเท่ากันในทิศแกน x โดยความถี่ของการเฉือนมีค่าเท่ากับ 0.00001 $1/TU$ และเฟสเริ่มต้นเท่ากับ 90 โดยกราฟแต่ละเส้นมีเวลาห่างกัน 200 TU รูปที่ 10 แสดงกราฟจากรูปที่ 9 ที่ถูกสเกลด้วยกฎการเติบโตของระบบที่อยู่ภายใต้อิทธิพลของการเฉือนแบบสม่าเสมอ $L_x(t) \sim t(\ln t)^{\frac{1}{4}}$ รูปที่ 11 แสดงกราฟจากรูปที่ 9 ที่ถูกสเกลด้วยกฎการเติบโตของระบบที่ไม่อยู่ภายใต้อิทธิพลของการเฉือน $L_x(t) \sim t^{\frac{1}{2}}$ และรูปที่ 12 แสดง“สปินโดเมน”ของระบบที่มีการเฉือนที่ความถี่เท่ากับ 0.00001 $1/TU$ และเฟสเริ่มต้นเท่ากับ 90 ณ เวลา $1,000$ TU

จะสังเกตเห็นว่ากราฟที่ถูกสเกลด้วยกฎการเติบโตของระบบที่ไม่อยู่ภายใต้อิทธิพลของการเฉือน (รูปที่ 11) จะซ้อนทับสนิทกันมากกว่ากราฟที่ถูกสเกลด้วยกฎการเติบโตของระบบที่อยู่ภายใต้อิทธิพลของการเฉือนแบบสม่าเสมอ (รูปที่ 10) และเมื่อพิจารณาการซ้อนทับสนิทกันของกราฟฟังก์ชันสหสัมพันธ์ที่เวลาเท่ากันในทิศแกน y (ภาคผนวก ค) ภายใต้เงื่อนไขการเฉือนเดียวกัน เราก็จะพบว่ากราฟฟังก์ชันสหสัมพันธ์ที่เวลาเท่ากันในทิศแกน y ที่ถูกสเกลด้วยกฎการเติบโตของระบบที่ไม่อยู่ภายใต้อิทธิพลของการเฉือน $L_y(t) \sim t^{\frac{1}{2}}$ จะซ้อนทับกันสนิทกันมากกว่ากราฟฟังก์ชันสหสัมพันธ์ที่เวลาเท่ากันในทิศแกน y ที่ถูกสเกลด้วยกฎการเติบโตของระบบที่อยู่ภายใต้อิทธิพลของการเฉือนแบบสม่าเสมอ $L_y(t) \sim (\ln t)^{-\frac{1}{4}}$ ซึ่งสอดคล้องกันกับการพิจารณาในแกน x

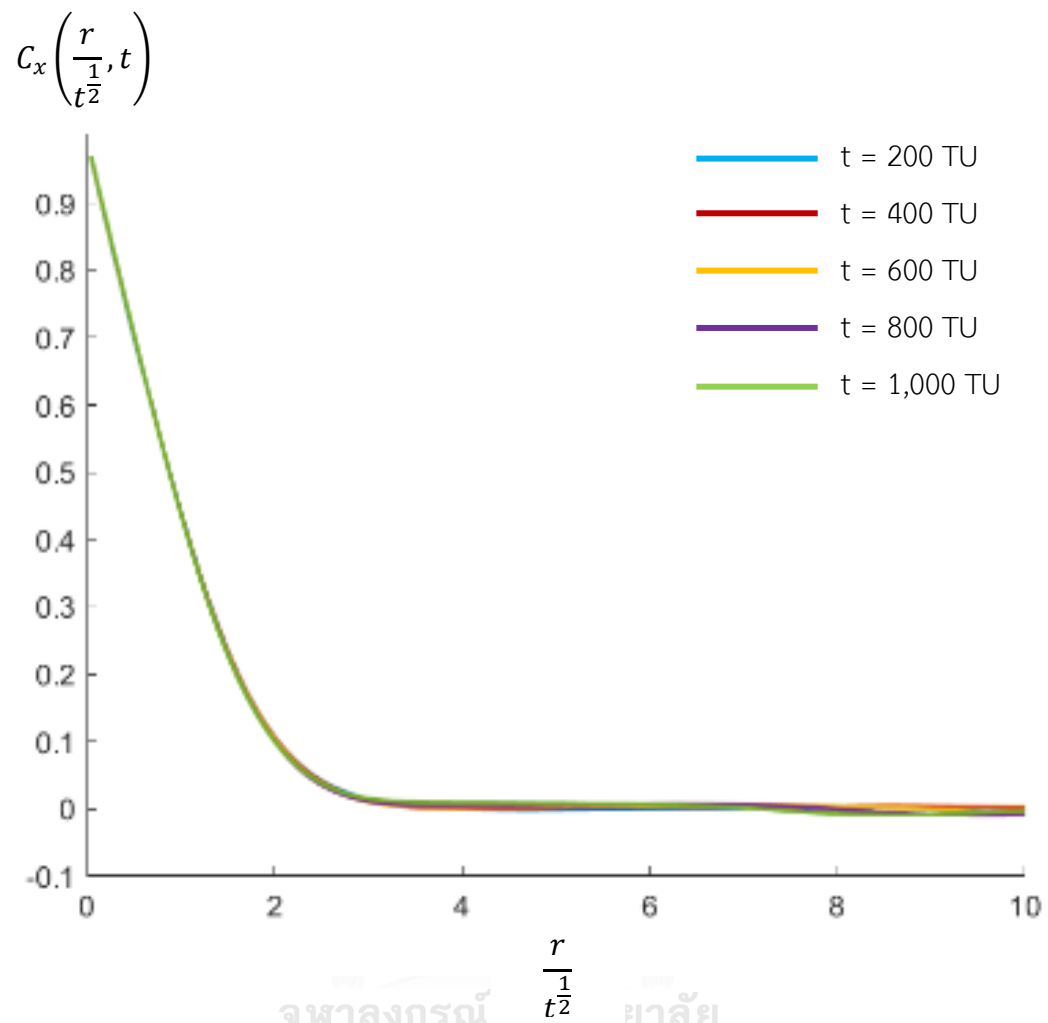
จากข้อความข้างต้นแสดงให้เห็นว่า หากสมมติฐานการสเกลเชิงพลวัตเป็นจริง แบบจำลองไอซิงในปริภูมิพื้นที่ 2 มิติที่อยู่ภายใต้อิทธิพลของการเฉือนแบบเคลื่อนที่สลับ ที่ความถี่ของการเฉือนมีค่าเท่ากับ 0.00001 $1/TU$ และ เฟสเริ่มต้นเท่ากับ 90 ในช่วงเวลา $2,000$ TU จะประพฤติเสมือนว่าไม่อยู่ภายใต้อิทธิพลของการเฉือน



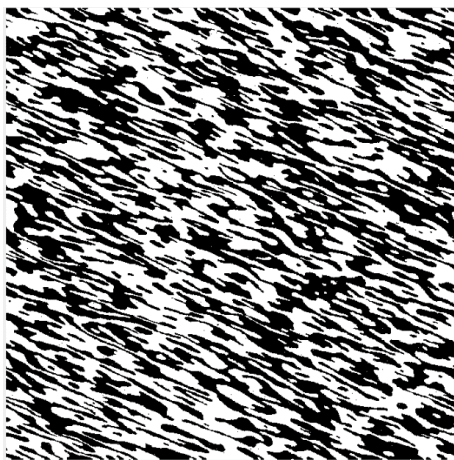
รูปที่ 9 แสดงกราฟของฟังก์ชันสหสัมพันธ์ที่เวลาเท่ากันในทิศทาง x ความถี่ของการเขื่อนมีค่าเท่ากับ 0.00001 $1/TU$ และ เฟสเริ่มต้นเท่ากับ 90 โดยกราฟแต่ละเส้นเวลาห่างกัน 200 TU



รูปที่ 10 แสดงกราฟจากรูปที่ 9 ที่ถูกสเกลด้วยกฎการเติบโตของระบบที่อยู่ภายใต้อิทธิพลของการ
เงื่อนไขแบบสม่ำเสมอ



รูปที่ 11 แสดงกราฟจากรูปที่ 9 ที่ถูกสเกลด้วยกฎการเติบโตของระบบที่ไม่อยู่ภายใต้อิทธิพลของการเฉือน

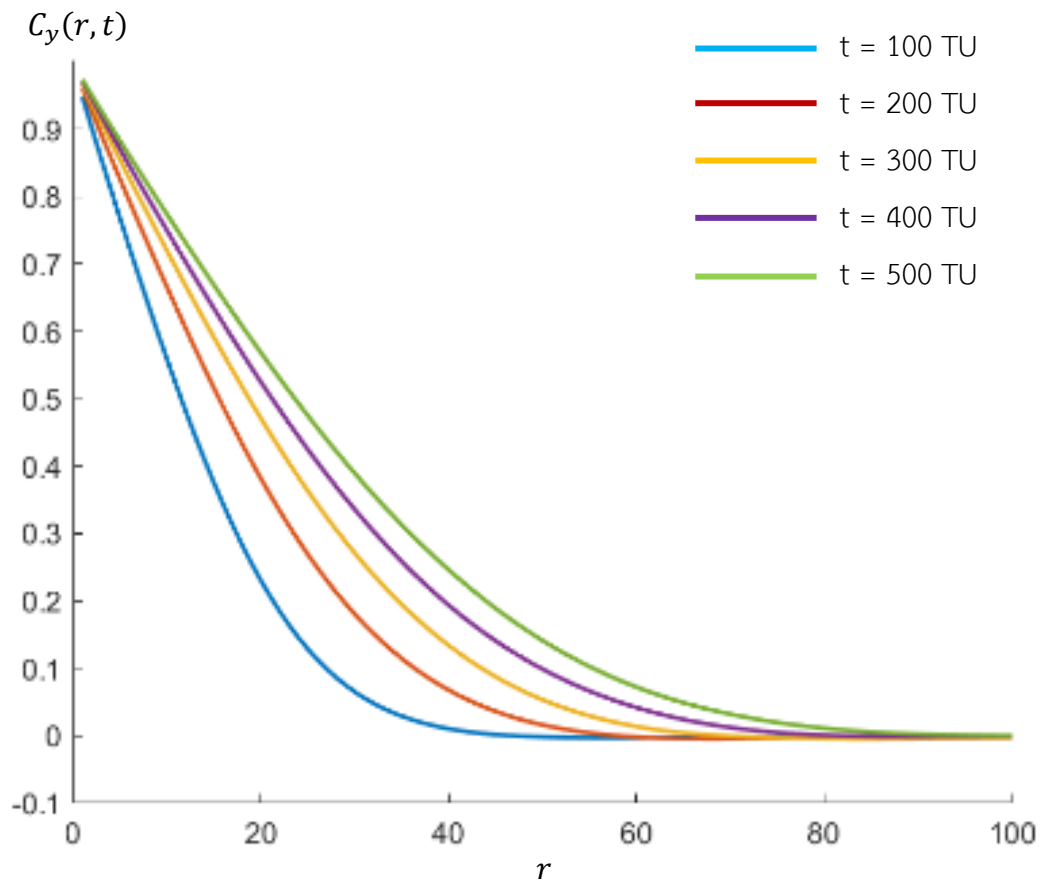


รูปที่ 12 แสดง“สปีนโดเมน”ของระบบที่มีการเฉือนที่ความถี่เท่ากับ 0.00001 1/TU และ เฟสเริ่มต้นเท่ากับ 90 ณ เวลา $1,000 \text{ TU}$

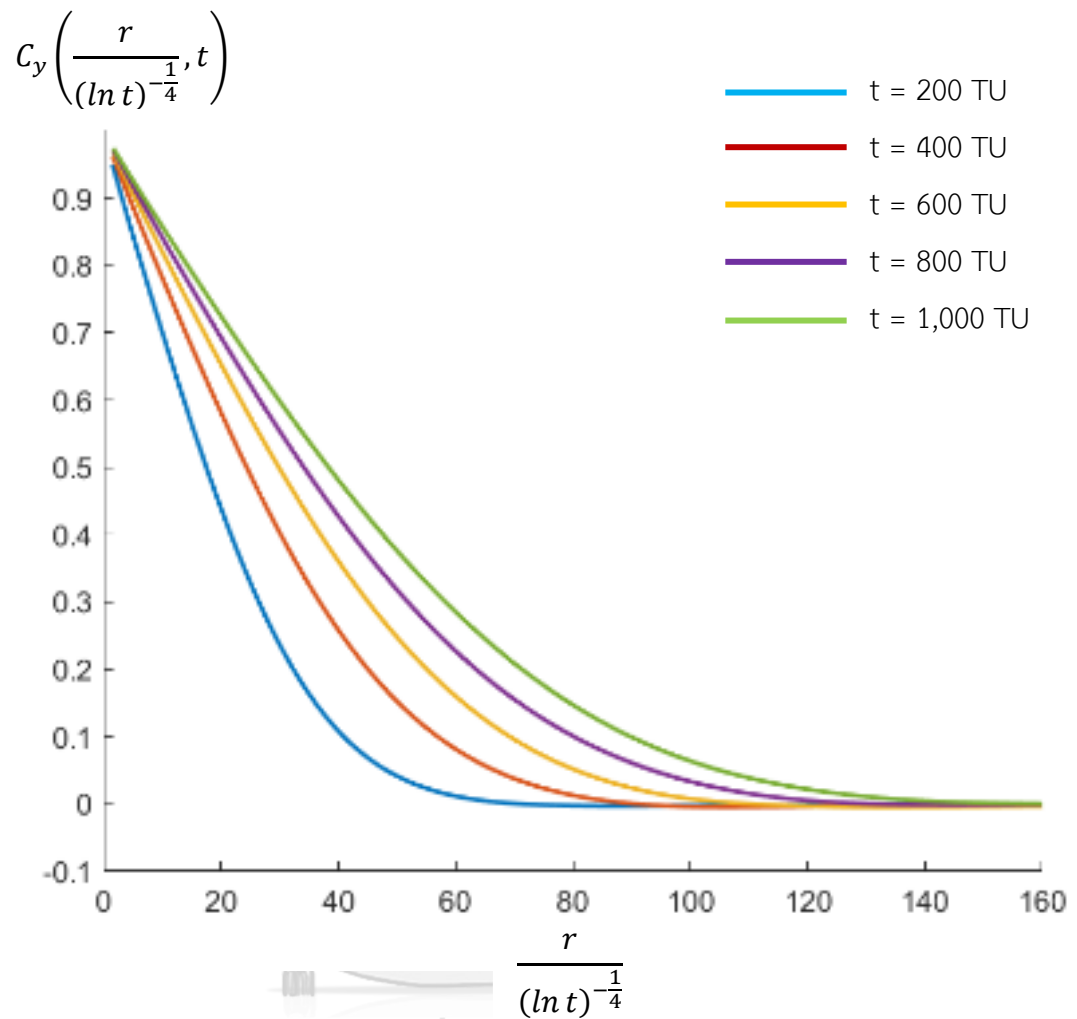
รูปที่ 13 แสดงกราฟของฟังก์ชันสหสัมพันธ์ที่เวลาเท่ากันในทิศแกน y โดยความถี่ของการเฉือนมีค่าเท่ากับ 64 1/TU และ เฟสเริ่มต้นเท่ากับ 0 โดยกราฟแต่ละเส้นมีเวลาห่างกัน 100 TU รูปที่ 14 แสดงกราฟจากรูปที่ 13 ที่ถูกสเกลด้วยกฎการเติบโตของระบบที่อยู่ภายใต้อิทธิพลของการเฉือนแบบสม่าเสมอ $L_y(t) \sim (\ln t)^{-\frac{1}{4}}$ รูปที่ 15 แสดงกราฟจากรูปที่ 13 ที่ถูกสเกลด้วยกฎการเติบโตของระบบที่ไม่อยู่ภายใต้อิทธิพลของการเฉือน $L_y(t) \sim t^{\frac{1}{2}}$ และรูปที่ 16 แสดง“สปีนโดเมน”ของระบบที่มีการเฉือนที่ความถี่เท่ากับ 64 1/TU และ เฟสเริ่มต้นเท่ากับ 0 ณ เวลา $1,000 \text{ TU}$

จะสังเกตเห็นว่ากราฟที่ถูกสเกลด้วยกฎการเติบโตของระบบที่ไม่อยู่ภายใต้อิทธิพลของการเฉือน (รูปที่ 15) จะซ้อนทับสนิทกันมากกว่ากราฟที่ถูกสเกลด้วยกฎการเติบโตของระบบที่อยู่ภายใต้อิทธิพลของการเฉือนแบบสม่าเสมอ (รูปที่ 14) และเมื่อพิจารณาการซ้อนทับสนิทกันของกราฟฟังก์ชันสหสัมพันธ์ที่เวลาเท่ากันในทิศแกน x (ภาคผนวก ค) ภายใต้เงื่อนไขการเฉือนเดียวกัน เราก็จะพบว่ากราฟฟังก์ชันสหสัมพันธ์ที่เวลาเท่ากันในทิศแกน x ที่ถูกสเกลด้วยกฎการเติบโตของระบบที่ไม่อยู่ภายใต้อิทธิพลของการเฉือน $L_x(t) \sim t^{\frac{1}{2}}$ จะซ้อนทับกันสนิทกันมากกว่ากราฟฟังก์ชันสหสัมพันธ์ที่เวลาเท่ากันในทิศแกน x ที่ถูกสเกลด้วยกฎการเติบโตของระบบที่อยู่ภายใต้อิทธิพลของการเฉือนแบบสม่าเสมอ $L_x(t) \sim t(\ln t)^{\frac{1}{4}}$ ซึ่งสอดคล้องกันกับการพิจารณาในแกน y

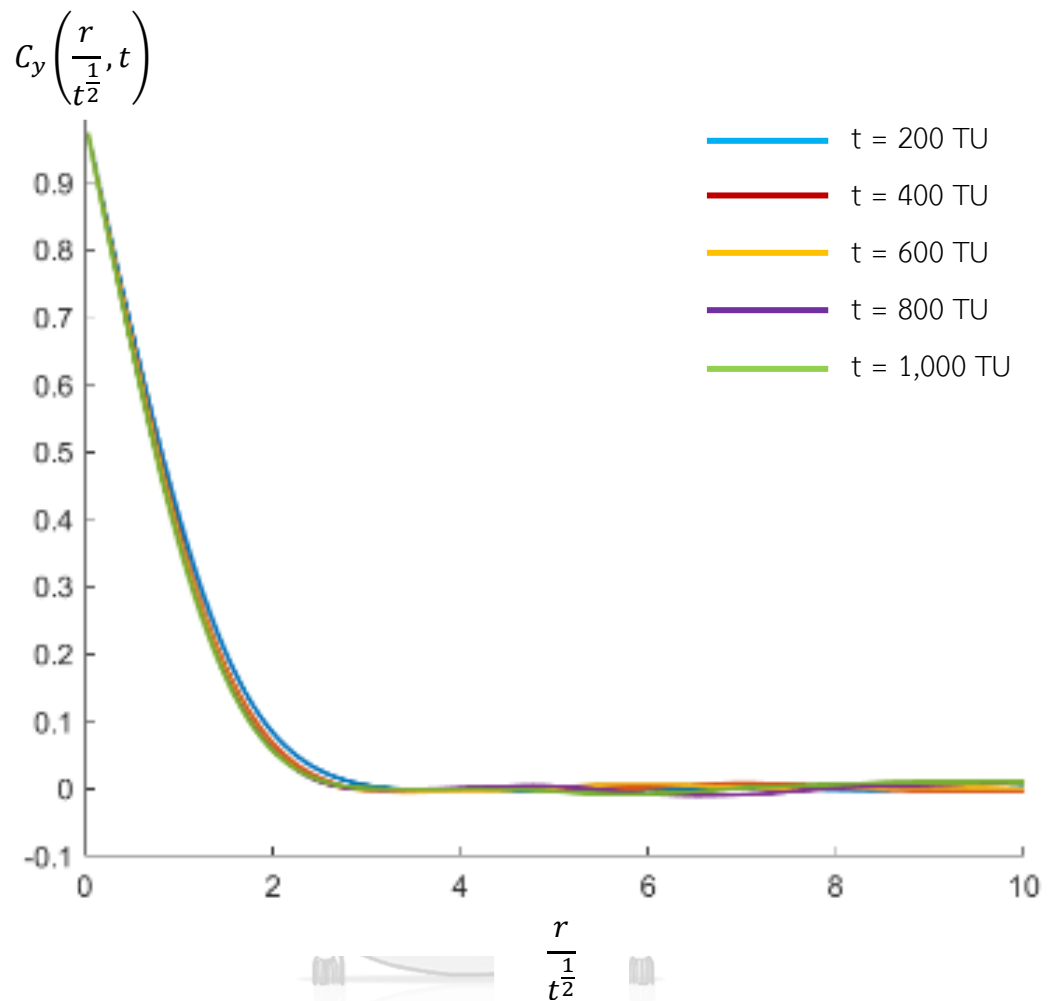
จากข้อความข้างต้นแสดงให้เห็นว่า หากสมมติฐานการสเกลเชิงพลวัตเป็นจริง แบบจำลองไอซิงในปริภูมิพื้นที่ 2 มิติที่อยู่ภายใต้อิทธิพลของการเฉือนแบบเคลื่อนที่สลับ ที่ความถี่ของการเฉือนมีค่าเท่ากับ 64 1/TU และ เฟสเริ่มต้นเท่ากับ 0 ในช่วงเวลา $1,000 \text{ TU}$ จะประพฤติเสมือนว่าไม่อยู่ภายใต้อิทธิพลของการเฉือน



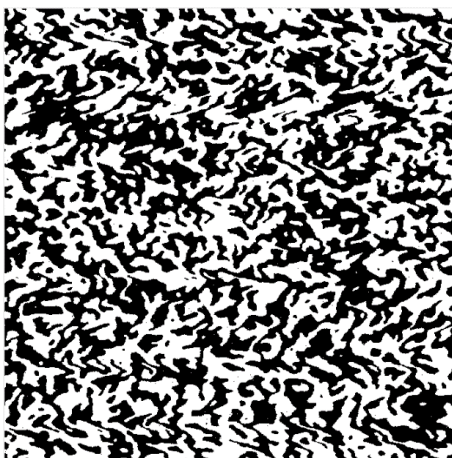
รูปที่ 13 แสดงกราฟของฟังก์ชันสหสัมพันธ์ที่เวลาเท่ากันในทิศแกน y ความถี่ของการเขื่อนมีค่าเท่ากับ 64 1/TU และ เฟสเริ่มต้นเท่ากับ 0 โดยกราฟแต่ละเส้นเวลาห่างกัน 100 TU



รูปที่ 14 แสดงกราฟจากรูปที่ 13 ที่ถูกลดด้วยกฎการเติบโตของระบบที่อยู่ภายใต้อิทธิพลของการ
เฉือนแบบสม่ำเสมอ



รูปที่ 15 แสดงกราฟจากรูปที่ 13 ที่ถูกสเกลด้วยกฎการเติบโตของระบบที่ไม่อยู่ภายใต้อิทธิพลของการเฉือน

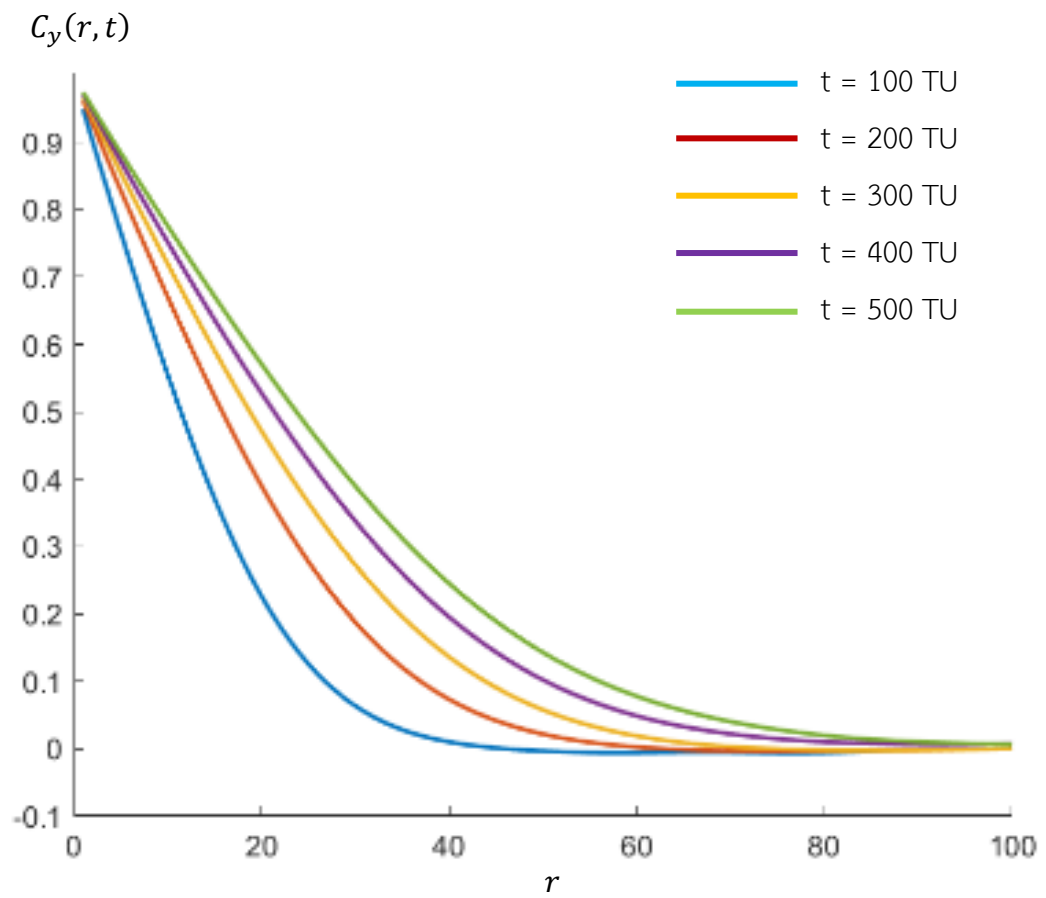


รูปที่ 16 แสดง “สปีนโดเมน” ของระบบที่มีการเฉือนที่ความถี่เท่ากับ 64 1/TU และ เฟสเริ่มต้นเท่ากับ 0 ณ เวลา 1,000 TU

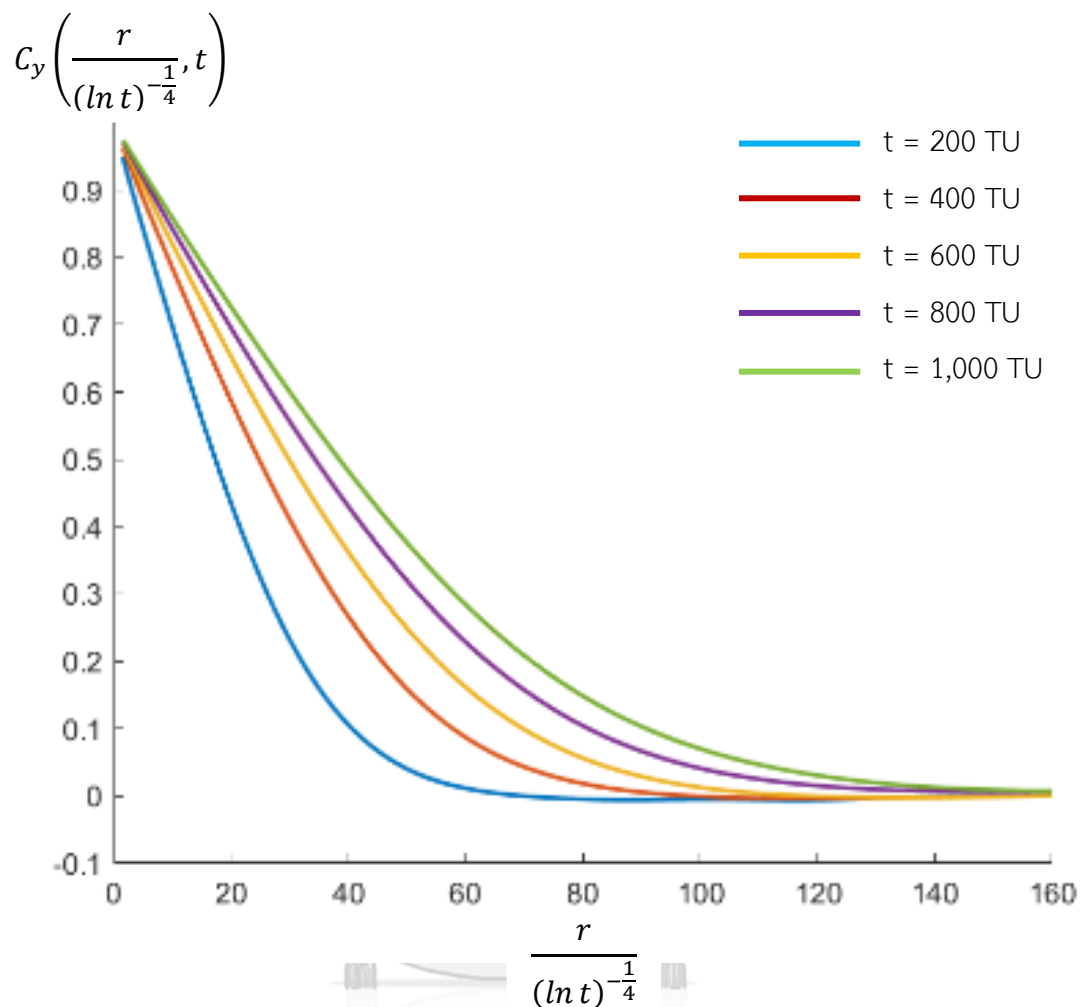
รูปที่ 17 แสดงกราฟของฟังก์ชันสหสัมพันธ์ที่เวลาเท่ากันในทิศแกน y โดยความถี่ของการเฉือนมีค่าเท่ากับ 64 1/TU และ เฟสเริ่มต้นเท่ากับ 90 โดยกราฟแต่ละเส้นมีเวลาห่างกัน 100 TU รูปที่ 18 แสดงกราฟจากรูปที่ 17 ที่ถูกสเกลด้วยกฎการเติบโตของระบบที่อยู่ภายใต้อิทธิพลของการเฉือนแบบสมมาตร $L_y(t) \sim (\ln t)^{-\frac{1}{4}}$ รูปที่ 19 แสดงกราฟจากรูปที่ 17 ที่ถูกสเกลด้วยกฎการเติบโตของระบบที่ไม่อยู่ภายใต้อิทธิพลของการเฉือน $L_y(t) \sim t^{\frac{1}{2}}$ และรูปที่ 20 แสดง “สปีนโดเมน” ของระบบที่มีการเฉือนที่ความถี่เท่ากับ 64 1/TU และ เฟสเริ่มต้นเท่ากับ 90 ณ เวลา 1,000 TU

จะสังเกตเห็นว่ากราฟที่ถูกสเกลด้วยกฎการเติบโตของระบบที่ไม่อยู่ภายใต้อิทธิพลของการเฉือน (รูปที่ 19) จะซ้อนทับสนิทกันมากกว่ากราฟที่ถูกสเกลด้วยกฎการเติบโตของระบบที่อยู่ภายใต้อิทธิพลของการเฉือนแบบสมมาตร (รูปที่ 18) และเมื่อพิจารณาการซ้อนทับสนิทกันของกราฟฟังก์ชันสหสัมพันธ์ที่เวลาเท่ากันในทิศแกน x (ภาคผนวก ค) ภายใต้เงื่อนไขการเฉือนเดียวกัน เราก็จะพบว่ากราฟฟังก์ชันสหสัมพันธ์ที่เวลาเท่ากันในทิศแกน x ที่ถูกสเกลด้วยกฎการเติบโตของระบบที่ไม่อยู่ภายใต้อิทธิพลของการเฉือน $L_x(t) \sim t^{\frac{1}{2}}$ จะซ้อนทับกันสนิทกันมากกว่ากราฟฟังก์ชันสหสัมพันธ์ที่เวลาเท่ากันในทิศแกน x ที่ถูกสเกลด้วยกฎการเติบโตของระบบที่อยู่ภายใต้อิทธิพลของการเฉือนแบบสมมาตร $L_x(t) \sim t(\ln t)^{\frac{1}{4}}$ ซึ่งสอดคล้องกันกับการพิจารณาในแกน y

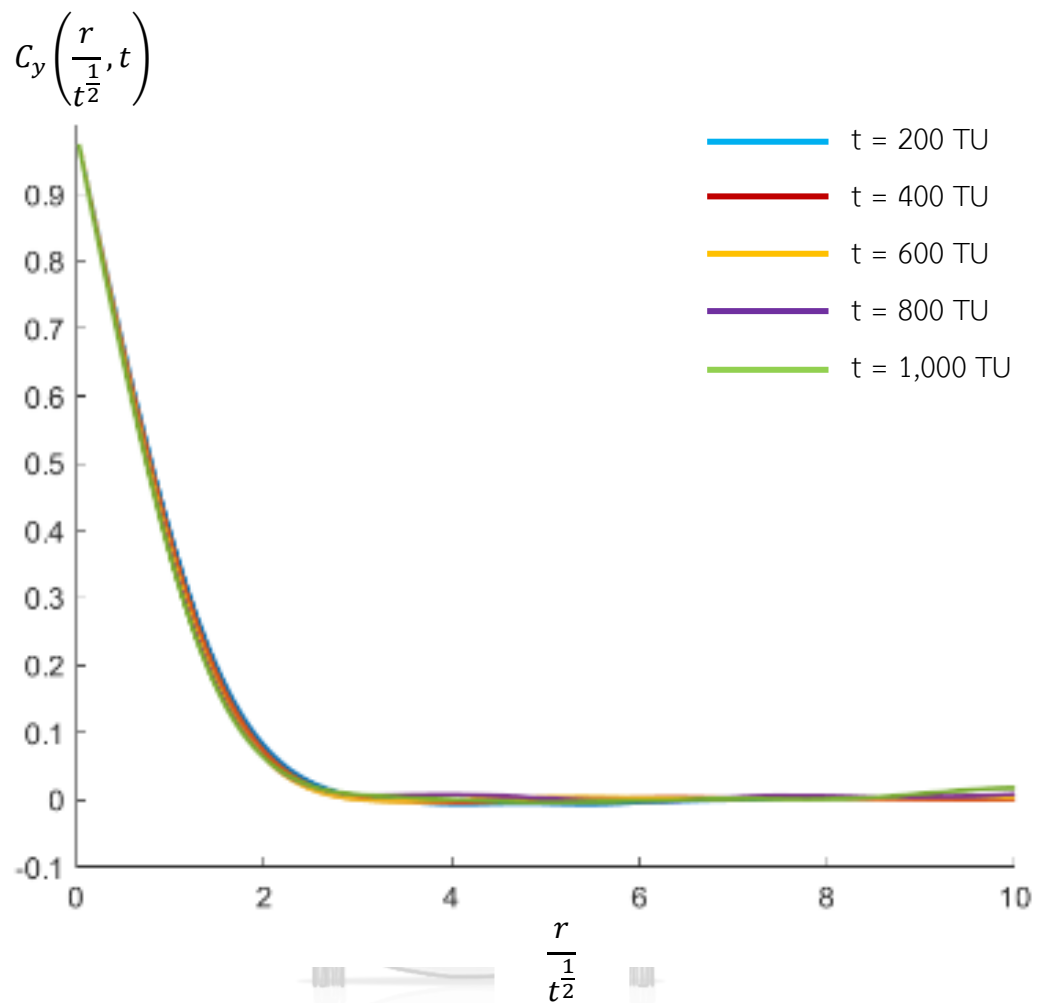
จากข้อความข้างต้นแสดงให้เห็นว่า หากสมมติฐานการสเกลเชิงพลวัตเป็นจริง แบบจำลองไอซิงในปริภูมิพื้นที่ 2 มิติที่อยู่ภายใต้อิทธิพลของการเฉือนแบบเคลื่อนที่สลับ ที่ความถี่ของการเฉือนมีค่าเท่ากับ 64 1/TU และ เฟสเริ่มต้นเท่ากับ 90 ในช่วงเวลา 1,000 TU จะประพฤติเสมือนว่าไม่อยู่ภายใต้อิทธิพลของการเฉือน



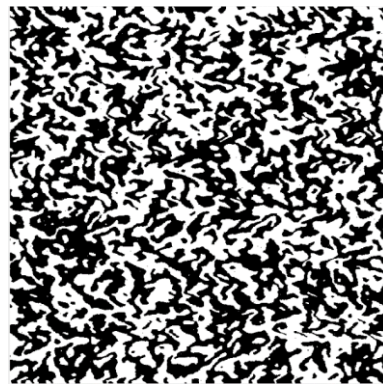
รูปที่ 17 แสดงกราฟของฟังก์ชันสหสัมพันธ์ที่เวลาเท่ากันในทิศแกน y ความถี่ของการเขื่อนมีค่าเท่ากับ 64 $1/TU$ และ เฟสเริ่มต้นเท่ากับ 90 โดยกราฟแต่ละเส้นเวลาห่างกัน 100 TU



รูปที่ 18 แสดงกราฟจากรูปที่ 17 ที่ถูกสเกลด้วยกฎการเติบโตของระบบที่อยู่ภายใต้อิทธิพลของการเฉือนแบบลมน้ำเสมอ



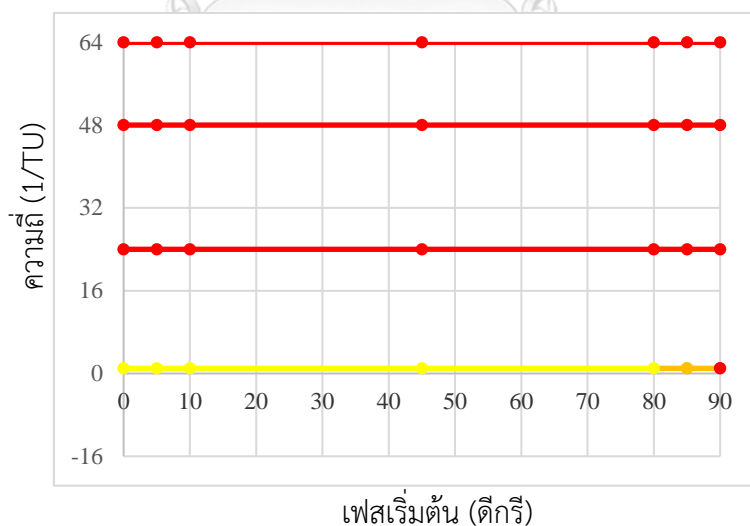
รูปที่ 19 แสดงกราฟจากรูปที่ 17 ที่ถูกสเกลด้วยกฎการเติบโตของระบบที่ไม่อยู่ภายใต้อิทธิพลของการเฉือน



รูปที่ 20 แสดง“สปินโดเมน”ของระบบที่มีการเฉือนที่ความถี่เท่ากับ 64 1/TU และ เฟสเริ่มต้นเท่ากับ 90 ณ เวลา 1,000 TU

เมื่อทำการวิเคราะห์การซ้อนทับสนิทกันของกราฟฟังก์ชันสหสัมพันธ์ที่ถูกสเกลด้วยกฎการเติบโตของระบบที่อยู่ภายใต้การเงื่อนไขแบบสม่ำเสมอและกฎการเติบโตของระบบที่ไม่อยู่ภายใต้อิทธิพลของการเงื่อนไข ทั้งในแนวแกน x และ แนวแกน y ตามเงื่อนไขของการเงื่อนไขในตารางที่ 1 เราสามารถนำผลการวิเคราะห์ในแต่ละเงื่อนไขของการเงื่อนไขมาสร้างแผนภาพเฟสของแบบจำลองได้ ดังแสดงในรูปที่ 21 จากภาพเราจะพบว่าระบบมี 2 พฤติกรรมเช่นเดียวกับระบบที่พิจารณาในบทที่ 3 และ 4 กล่าวคือที่ความถี่จำกัดค่าหนึ่ง (32 , 48 และ 64 1/TU) ระบบจะประพฤติเสมือนว่าไม่อยู่ภายใต้อิทธิพลของการเงื่อนไขซึ่งแทนด้วยจุดสีแดง ส่วนที่ความถี่ต่ำ (0.00001 1/TU) ระบบจะประพฤติเสมือนว่าอยู่ภายใต้อิทธิพลของการเงื่อนไขแบบสม่ำเสมอซึ่งแทนด้วยจุดสีเหลือง ส่วนจุดสีส้มคือส่วนที่แตกต่างจากการคำนวณในบทที่ 3 และ 4 แทนสถานะของระบบที่ยังระบุไม่ได้ สาเหตุที่เราไม่สามารถระบุสถานะได้ เป็นเพราะกราฟฟังก์ชันสหสัมพันธ์ที่ถูกสเกลด้วยกฎการเติบโตแบบต่างๆ ไม่มีการซ้อนทับกัน

ข้อจำกัดในการพิจารณาแผนภาพนี้คือ ภาพนี้เป็นเพียงแผนภาพเฟสของแบบจำลองไอซิงในปริภูมิพื้นที่ 2 มิติ ภายใต้อิทธิพลของการเงื่อนไขแบบเคลื่อนที่สลับที่มีขนาดของระบบที่จำกัด และในช่วงเวลา 0 ถึง 2,000 TU หากทำการจำลองในช่วงความถี่และเฟสเริ่มต้นของการเงื่อนไขในค่าอื่นๆ และช่วงเวลาในการจำลองช่วงอื่นอาจจะได้ผลลัพธ์ที่ไม่สอดคล้องกับการคำนวณในบทที่ 3 และ 4



รูปที่ 21 แสดงแผนภาพเฟสของแบบจำลอง จุดสีเหลืองแทนสถานะของระบบที่อยู่ภายใต้อิทธิพลของการเงื่อนไขแบบสม่ำเสมอ จุดสีแดงแทนสถานะของระบบที่ไม่อยู่ภายใต้อิทธิพลของการเงื่อนไข และจุดสีส้มแทนสถานะของระบบที่ยังระบุไม่ได้

บทที่ 6

ข้อสรุปและข้อเสนอแนะ

ผลการคำนวณในบทที่ 3 และ 4 ทำให้สรุปได้ว่า ผลการรบกวนทางความร้อนไม่ส่งผลต่อพลวัตของการสเกลของระบบ เพราะทั้ง 2 กรณีมีกฎการเติบโตชุดเดียวกันและมีรูปแบบของ ฟังก์ชันสหสัมพันธ์ที่เวลาเท่ากันและฟังก์ชันโครงสร้างที่เวลาเท่ากันรูปแบบเดียวกัน ต่างกันเพียงค่าสัมประสิทธิ์ที่คูณอยู่กับฟังก์ชันเท่านั้น

หากพิจารณาพฤติกรรมของระบบภายใต้การเงื่อนไขแบบเคลื่อนที่สลับที่ค่าความถี่และเฟสเริ่มต้นต่างๆเมื่อเวลาผ่านไปนาน ผ่านกฎการเติบโตของระบบ จะพบว่าระบบมีพฤติกรรมที่แตกต่างกันอยู่ 2 แบบ ได้แก่ ระบบที่ประพฤติเสมือนว่าไม่อยู่ภายใต้อิทธิพลของการเงื่อนไข และระบบที่ประพฤติเสมือนว่าอยู่ภายใต้อิทธิพลของการเงื่อนไขแบบสมมาตร กล่าวคือ ถ้าความถี่ของการเงื่อนไขมีค่าจำกัดค่าหนึ่ง ระบบจะประพฤติเสมือนว่าไม่อยู่ภายใต้อิทธิพลของการเงื่อนไข ซึ่งพิจารณาได้จากสมการที่ (38) หรือ สมการที่ (52) ทำให้พลวัตของการสเกลในทิศของการเงื่อนไข (แกน x) และทิศที่ตั้งฉาก (แกน y) ไม่มีความแตกต่างกัน แต่หากว่าค่าความถี่ของการเงื่อนไขมีค่าน้อยมาก พฤติกรรมของระบบจะถูกควบคุมด้วยค่าเฟสเริ่มต้นของการเงื่อนไข เนื่องจากพจน์ $\cos\theta$ ที่ปรากฏในสมการที่ (21) ถ้าเฟสเริ่มต้นมีค่าเท่ากับ 90 องศา หรือ 270 องศา ระบบจะประพฤติเสมือนว่าไม่อยู่ภายใต้อิทธิพลของการเงื่อนไข ในทางกลับกัน ถ้าเฟสเริ่มต้นเท่ากับค่าอื่น ระบบจะประพฤติเสมือนว่าอยู่ภายใต้อิทธิพลของการเงื่อนไขแบบสมมาตร ซึ่งหมายความว่าพลวัตการสเกลของระบบในทิศของการเงื่อนไขและทิศที่ตั้งฉากมีค่าต่างกัน โดยพิจารณาผ่านค่า α ที่สัมพันธ์กับกฎการเติบโตดังนี้ $L(t) \sim t^\alpha$ หาก α_{\parallel} และ α_{\perp} คือ เลขชี้กำลังของกฎการเติบโตในทิศขนานและตั้งฉากกับการเงื่อนไขตามลำดับจากสมการที่ (35) หรือ สมการที่ (49) พบว่า $\alpha_{\parallel} = \frac{3}{2}$ และ $\alpha_{\perp} = \frac{1}{2}$ ซึ่งสอดคล้องกับงานวิจัยอื่นที่ α_{\parallel} และ α_{\perp} จะสัมพันธ์กันผ่านสมการ $\alpha_{\parallel} - \alpha_{\perp} = 1$ [11]

จากสิ่งที่กล่าวไว้ข้างต้นอาจจะสรุปได้ว่า ที่การเงื่อนไขความถี่ต่ำ ระบบจะมีเฟสที่แตกต่างกัน 2 เฟส โดยมีเฟสเริ่มต้นของการเงื่อนไขเป็นพารามิเตอร์เฟส ระบบจะเกิดการเปลี่ยนเฟส จากเฟสที่ระบบประพฤติเสมือนว่าอยู่ภายใต้อิทธิพลของการเงื่อนไขแบบสมมาตร ไปยังเฟสที่ระบบจะประพฤติเสมือนว่าไม่อยู่ภายใต้อิทธิพลของการเงื่อนไข ณ เฟสเริ่มต้นของการเงื่อนไขเท่ากับ 90 องศา

ในส่วนการจำลองด้วยคอมพิวเตอร์ พบว่าแบบจำลองสอดคล้องกับการคำนวณในบทที่ 3 และ 4 ในช่วงเวลา 0 ถึง 2,000 TU และเงื่อนไขของการเงื่อนไขตามตารางที่ 1 แต่มีจุดที่น่าสังเกตคือการเงื่อนไขที่ความถี่ต่ำและมีเฟสเริ่มต้นการเงื่อนไขเท่ากับ 85 องศา พบว่าไม่สามารถจัดประเภทพฤติกรรมที่เหมาะสมของระบบได้ คาดว่าสาเหตุมาจาก การที่เมื่อเฟสเริ่มต้นของการเงื่อนไขมีค่าเข้า

ใกล้ 90 องศา พจน์การเฉือนในสมการที่ (10) จะมีค่าน้อยมาก ดังนั้นอิทธิพลของการเฉือนจะส่งผลต่อระบบเมื่อเวลาผ่านไปนานมากพอ แต่เนื่องจากในการจำลองครั้งนี้เวลาที่ใช้ในการสังเกตการณ์คือ 2,000 TU ซึ่งอาจจะไม่เพียงพอที่จะสังเกตเห็นผลจากการเฉือน ดังนั้นในการแก้ปัญหานี้อาจจะขยายขอบเขตเวลาในการสังเกตการณ์ออกไปให้มากขึ้น แต่การขยายเวลาในการสังเกตให้มากขึ้น จำเป็นจะต้องขยายขนาดของระบบให้ใหญ่ขึ้นตาม เพื่อไม่ให้เกิดผลเนื่องจากขนาดที่จำกัดของระบบ (The finite system size effect) เพราะทฤษฎีที่ใช้ในวิชานิพนธ์ฉบับนี้อยู่บนสมมติฐานของลิมิตอุณหพลศาสตร์ (The thermodynamic limit) ในท้ายที่สุดเมื่อเวลานานพอและระบบมีขนาดที่ใหญ่พอ คาดว่าสำหรับการเฉือนที่ความถี่ต่ำและมีเฟสเริ่มต้น 85 องศา ระบบจะประพฤติเสมือนว่าอยู่ภายใต้อิทธิพลของการเฉือนแบบสม่ำเสมอ

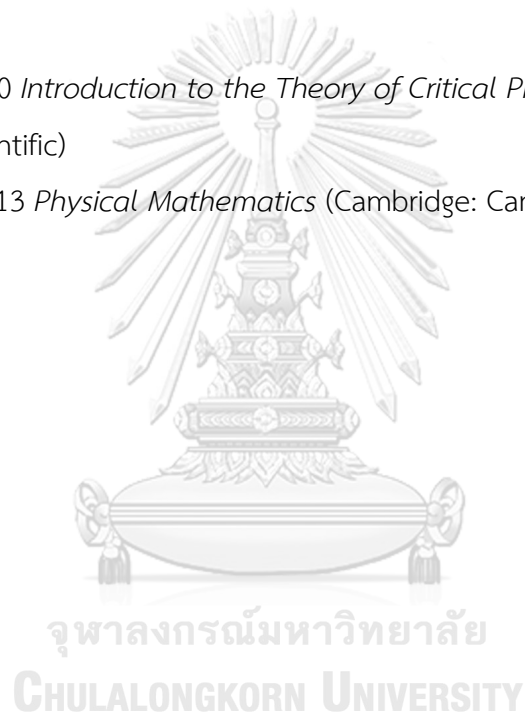


รายการอ้างอิง

- [1] Bray AJ 2002 *Adv. Phys.* **51** 481
- [2] Piputnchonlathee V 2003 *ProQuest Dissertations And Theses* **75** 136
- [3] Hyun K, Wilhelm M, Klein CO, Cho KS, Nam JG and Ahn KH 2011
Prog. Polym. Sci. **36** 1697
- [4] Puri S and Wadhawan V 2009 *Kinetics of phase transitions* (Boca Raton: CRC Press)
- [5] Nishimori H and Ortiz G 2011 *Elements of phase transitions and critical Phenomena* (New York: Oxford University Press)
- [6] Hohenberg PC and Halperin BI 1977 *Rev. Mod. Phys.* **49** 435
- [7] Kittel C 1958 *Elementary Statistical Physics* (New York: Dover publication)
- [8] Cavagna A, Bray AJ and Travasso RDM 2000 *Phys. Rev. E.* **62** 4702
- [9] Cirillo ENM, Gonnella G and Saracco GP 2005 *Phys. Rev. E.* **72** 026139
- [10] Kissner JG 1992 *Ph. D. Thesis* (University of Manchester)
- [11] Corberi F, Gonnella G and Lamura A 2000 *Phys. Rev. E.* **61** 6621

บรรณานุกรม

1. Walter G, Ludwig N and Horst S 2001 *Thermodynamics and statistical mechanics* (New York: Springer)
2. Frederick R 2008 *Fundamentals statistical and thermal physics* (Illinois: Waveland Press)
3. Kerson H 1987 *Statistical mechanics* (New York: Wiley)
4. Julia Y 1992 *Statistical Mechanics of Phase transitions* (Oxford: Clarendon press)
5. Dimo I 2010 *Introduction to the Theory of Critical Phenomena* (New Jersey : World Scientific)
6. Kevin C 2013 *Physical Mathematics* (Cambridge: Cambridge University Press)





ภาคผนวก

จุฬาลงกรณ์มหาวิทยาลัย
CHULALONGKORN UNIVERSITY

ภาคผนวก ก

พิสูจน์ว่า $\langle \tilde{\phi}(-\vec{k}, 0) \tilde{\phi}(\vec{k}, 0) \rangle_0 = \Delta V_3$

$$\langle \tilde{\phi}(-\vec{k}, 0) \tilde{\phi}(\vec{k}, 0) \rangle_0 = \langle \iint e^{i\vec{k}\cdot\vec{r}} e^{-i\vec{k}\cdot\vec{r}'} \phi(\vec{r}, 0) \phi(\vec{r}', 0) d^3r d^3r' \rangle_0$$

$$\langle \tilde{\phi}(-\vec{k}, 0) \tilde{\phi}(\vec{k}, 0) \rangle_0 = \iint \langle \phi(\vec{r}, 0) \phi(\vec{r}', 0) \rangle_0 e^{i\vec{k}\cdot(\vec{r}-\vec{r}')} d^3r d^3r'$$

จากสมการที่ (3) $\langle \phi(\vec{r}, 0) \phi(\vec{r}', 0) \rangle_0 = \Delta \delta(\vec{r} - \vec{r}')$

$$\langle \tilde{\phi}(-\vec{k}, 0) \tilde{\phi}(\vec{k}, 0) \rangle_0 = \Delta \iint \delta(\vec{r} - \vec{r}') e^{i\vec{k}\cdot(\vec{r}-\vec{r}')} d^3r d^3r'$$

$$\langle \tilde{\phi}(-\vec{k}, 0) \tilde{\phi}(\vec{k}, 0) \rangle_0 = \Delta \int d^3r = \Delta V_3$$

พิสูจน์ว่า $S(\vec{k}, t) = \langle \tilde{\phi}(-\vec{k}, t) \tilde{\phi}(\vec{k}, t) \rangle_0 = \Delta V_3 e^{-2\Gamma(F(\vec{k}, t) - b(t))}$

$$C(\vec{r}, t) \equiv \langle \phi(\vec{r}', t) \phi(\vec{r}' + \vec{r}, t) \rangle_0 = \langle \phi(\vec{r}', t) \frac{1}{(2\pi)^3} \int e^{i\vec{k}'\cdot(\vec{r}'+\vec{r})} \tilde{\phi}(\vec{k}', t) d^3k' \rangle_0$$

$$C(\vec{r}, t) = \frac{1}{(2\pi)^6} \left\langle \iint e^{i(\vec{k}'+\vec{k}'')\cdot\vec{r}'} e^{i\vec{k}'\cdot\vec{r}} \tilde{\phi}(\vec{k}', t) \tilde{\phi}(\vec{k}'', t) d^3k' d^3k'' \right\rangle_0$$

จากสมการที่ (7) $S(\vec{k}, t) \equiv V_3 \int e^{-i\vec{k}\cdot\vec{r}} C(\vec{r}, t) d^3r = \iint e^{-i\vec{k}\cdot\vec{r}} C(\vec{r}, t) d^3r d^3r'$

$$S(\vec{k}, t) = \frac{1}{(2\pi)^6} \left\langle \iint \iint e^{i(\vec{k}'+\vec{k}'')\cdot\vec{r}'} e^{i(\vec{k}-\vec{k}')\cdot\vec{r}} \tilde{\phi}(\vec{k}', t) \tilde{\phi}(\vec{k}'', t) d^3r d^3r' d^3k' d^3k'' \right\rangle_0$$

$$S(\vec{k}, t) = \left\langle \iint \delta(\vec{k}' + \vec{k}'') \delta(\vec{k} - \vec{k}') \tilde{\phi}(\vec{k}', t) \tilde{\phi}(\vec{k}'', t) d^3k' d^3k'' \right\rangle_0$$

$$S(\vec{k}, t) = \left\langle \int \delta(\vec{k} + \vec{k}'') \tilde{\phi}(\vec{k}, t) \tilde{\phi}(\vec{k}'', t) d^3k'' \right\rangle_0$$

$$S(\vec{k}, t) = \langle \tilde{\phi}(-\vec{k}, t) \tilde{\phi}(\vec{k}, t) \rangle_0$$

จากสมการที่ (16) $\varphi(\vec{q}, \tau) = \varphi(\vec{q}, 0) \exp(-\Gamma(F(\vec{q}, \tau) - b(\tau)))$ และจากสมการที่ (14)

$$\tilde{\phi}(\vec{k}, t) = \tilde{\phi}(\vec{k}, 0) \exp(-\Gamma(F(\vec{k}, t) - b(t)))$$

$$\langle \tilde{\phi}(-\vec{k}, t) \tilde{\phi}(\vec{k}, t) \rangle_0 = \langle \tilde{\phi}(\vec{k}, 0) \tilde{\phi}(-\vec{k}, 0) \exp(-2\Gamma(F(\vec{k}, t) - b(t))) \rangle_0$$

โดยอาศัยสมบัติ $F(\vec{k}, t) = F(-\vec{k}, t)$

$$\langle \tilde{\phi}(-\vec{k}, t) \tilde{\phi}(\vec{k}, t) \rangle_0 = \langle \tilde{\phi}(-\vec{k}, 0) \tilde{\phi}(\vec{k}, 0) \rangle_0 e^{-2\Gamma(F(\vec{k}, t) - b(t))} = \Delta V_3 e^{-2\Gamma(F(\vec{k}, t) - b(t))}$$

พิสูจน์ว่า $\langle \phi^2(\vec{r}, t) \rangle = \frac{\Delta e^{2\Gamma b(t)}}{(2\pi)^3} \int e^{-2\Gamma F(\vec{k}, t)} d^3k$

$$\langle \phi^2(\vec{r}, t) \rangle = \frac{1}{V_3} \int \langle (\phi(\vec{r}, t))^2 \rangle_0 d^3r$$

$$\langle \phi^2(\vec{r}, t) \rangle = \frac{1}{V_3(2\pi)^6} \int \left\langle \iint e^{i\vec{k}\cdot\vec{r}} e^{i\vec{k}'\cdot\vec{r}} \phi(\vec{k}, t) \phi(\vec{k}', t) d^3k d^3k' \right\rangle_0 d^3r$$

$$\langle \phi^2(\vec{r}, t) \rangle = \frac{1}{V_3(2\pi)^3} \left\langle \iint \delta(\vec{k} + \vec{k}') \phi(\vec{k}, t) \phi(\vec{k}', t) d^3k d^3k' \right\rangle_0$$

$$\langle \phi^2(\vec{r}, t) \rangle = \frac{1}{V_3(2\pi)^3} \int \langle \phi(\vec{k}, t) \phi(-\vec{k}, t) \rangle_0 d^3k$$

ข้อสังเกต $\langle \phi^2(\vec{r}, t) \rangle = \frac{1}{V_3(2\pi)^3} \int S(\vec{k}, t) d^3k$

$$\langle \phi^2(\vec{r}, t) \rangle = \frac{e^{2\Gamma b(t)}}{V_3(2\pi)^3} \langle \tilde{\phi}(\vec{k}, 0) \tilde{\phi}(-\vec{k}, 0) \rangle_0 \int e^{-2\Gamma F(\vec{k}, t)} d^3k$$

$$\langle \phi^2(\vec{r}, t) \rangle = \frac{\Delta e^{2\Gamma b(t)}}{(2\pi)^3} \int e^{-2\Gamma F(\vec{k}, t)} d^3k$$

บทที่ 3

กรณี (a)

พิสูจน์ว่า $\langle \phi^2(\vec{r}, t) \rangle = \frac{\Delta e^{2\Gamma b(t)}}{(2\pi)^3} \sqrt{\frac{3\pi^3}{2(\gamma t \cos\theta)^2 \Gamma^3 t^3}}$

$$\int e^{-2\Gamma F(\vec{k}, t)} d^3k = \iiint \exp(-2\Gamma \left\{ \left(\frac{1}{12} (\gamma t \cos\theta)^2 + 1 \right) k_x^2 + \left(k_y - \frac{1}{2} k_x \gamma t \cos\theta \right)^2 + k_z^2 \right\} t) dk_x dk_y dk_z$$

จากสมการที่ (26) $\int e^{-2\Gamma F(\vec{k}, t)} d^3k = \left\{ \sqrt{\frac{\pi}{(\frac{1}{12}(\gamma t \cos\theta)^2 + 1)2\Gamma t}} \sqrt{\frac{\pi}{2\Gamma t}} \sqrt{\frac{\pi}{2\Gamma t}} \right\} = \sqrt{\frac{\pi^3}{(2\Gamma t)^3 (\frac{1}{12}(\gamma t \cos\theta)^2 + 1)}}$

$$\langle \phi^2(\vec{r}, t) \rangle = \frac{\Delta e^{2\Gamma b(t)}}{(2\pi)^3} \int e^{-2\Gamma F(\vec{k}, t)} d^3k = \frac{\Delta e^{2\Gamma b(t)}}{(2\pi)^3} \sqrt{\frac{\pi^3}{(2\Gamma t)^3 (\frac{1}{12}(\gamma t \cos\theta)^2 + 1)}}$$

เมื่อพิจารณาเฉพาะ $t \rightarrow \infty$ และ $\theta \neq \frac{\pi}{2}$ และ $\gamma \neq 0$

$$\langle \phi^2(\vec{r}, t) \rangle = \frac{\Delta e^{2\Gamma b(t)}}{(2\pi)^3} \int e^{-2\Gamma F(\vec{k}, t)} d^3k = \frac{\Delta e^{2\Gamma b(t)}}{(2\pi)^3} \sqrt{\frac{3\pi^3}{2(\gamma \cos\theta)^2 \Gamma^3 t^5}}$$

พิสูจน์ว่า $b(t) = \frac{5}{4\Gamma} \ln\left(\frac{t}{t_0}\right)$

จากเงื่อนไข $t \rightarrow \infty$ สมการที่ (24) จะเท่ากับสมการที่ (27) $-\frac{r_0}{u_0} = \frac{\Delta e^{2\Gamma b(t)}}{(2\pi)^3} \sqrt{\frac{3\pi^3}{2(\gamma\cos\theta)^2 \Gamma^3 t^5}}$

$$e^{2\Gamma b(t)} = \frac{|r_0|(2\pi)^3}{u_0 \Delta} \sqrt{\frac{2(\gamma\cos\theta)^2 \Gamma^3 t^5}{3\pi^3}} = \sqrt{\left(\frac{r_0}{u_0 \Delta}\right)^2 \frac{128\pi^3 (\gamma\cos\theta)^2 \Gamma^3 t^5}{3}}$$

ให้ $t_0 = \sqrt[5]{\frac{3}{128(\pi\Gamma)^3} \left(\frac{\Delta u_0}{r_0 \gamma \cos\theta}\right)^2}$ จะได้ว่า $e^{2\Gamma b(t)} = \left(\frac{t}{t_0}\right)^{5/2}$ ดังนั้น $b(t) = \frac{5}{4\Gamma} \ln\left(\frac{t}{t_0}\right)$

พิสูจน์ว่า $S(\vec{k}, t) = \Delta V_3 \left(\frac{t}{t_0}\right)^{5/2} \exp\left(-2\Gamma \left\{ \frac{1}{12} (\gamma t^2 k_x \cos\theta)^2 + (t^2 k_y - \frac{1}{2} \gamma t^2 k_x \cos\theta)^2 + (t^2 k_z)^2 \right\}\right)$

$$S(\vec{k}, t) = \Delta V_3 e^{-2\Gamma(F(\vec{k}, t) - b(t))}$$

$$S(\vec{k}, t) = \Delta V_3 \exp\left(-2\Gamma \left\{ \left(\frac{1}{12} (\gamma t \cos\theta)^2\right) k_x^2 + \left(k_y - \frac{1}{2} k_x \gamma t \cos\theta\right)^2 + k_z^2 \right\} t + 2\Gamma \left(\frac{5}{4\Gamma} \ln\left(\frac{t}{t_0}\right)\right)\right)$$

$$S(\vec{k}, t) = \Delta V_3 \left(\frac{t}{t_0}\right)^{5/2} \exp\left(-2\Gamma \left\{ \frac{1}{12} (\gamma t^2 k_x \cos\theta)^2 + (t^2 k_y - \frac{1}{2} \gamma t^2 k_x \cos\theta)^2 + (t^2 k_z)^2 \right\}\right)$$

พิสูจน์ว่า $C(\vec{r}, t) = -\frac{r_0}{u_0} \exp\left(-\frac{1}{8\Gamma t} \left(3\left(\frac{2x}{\gamma t \cos\theta} + y\right)^2 + y^2 + z^2\right)\right)$

$$C(\vec{r}, t) = \frac{1}{V_3 (2\pi)^3} \int e^{i\vec{k} \cdot \vec{r}} S(\vec{k}, t) d^3 k$$

$$C(\vec{r}, t) = \frac{1}{V_3 (2\pi)^3} \iiint e^{i\vec{k} \cdot \vec{r}} \Delta V_3 \left(\frac{t}{t_0}\right)^{5/2} \exp\left(-2\Gamma \left\{ \frac{1}{12} (\gamma t^2 k_x \cos\theta)^2 + (t^2 k_y - \frac{1}{2} \gamma t^2 k_x \cos\theta)^2 + (t^2 k_z)^2 \right\}\right) dk_x dk_y dk_z$$

จากสมการที่ (32)

$$C(\vec{r}, t)$$

$$= \frac{1}{V_3 (2\pi)^3} \Delta V_3 \left(\frac{t}{t_0}\right)^{5/2} \left\{ \sqrt{\frac{\pi}{2\Gamma t}} e^{-\frac{z^2}{8\Gamma t}} \right\} \left\{ \sqrt{\frac{\pi}{2\Gamma t}} e^{-\frac{y^2}{8\Gamma t}} \right\} \left\{ \int_{-\infty}^{\infty} e^{iy \cdot \frac{1}{2} \gamma t k_x \cos\theta} e^{ik_x x} e^{-\frac{\Gamma}{6} (\gamma \cos\theta)^2 t^3 k_x^2} dk_x \right\}$$

$$\int_{-\infty}^{\infty} e^{iy \cdot \frac{1}{2} \gamma t k_x \cos\theta} e^{ik_x x} e^{-\frac{\Gamma}{6} (\gamma \cos\theta)^2 t^3 k_x^2} dk_x$$

$$= \int_{-\infty}^{\infty} \exp\left\{-\frac{\Gamma}{6} (\gamma \cos\theta)^2 t^3 \left(k_x - \frac{3yi}{2\Gamma \gamma \cos\theta t^2}\right)^2 + \left(\frac{3y}{2\Gamma \gamma \cos\theta t^2}\right)^2\right\} e^{ik_x x} dk_x$$

$$= \sqrt{\frac{6\pi}{\Gamma (\gamma \cos\theta)^2 t^3}} \exp\left\{-\frac{3}{8\Gamma t} \left(\frac{2x}{\gamma t \cos\theta} + y\right)^2\right\}$$

$$\begin{aligned}
C(\vec{r}, t) &= \frac{1}{V_3(2\pi)^3} \Delta V_3 \left(\frac{t}{t_0}\right)^{5/2} \left\{ \sqrt{\frac{\pi}{2\Gamma t}} e^{-\frac{z^2}{8\Gamma t}} \right\} \left\{ \sqrt{\frac{\pi}{2\Gamma t}} e^{-\frac{y^2}{8\Gamma t}} \right\} \left\{ \sqrt{\frac{6\pi}{\Gamma(\gamma \cos\theta)^2 t^3}} e^{-\frac{3}{8\Gamma t} \left(\frac{2x}{\gamma \cos\theta} + y\right)^2} \right\} \\
C(\vec{r}, t) &= \left(\frac{t}{t_0}\right)^{5/2} \left\{ \sqrt{\frac{3}{128(\pi\Gamma)^3 t^5}} \left(\frac{\Delta}{\gamma \cos\theta}\right)^2 \right\} \exp\left\{-\frac{1}{8\Gamma t} \left(3\left(\frac{2x}{\gamma \cos\theta} + y\right)^2 + y^2 + z^2\right)\right\} \\
C(\vec{r}, t) &= -\frac{r_0}{u_0} \left(\frac{t}{t_0}\right)^{5/2} \left(\frac{t_0}{t}\right)^{5/2} \exp\left\{-\frac{1}{8\Gamma t} \left(3\left(\frac{2x}{\gamma \cos\theta} + y\right)^2 + y^2 + z^2\right)\right\} \\
C(\vec{r}, t) &= -\frac{r_0}{u_0} \exp\left(-\frac{1}{8\Gamma t} \left(3\left(\frac{2x}{\gamma \cos\theta} + y\right)^2 + y^2 + z^2\right)\right)
\end{aligned}$$

ในกรณี (b)

$$\begin{aligned}
\text{พิสูจน์ว่า } \langle \phi^2(\vec{r}, t) \rangle &= \frac{\Delta e^{2\Gamma b(t)}}{(2\pi)^3} \sqrt{\frac{\pi^3}{\left(\frac{1}{2}\left(\frac{\gamma}{\omega}\right)^2 + 1\right) 8\Gamma^3 t^3}} \\
\int e^{-2\Gamma F(\vec{k}, t)} d^3k &= \iiint \exp\left(-2\Gamma\left\{\left(\frac{1}{2}\left(\frac{\gamma}{\omega}\right)^2 + 1\right)k_x^2 + \left(k_y + \frac{\gamma}{\omega}k_x \sin(\omega t + \theta)\right)^2 + k_z^2\right\}t\right) dk_x dk_y dk_z \\
\int e^{-2\Gamma F(\vec{k}, t)} d^3k &= \left\{ \sqrt{\frac{\pi}{2\left(\frac{1}{2}\left(\frac{\gamma}{\omega}\right)^2 + 1\right)\Gamma t}} \right\} \left\{ \sqrt{\frac{\pi}{2\Gamma t}} \right\} \left\{ \sqrt{\frac{\pi}{2\Gamma t}} \right\} = \sqrt{\frac{\pi^3}{\left(\frac{1}{2}\left(\frac{\gamma}{\omega}\right)^2 + 1\right) 8\Gamma^3 t^3}} \\
\langle \phi^2(\vec{r}, t) \rangle &= \frac{\Delta e^{2\Gamma b(t)}}{(2\pi)^3} \int e^{-2\Gamma F(\vec{k}, t)} d^3k = \frac{\Delta e^{2\Gamma b(t)}}{(2\pi)^3} \sqrt{\frac{\pi^3}{\left(\frac{1}{2}\left(\frac{\gamma}{\omega}\right)^2 + 1\right) 8\Gamma^3 t^3}}
\end{aligned}$$

$$\text{พิสูจน์ว่า } b(t) = \frac{3}{4\Gamma} \ln\left(\frac{t}{t_0}\right)$$

$$\text{จากเงื่อนไข } t \rightarrow \infty \text{ สมการที่ (24) จะเท่ากับสมการที่ (29) } -\frac{r_0}{u_0} = \frac{\Delta e^{2\Gamma b(t)}}{(2\pi)^3} \sqrt{\frac{\pi^3}{\left(\frac{1}{2}\left(\frac{\gamma}{\omega}\right)^2 + 1\right) 8\Gamma^3 t^3}}$$

$$e^{2\Gamma b(t)} = \frac{|r_0|(2\pi)^3}{u_0 \Delta} \sqrt{\frac{\left(\frac{1}{2}\left(\frac{\gamma}{\omega}\right)^2 + 1\right) 8\Gamma^3 t^3}{\pi^3}} = \sqrt{\left(\frac{r_0}{u_0 \Delta}\right)^2 \frac{\left(\frac{1}{2}\left(\frac{\gamma}{\omega}\right)^2 + 1\right) 8\Gamma^3 t^3}{\pi^3}}$$

$$\text{ให้ } t_0 = \sqrt[3]{\frac{(\Delta u_0)^2}{512 r_0^2 (\pi\Gamma)^3 \left(\frac{1}{2}\left(\frac{\gamma}{\omega}\right)^2 + 1\right)}} \text{ จะได้ว่า } e^{2\Gamma b(t)} = \left(\frac{t}{t_0}\right)^{3/2} \text{ ดังนั้น } b(t) = \frac{3}{4\Gamma} \ln\left(\frac{t}{t_0}\right)$$

พิสูจน์ว่า

$$S(\vec{k}, t) = \Delta V_3 \left(\frac{t}{t_0}\right)^{\frac{3}{2}} \exp\left(-2\Gamma\left\{\left(\frac{1}{2}\left(\frac{\gamma}{\omega}\right)^2 + 1\right)\left(t^{\frac{1}{2}}k_x\right)^2 + \left(t^{\frac{1}{2}}k_y + \frac{\gamma}{\omega}\sin(\omega t + \theta)t^{\frac{1}{2}}k_x\right)^2 + \left(t^{\frac{1}{2}}k_z\right)^2\right\}\right)$$

$$S(\vec{k}, t) = \Delta V_3 e^{-2\Gamma(F(\vec{k}, t) - b(t))}$$

$$S(\vec{k}, t) = \Delta V_3 \exp\left(-2\Gamma\left\{\left(\frac{1}{2}\left(\frac{\gamma}{\omega}\right)^2 + 1\right)k_x^2 + \left(k_y + \frac{\gamma}{\omega}k_x \sin(\omega t + \theta)\right)^2 + k_z^2\right\}t + \frac{3}{2}\ln\left(\frac{t}{t_0}\right)\right)$$

$$S(\vec{k}, t) = \Delta V_3 \left(\frac{t}{t_0}\right)^{\frac{3}{2}} \exp\left(-2\Gamma\left\{\left(\frac{1}{2}\left(\frac{\gamma}{\omega}\right)^2 + 1\right)\left(t^{\frac{1}{2}}k_x\right)^2 + \left(t^{\frac{1}{2}}k_y + \frac{\gamma}{\omega}\sin(\omega t + \theta)t^{\frac{1}{2}}k_x\right)^2 + \left(t^{\frac{1}{2}}k_z\right)^2\right\}\right)$$

พิสูจน์ว่า $C(\vec{r}, t) = -\frac{r_0}{u_0} \exp\left(-\frac{1}{8\Gamma t}\left(\beta\left(x - \frac{\gamma}{\omega}y \sin(\omega t + \theta)\right)^2 + y^2 + z^2\right)\right)$

$$C(\vec{r}, t) = \frac{1}{V_3(2\pi)^3} \int e^{i\vec{k}\cdot\vec{r}} S(\vec{k}, t) d^3k$$

$$C(\vec{r}, t) = \frac{1}{V_3(2\pi)^3} \iiint e^{i\vec{k}\cdot\vec{r}} \Delta V_3 \left(\frac{t}{t_0}\right)^{\frac{3}{2}} \exp\left(-2\Gamma\left\{\left(\frac{1}{2}\left(\frac{\gamma}{\omega}\right)^2 + 1\right)\left(t^{\frac{1}{2}}k_x\right)^2 + \left(t^{\frac{1}{2}}k_y + \frac{\gamma}{\omega}\sin(\omega t + \theta)t^{\frac{1}{2}}k_x\right)^2 + \left(t^{\frac{1}{2}}k_z\right)^2\right\}\right) dk_x dk_y dk_z$$

จากสมการที่ (32)

$$C(\vec{r}, t) = \frac{\Delta}{(2\pi)^3} \left(\frac{t}{t_0}\right)^{\frac{3}{2}} \left\{ \sqrt{\frac{\pi}{2\Gamma t}} e^{-\frac{z^2}{8\Gamma t}} \left\{ \sqrt{\frac{\pi}{2\Gamma t}} e^{-\frac{y^2}{8\Gamma t}} \left\{ \int_{-\infty}^{\infty} e^{-i\gamma y k_x \sin(\omega t + \theta)} e^{ik_x x} \exp\left(-2\Gamma t \left(\frac{1}{2}\left(\frac{\gamma}{\omega}\right)^2 + 1\right)k_x^2\right) dk_x \right\} \right. \right.$$

$$\left. \int_{-\infty}^{\infty} e^{-i\gamma y k_x \sin(\omega t + \theta)} e^{ik_x x} \exp\left(-2\Gamma t \left(\frac{1}{2}\left(\frac{\gamma}{\omega}\right)^2 + 1\right)k_x^2\right) dk_x \right. \\ = \int_{-\infty}^{\infty} \exp\left(-2\Gamma t \left(\frac{1}{2}\left(\frac{\gamma}{\omega}\right)^2 + 1\right) \left[k_x + \frac{i\gamma y \sin(\omega t + \theta)}{4\omega\Gamma t \left(\frac{1}{2}\left(\frac{\gamma}{\omega}\right)^2 + 1\right)}\right]^2 + \left(\frac{\gamma y \sin(\omega t + \theta)}{4\omega\Gamma t \left(\frac{1}{2}\left(\frac{\gamma}{\omega}\right)^2 + 1\right)}\right)^2\right) dk_x$$

$$= \sqrt{\frac{\pi}{2\Gamma t \left(\frac{1}{2}\left(\frac{\gamma}{\omega}\right)^2 + 1\right)}} \exp\left\{-\frac{1}{8\Gamma t \left(1 + \frac{1}{2}\left(\frac{\gamma}{\omega}\right)^2\right)} \left(x - \frac{\gamma}{\omega}y \sin(\omega t + \theta)\right)^2\right\}$$

กำหนดให้ $\beta = \frac{1}{\left(1 + \frac{1}{2}\left(\frac{\gamma}{\omega}\right)^2\right)}$

$$C(\vec{r}, t) = \frac{\Delta}{(2\pi)^3} \left(\frac{t}{t_0}\right)^{\frac{3}{2}} \left\{ \sqrt{\frac{\pi}{2\Gamma t}} e^{-\frac{z^2}{8\Gamma t}} \left\{ \sqrt{\frac{\pi}{2\Gamma t}} e^{-\frac{y^2}{8\Gamma t}} \left\{ \sqrt{\frac{\pi}{2\Gamma t \left(\frac{1}{2}\left(\frac{\gamma}{\omega}\right)^2 + 1\right)}} e^{-\frac{\beta}{8\Gamma t} \left(x - \frac{\gamma}{\omega}y \sin(\omega t + \theta)\right)^2} \right\} \right. \right.$$

$$C(\vec{r}, t) = \frac{\Delta}{(2\pi)^3} \left(\frac{t}{t_0}\right)^{\frac{3}{2}} \sqrt{\left(\frac{\pi}{2\Gamma t}\right)^3 \frac{1}{\left(\frac{1}{2}\left(\frac{\gamma}{\omega}\right)^2 + 1\right)} \exp\left(-\frac{1}{8\Gamma t} \left(\beta \left(x - \frac{\gamma}{\omega} y \sin(\omega t + \theta)\right)^2 + y^2 + z^2\right)\right)}$$

$$C(\vec{r}, t) = -\frac{r_0}{u_0} \left(\frac{t}{t_0}\right)^{3/2} \left(\frac{t_0}{t}\right)^{3/2} \exp\left(-\frac{1}{8\Gamma t} \left(\beta \left(x - \frac{\gamma}{\omega} y \sin(\omega t + \theta)\right)^2 + y^2 + z^2\right)\right)$$

$$C(\vec{r}, t) = -\frac{r_0}{u_0} \exp\left(-\frac{1}{8\Gamma t} \left(\beta \left(x - \frac{\gamma}{\omega} y \sin(\omega t + \theta)\right)^2 + y^2 + z^2\right)\right)$$



บทที่ 4

พิสูจน์ว่า

$$\langle \phi^2(\vec{r}, t) \rangle = \frac{\Delta}{(2\pi)^3} e^{2\Gamma b(t)} \int e^{-2\Gamma F(\vec{k}, t)} d^3k + \frac{D}{(2\pi)^3} \int_0^t e^{2\Gamma(b(t)-b(t'))} \int e^{-2\Gamma(F(\vec{k}, t)-F(\vec{k}, t'))} d^3k dt'$$

จากสมการที่ (41)

$$\varphi(\vec{q}, \tau) = \varphi(\vec{q}, 0) \exp(-\Gamma(F(\vec{q}, \tau) - b(\tau))) + \int_0^\tau \exp\{\Gamma[(F(\vec{q}, \tau') - F(\vec{q}, \tau)) - (b(\tau') - b(\tau))]\} \xi(\vec{q}, \tau') dt'$$

แปลงตัวแปรกลับตามสมการที่ (14)

$$\tilde{\phi}(\vec{k}, t) = \tilde{\phi}(\vec{k}, 0) \exp(-\Gamma(F(\vec{k}, t) - b(t))) + \int_0^t \exp\{\Gamma[(F(\vec{k}, t') - F(\vec{k}, t)) - (b(t') - b(t))]\} \tilde{\zeta}(\vec{k}, t') dt'$$

จากสมบัติ $F(\vec{k}, t) = F(-\vec{k}, t)$

$$\tilde{\phi}(-\vec{k}, t) = \tilde{\phi}(-\vec{k}, 0) \exp(-\Gamma(F(\vec{k}, t) - b(t))) + \int_0^t \exp\{\Gamma[(F(\vec{k}, t') - F(\vec{k}, t)) - (b(t') - b(t))]\} \tilde{\zeta}(-\vec{k}, t') dt'$$

และจาก $\langle \phi^2(\vec{r}, t) \rangle = \frac{1}{V_3(2\pi)^3} \langle \int \phi(\vec{k}, t) \phi(-\vec{k}, t) d^3k \rangle_0 = \frac{1}{V_3(2\pi)^3} \int \langle \phi(\vec{k}, t) \phi(-\vec{k}, t) \rangle_0 d^3k$

$$\langle \phi^2(\vec{r}, t) \rangle = \frac{1}{V_3(2\pi)^3} \int \left\{ \langle \tilde{\phi}(-\vec{k}, 0) \tilde{\phi}(\vec{k}, 0) \rangle_0 \exp(-2\Gamma(F(\vec{k}, t) - b(t))) + \int_0^t \exp\{\Gamma[(F(\vec{k}, t') - 2F(\vec{k}, t)) - (b(t') - 2b(t))]\} \langle \tilde{\phi}(-\vec{k}, 0) \tilde{\zeta}(\vec{r}, t') \rangle_0 dt' + \int_0^t \exp\{\Gamma[(F(\vec{k}, t') - 2F(\vec{k}, t)) - (b(t') - 2b(t))]\} \langle \tilde{\phi}(\vec{k}, 0) \tilde{\zeta}(-\vec{k}, t') \rangle_0 dt' + \int_0^t \int_0^t \exp\{\Gamma[(F(\vec{k}, t') + F(\vec{k}, t'') - 2F(\vec{k}, t)) - (b(t') + b(t'') - 2b(t))]\} \langle \tilde{\zeta}(\vec{k}, t') \tilde{\zeta}(-\vec{k}, t'') \rangle_0 dt' dt'' \right\} d^3k$$

จาก $\langle \tilde{\zeta}(\vec{k}, t') \tilde{\zeta}(-\vec{k}, t'') \rangle_0 = V_3 D \delta(t' - t'')$

$$\langle \tilde{\phi}(\vec{k}, 0) \tilde{\zeta}(-\vec{k}, t') \rangle_0 = \langle \tilde{\phi}(\vec{k}, 0) \rangle_0 \langle \tilde{\zeta}(-\vec{k}, t') \rangle_0 = 0$$

$$\langle \tilde{\phi}(-\vec{k}, 0) \tilde{\zeta}(\vec{r}, t') \rangle_0 = \langle \tilde{\phi}(-\vec{k}, 0) \rangle_0 \langle \tilde{\zeta}(\vec{r}, t') \rangle_0 = 0$$

$$\langle \tilde{\phi}(-\vec{k}, 0) \tilde{\phi}(\vec{k}, 0) \rangle_0 = \Delta V_3$$

ดังนั้น

$$\langle \phi^2(\vec{r}, t) \rangle = \frac{\Delta}{(2\pi)^3} e^{2\Gamma b(t)} \int e^{-2\Gamma F(\vec{k}, t)} d^3k + \frac{D}{(2\pi)^3} \int_0^t e^{2\Gamma(b(t)-b(t'))} \int e^{-2\Gamma(F(\vec{k}, t)-F(\vec{k}, t'))} d^3k dt'$$

พิสูจน์ว่า $S(\vec{k}, t) = \Delta V_3 e^{-2\Gamma(F(\vec{k}, t) - b(t))} + DV_3 \int_0^t e^{2\Gamma((F(\vec{k}, t') - F(\vec{k}, t)) - (b(t') - b(t)))} dt'$

$$\text{จาก } \langle \phi^2(\vec{r}, t) \rangle = \frac{\Delta}{(2\pi)^3} e^{2\Gamma b(t)} \int e^{-2\Gamma F(\vec{k}, t)} d^3 k$$

$$+ \frac{D}{(2\pi)^3} \int_0^t e^{2\Gamma(b(t) - b(t'))} \int e^{-2\Gamma(F(\vec{k}, t) - F(\vec{k}, t'))} d^3 k dt'$$

$$\langle \phi^2(\vec{r}, t) \rangle = \frac{1}{V_3(2\pi)^3} \int \{ \Delta V_3 e^{-2\Gamma(F(\vec{k}, t) - b(t))} + DV_3 \int_0^t e^{2\Gamma((F(\vec{k}, t') - F(\vec{k}, t)) - (b(t') - b(t)))} dt' \} d^3 k$$

$$\text{และ } \langle \phi^2(\vec{r}, t) \rangle = \frac{1}{V_3(2\pi)^3} \int S(\vec{k}, t) d^3 k \text{ ดังนั้น}$$

$$S(\vec{k}, t) = \Delta V_3 e^{-2\Gamma(F(\vec{k}, t) - b(t))} + DV_3 \int_0^t e^{2\Gamma((F(\vec{k}, t') - F(\vec{k}, t)) - (b(t') - b(t)))} dt'$$

พิสูจน์ว่า $\frac{d\eta(t)}{dt} = 2\Gamma \left(r_0 \eta(t) + \frac{\Delta u_0 A g(t)}{(2\pi)^3} + \frac{D u_0 A}{(2\pi)^3} \int_0^t \eta(t') g(t - t') dt' \right)$

$$\eta(t) \equiv e^{-2\Gamma b(t)} \text{ หรือ } b(t) = -\frac{1}{2\Gamma} \ln \eta(t)$$

และจากสมการที่ (11) $a(t) \equiv -(r_0 + u_0 \langle \phi^2(\vec{r}, t) \rangle)$ และ $a(t) = \frac{db(t)}{dt}$ ดังนั้น

$$\frac{db(t)}{dt} = -(r_0 + u_0 \langle \phi^2(\vec{r}, t) \rangle)$$

$$\frac{d}{dt} \left(-\frac{1}{2\Gamma} \ln \eta(t) \right)$$

$$= - \left(r_0 + u_0 \left\{ \frac{\Delta}{(2\pi)^3} e^{2\Gamma b(t)} \int e^{-2\Gamma F(\vec{k}, t)} d^3 k \right. \right.$$

$$\left. \left. + \frac{D}{(2\pi)^3} \int_0^t e^{2\Gamma(b(t) - b(t'))} \int e^{-2\Gamma(F(\vec{k}, t) - F(\vec{k}, t'))} d^3 k dt' \right\} \right)$$

$$\frac{1}{\eta(t)} \frac{d\eta(t)}{dt} = 2\Gamma \left(r_0 + u_0 \left\{ \frac{\Delta}{\eta(t)(2\pi)^3} \int e^{-2\Gamma F(\vec{k}, t)} d^3 k \right. \right.$$

$$\left. \left. + \frac{D}{\eta(t)(2\pi)^3} \int_0^t \eta(t') \int e^{-2\Gamma(F(\vec{k}, t) - F(\vec{k}, t'))} d^3 k dt' \right\} \right)$$

ถ้ากำหนดให้ $\int e^{-2\Gamma F(\vec{k}, t)} d^3 k \equiv Ag(t)$ จะสามารถพิสูจน์ภายหลังได้ว่า

$\int e^{-2\Gamma(F(\vec{k}, t) - F(\vec{k}, t'))} d^3 k$ สามารถเขียนให้อยู่ในรูปของ $Ag(t - t')$ ได้ เมื่อ A เป็นค่าคงที่

$$\text{ดังนั้น } \frac{d\eta(t)}{dt} = 2\Gamma \left(r_0 \eta(t) + \frac{\Delta u_0 A g(t)}{(2\pi)^3} + \frac{D u_0 A}{(2\pi)^3} \int_0^t \eta(t') g(t - t') dt' \right)$$

กรณี (a)

$$\text{พิสูจน์ว่า } A = \sqrt{\frac{3\pi^3}{2\Gamma^3(\gamma \cos \theta)^2}} \text{ และ } g(t - t') = (t - t')^{-\frac{5}{2}}$$

$$\text{จากสมการที่ (25) และ (27) ในลิมิต } t \rightarrow \infty \text{ จะได้ว่า } \int e^{-2\Gamma F(\vec{k}, t)} d^3k = \sqrt{\frac{3\pi^3}{2\Gamma^3(\gamma \cos \theta)^2}} t^{-\frac{5}{2}}$$

$$\text{ดังนั้น } A = \sqrt{\frac{3\pi^3}{2\Gamma^3(\gamma \cos \theta)^2}} \text{ และ } g(t) = t^{-\frac{5}{2}}$$

$$\begin{aligned} F(\vec{k}, t) - F(\vec{k}, t') &= \left\{ \left(\frac{1}{12} (\gamma t k_x \cos \theta)^2 \right) + \left(k_y - \frac{1}{2} k_x \gamma t \cos \theta \right)^2 + k_z^2 \right\} t \\ &\quad - \left\{ \left(\frac{1}{12} (\gamma t' k_x \cos \theta)^2 \right) + \left(k_y - \frac{1}{2} k_x \gamma t' \cos \theta \right)^2 + k_z^2 \right\} t' \end{aligned}$$

$$\begin{aligned} F(\vec{k}, t) - F(\vec{k}, t') &= \frac{1}{12} (t^3 - t'^3) (\gamma \cos \theta k_x)^2 + (t - t') k_z^2 + k_y^2 - k_y k_x \gamma t \cos \theta \\ &\quad + \frac{1}{4} (k_x \gamma t \cos \theta)^2 t + \{ k_y^2 - k_y k_x \gamma t' \cos \theta + \frac{1}{4} (k_x \gamma t' \cos \theta)^2 \} t' \end{aligned}$$

$$\begin{aligned} F(\vec{k}, t) - F(\vec{k}, t') &= \frac{1}{12} (t^3 - t'^3) (\gamma \cos \theta k_x)^2 + (t - t') k_z^2 + (t - t') k_y^2 - k_y k_x \gamma (t^2 \\ &\quad - t'^2) \cos \theta + \frac{1}{4} (t^3 - t'^3) (k_x \gamma \cos \theta)^2 \end{aligned}$$

$$\text{จาก } a^3 - b^3 = (a - b)(a^2 + ab + b^2)$$

$$\begin{aligned} F(\vec{k}, t) - F(\vec{k}, t') &= \frac{1}{12} (t - t') (t^2 + tt' + t'^2) (\gamma \cos \theta k_x)^2 + (t - t') k_z^2 + (t - t') k_y^2 \\ &\quad - k_y k_x \gamma (t - t') (t + t') \cos \theta + \frac{1}{4} (t - t') (t^2 + tt' + t'^2) (k_x \gamma \cos \theta)^2 \end{aligned}$$

$$\begin{aligned} F(\vec{k}, t) - F(\vec{k}, t') &= \left\{ \frac{1}{12} (t^2 + tt' + t'^2) (\gamma \cos \theta k_x)^2 + k_z^2 + k_y^2 - k_y k_x \gamma (t + t') \cos \theta \right. \\ &\quad \left. + \frac{1}{4} (t^2 + tt' + t'^2) (k_x \gamma \cos \theta)^2 \right\} (t - t') \end{aligned}$$

$$\begin{aligned} F(\vec{k}, t) - F(\vec{k}, t') &= \left\{ \frac{1}{3} (t^2 + tt' + t'^2) (\gamma \cos \theta k_x)^2 + \left(k_y - \frac{1}{2} k_x \gamma (t + t') \cos \theta \right)^2 \right. \\ &\quad \left. - \frac{1}{4} (t^2 + 2tt' + t'^2) (k_x \gamma \cos \theta)^2 + k_z^2 \right\} (t - t') \end{aligned}$$

$$\begin{aligned} F(\vec{k}, t) - F(\vec{k}, t') &= \left\{ \frac{1}{12} (t^2 - 2tt' + t'^2) (\gamma \cos \theta k_x)^2 + \left(k_y - \frac{1}{2} k_x \gamma (t + t') \cos \theta \right)^2 \right. \\ &\quad \left. + k_z^2 \right\} (t - t') \end{aligned}$$

$$F(\vec{k}, t) - F(\vec{k}, t') = \frac{1}{12}(t-t')^3(\gamma \cos \theta k_x)^2 + (t-t') \left(k_y - \frac{1}{2} k_x \gamma (t+t') \cos \theta \right)^2 + (t-t') k_z^2$$

$$\int e^{-2\Gamma(F(\vec{k}, t) - F(\vec{k}, t'))} d^3k = \int e^{-2\Gamma \left(\frac{1}{12}(t-t')^3(\gamma \cos \theta k_x)^2 + (t-t') \left(k_y - \frac{1}{2} k_x \gamma (t+t') \cos \theta \right)^2 + (t-t') k_z^2 \right)} d^3k$$

เปรียบเทียบกับ $\int e^{-2\Gamma F(\vec{k}, t)} d^3k = \int \exp(-2\Gamma \left\{ \left(\frac{1}{12}(\gamma t \cos \theta)^2 \right) k_x^2 + \left(k_y - \frac{1}{2} k_x \gamma t \cos \theta \right)^2 + k_z^2 \right\} t) d^3k = \sqrt{\frac{\pi}{\left(\frac{1}{12}(\gamma t \cos \theta)^2 \right) 2\Gamma t}} \sqrt{\frac{\pi}{2\Gamma t}} \sqrt{\frac{\pi}{2\Gamma t}}$ ดังนั้น

$$\int e^{-2\Gamma(F(\vec{k}, t) - F(\vec{k}, t'))} d^3k = \sqrt{\frac{\pi}{\left(\frac{1}{12}(\gamma(t-t') \cos \theta)^2 \right) 2\Gamma(t-t')}} \sqrt{\frac{\pi}{2\Gamma(t-t')}} \sqrt{\frac{\pi}{2\Gamma(t-t')}}$$

$$\int e^{-2\Gamma(F(\vec{k}, t) - F(\vec{k}, t'))} d^3k = \sqrt{\frac{3\pi^3}{2\Gamma^3(\gamma \cos \theta)^2}} (t-t')^{-\frac{5}{2}} \text{ และ } g(t-t') = (t-t')^{-\frac{5}{2}}$$

พิสูจน์ว่า $\eta(t) = \left(\frac{t}{t_0} \right)^{-\frac{5}{2}}$ เมื่อ $t_0^{\frac{5}{2}} = \frac{3}{4\sqrt{\pi}} \left(\frac{c_1 c_3' - c_1' c_3}{c_1'^2} \right)$

จาก $\frac{d\eta(t)}{dt} = 2\Gamma \left(r_0 \eta(t) + \frac{\Delta u_0 A g(t)}{(2\pi)^3} + \frac{D u_0 A}{(2\pi)^3} \int_0^t \eta(t') g(t-t') dt' \right)$

เมื่อดำเนินการแปลงลาปลาซสมการนี้จะได้ว่า

$$-1 + s\bar{\eta}(s) = 2\Gamma(r_0 \bar{\eta}(s) + \frac{\Delta u_0 A \bar{g}(s)}{(2\pi)^3} + \frac{D u_0 A}{(2\pi)^3} \bar{\eta}(s) \bar{g}(s))$$

โดยที่ $\bar{\eta}(s) = \int_0^\infty \eta(t) e^{-st} dt$ $\bar{g}(s) = \int_0^\infty g(t) e^{-st} dt$ และ

$$\int_0^\infty \left\{ \int_0^t \eta(t') g(t-t') dt' \right\} e^{-st} dt = \int_0^\infty \eta * g(t) e^{-st} dt = \bar{\eta}(s) \bar{g}(s)$$

$$\bar{\eta}(s) = \frac{1 + \frac{2\Gamma \Delta u_0 A \bar{g}(s)}{(2\pi)^3}}{s - \frac{2\Gamma D u_0 A}{(2\pi)^3} \bar{g}(s) - 2\Gamma r_0}$$

จาก สูตรผกผันของ Mellin $\eta(t) = \frac{1}{2\pi i} \int_{\lambda-i\infty}^{\lambda+i\infty} \bar{\eta}(s) e^{st} ds$

ที่เวลานานมากการแปลงลาปลาซของ $g(t)$ จะเป็นไปตามสมการ

$$\bar{g}(s) = \int_0^\infty g(t) e^{-st} dt = \int_0^\infty \bar{g}(t + \alpha^2) e^{-st} dt \text{ โดย } \alpha \text{ คือจำนวนจริงใดที่ } \alpha^2 \ll 1$$

$$\bar{g}(s) = \int_0^\infty \bar{g}(t + \alpha^2) e^{-st} dt = \int_0^\infty (t + \alpha^2)^{-\frac{5}{2}} e^{-st} dt = s^{3/2} e^{\alpha^2 s} \int_{\alpha^2 s}^\infty t^{-\frac{5}{2}} e^{-t} dt$$

$$\bar{g}(s) = \frac{-2}{3} s^{3/2} e^{\alpha^2 s} \left\{ t^{-\frac{3}{2}} e^{-t} \Big|_{\alpha^2 s}^{\infty} + \int_{\alpha^2 s}^{\infty} t^{-\frac{3}{2}} e^{-t} dt \right\}$$

$$\bar{g}(s) = \frac{-2}{3} s^{3/2} e^{\alpha^2 s} \left\{ t^{-\frac{3}{2}} e^{-t} \Big|_{\alpha^2 s}^{\infty} - 2 \left(t^{-\frac{1}{2}} e^{-t} \Big|_{\alpha^2 s}^{\infty} + \int_{\alpha^2 s}^{\infty} t^{-\frac{1}{2}} e^{-t} dt \right) \right\}$$

เนื่องจาก $\alpha^2 \ll 1$ ดังนั้น $\alpha^2 s \rightarrow 0$ และ $e^{\pm \alpha^2 s} \approx 1$ ทำให้

$$\bar{g}(s) = \frac{-2}{3} s^{3/2} \left\{ -(\alpha^2 s)^{-\frac{3}{2}} - 2 \left(-(\alpha^2 s)^{-\frac{1}{2}} + \int_0^{\infty} t^{-\frac{1}{2}} e^{-t} dt \right) \right\}$$

$$\bar{g}(s) = \frac{-2}{3} s^{3/2} \left\{ -(\alpha^2 s)^{-\frac{3}{2}} - 2 \left(-(\alpha^2 s)^{-\frac{1}{2}} + \Gamma\left(\frac{1}{2}\right) \right) \right\}$$

$$\bar{g}(s) = \frac{4}{3} \left\{ \frac{1}{2\alpha^3} - \frac{s}{\alpha} + \sqrt{\pi} s^{3/2} \right\}$$

จาก

$$\bar{\eta}(s) = \frac{1 + \frac{2\Gamma\Delta u_0 A \bar{g}(s)}{(2\pi)^3}}{s - \frac{2\Gamma D u_0 A}{(2\pi)^3} \bar{g}(s) - 2\Gamma r_0}$$

กำหนดให้

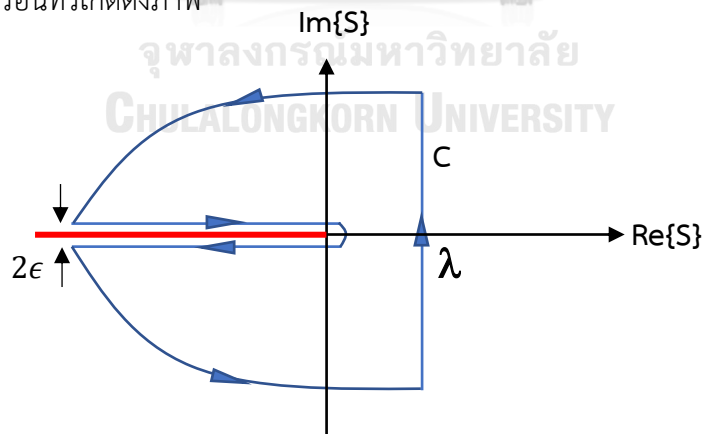
$$Z = \frac{2\Gamma A u_0}{(2\pi)^3}$$

$$c_1 = 1 + \frac{4}{3} \left(\frac{1}{2\alpha^3} \right) \Delta Z, \quad c_2 = -\frac{4}{3\alpha} \Delta Z, \quad c_3 = \frac{4}{3} \sqrt{\pi} \Delta Z$$

$$c'_1 = -\frac{4}{3} \left(\frac{1}{2\alpha^3} \right) DZ - 2\Gamma r_0, \quad c'_2 = 1 + \frac{4}{3\alpha} DZ \quad \text{และ} \quad c'_3 = -\frac{4}{3} \sqrt{\pi} \Delta Z$$

$\bar{\eta}(s) = \frac{c_1 + c_2 s + c_3 s^{3/2}}{c'_1 + c'_2 s + c'_3 s^{3/2}}$ เนื่องจากพจน์ $s^{3/2}$ ทำให้เกิดแบริชคัต (Branch cut) ซึ่งเป็นสิ่งที่กำหนด

เส้นทางในการอินทิเกรตดังภาพ



$$\oint_C \bar{\eta}(s)e^{st} ds = 0$$

$$\begin{aligned} - \int_{\lambda-i\infty}^{\lambda+i\infty} \bar{\eta}(s)e^{st} ds &= \lim_{\epsilon \rightarrow 0} \left\{ \int_{-\infty+i\epsilon}^{0+i\epsilon} \bar{\eta}(s)e^{st} ds + \int_{0-i\epsilon}^{-\infty-i\epsilon} \bar{\eta}(s)e^{st} ds \right\} \\ - \int_{\lambda-i\infty}^{\lambda+i\infty} \bar{\eta}(s)e^{st} ds &= \int_0^{\infty} \frac{c_1 - c_2x + ic_3x^{3/2}}{c_1' - c_2'x + ic_3'x^{3/2}} e^{-xt} dx - \int_0^{\infty} \frac{c_1 - c_2x - ic_3x^{3/2}}{c_1' - c_2'x - ic_3'x^{3/2}} e^{-xt} dx \\ - \int_{\lambda-i\infty}^{\lambda+i\infty} \bar{\eta}(s)e^{st} ds &= 2i \int_0^{\infty} \frac{(c_1 - c_2x)(-c_3') - (-c_3)(c_1' - c_2'x)}{(c_1' - c_2'x)^2 + c_3'^2 x^3} x^{3/2} e^{-xt} dx \end{aligned}$$

จากเงื่อนไข $\lim t \rightarrow \infty$ ดังนั้นเฉพาะค่า $x \ll 0$ เท่านั้นที่มีผลต่อการอินทิเกรต

$$\int_{\lambda-i\infty}^{\lambda+i\infty} \bar{\eta}(s)e^{st} ds = 2i \left[\frac{c_1c_3' - c_1'c_3}{c_1'^2} \right] \int_0^{\infty} x^{3/2} e^{-xt} dx = 2i \left[\frac{c_1c_3' - c_1'c_3}{c_1'^2} \right] \left(\frac{3\sqrt{\pi}}{4} t^{-5/2} \right)$$

$$\eta(t) = \frac{1}{2\pi i} \int_{\lambda-i\infty}^{\lambda+i\infty} \bar{\eta}(s)e^{st} ds = \frac{1}{2\pi i} 2i \left[\frac{c_1c_3' - c_1'c_3}{c_1'^2} \right] \left(\frac{3\sqrt{\pi}}{4} t^{-5/2} \right) = \left(\frac{t}{t_0} \right)^{-5/2}$$

$$\text{เมื่อ } t_0^{\frac{5}{2}} = \frac{3}{4\sqrt{\pi}} \left(\frac{c_1c_3' - c_1'c_3}{c_1'^2} \right)$$

$$\text{พิสูจน์ว่า } S(\vec{k}, t) = \left(\Delta + D \left(\frac{c_1}{c_1'} \right) \right) V_3 \left(\frac{t}{t_0} \right)^{\frac{5}{2}} e^{-2\Gamma F(\vec{k}, t)}$$

$$\text{จาก } S(\vec{k}, t) = \Delta V_3 e^{-2\Gamma(F(\vec{k}, t) - b(t))} + DV_3 \int_0^t e^{2\Gamma((F(\vec{k}, t') - F(\vec{k}, t)) - (b(t') - b(t)))} dt'$$

$$S(\vec{k}, t) = \frac{\Delta V_3}{\eta(t)} e^{-2\Gamma F(\vec{k}, t)} + DV_3 \int_0^t \frac{\eta(t')}{\eta(t)} e^{2\Gamma(F(\vec{k}, t') - F(\vec{k}, t))} dt'$$

จากเงื่อนไข $\lim t \rightarrow \infty$ ดังนั้นเฉพาะค่า $t' \ll 0$ เท่านั้นที่มีผลต่อการอินทิเกรต

$$S(\vec{k}, t) = \frac{\Delta V_3}{\eta(t)} e^{-2\Gamma F(\vec{k}, t)} + \frac{DV_3 e^{-2\Gamma F(\vec{k}, t)}}{\eta(t)} \int_0^{\infty} \eta(t') dt'$$

$$S(\vec{k}, t) = (\Delta + D\bar{\eta}(0)) \frac{V_3}{\eta(t)} e^{-2\Gamma F(\vec{k}, t)}$$

$$S(\vec{k}, t) = \left(\Delta + D \left(\frac{c_1}{c_1'} \right) \right) V_3 \left(\frac{t}{t_0} \right)^{\frac{5}{2}} e^{-2\Gamma F(\vec{k}, t)}$$

ข้อสังเกต $S(\vec{k}, t)$ ในกรณีที่คำนึงถึงการรบกวนเชิงความร้อน แตกต่างจากกรณีที่ไม่คำนึงถึงการรบกวนเชิงความร้อนตรงที่มีพจน์ $D \left(\frac{c_1}{c_1'} \right)$ เพิ่มเข้ามาในสัมประสิทธิ์

$$\text{พิสูจน์ว่า } C(\vec{r}, t) = \frac{\left(\Delta + D \left(\frac{c_1}{c_1'} \right) \right) A}{(2\pi)^3 t_0^{\frac{5}{2}}} \exp \left(-\frac{1}{8\Gamma t} \left(3 \left(\frac{2x}{\gamma t \cos \theta} + y \right)^2 + y^2 + z^2 \right) \right)$$

สามารถใช้วิธีคิดของกรณีที่ไม่คำนึงถึงการรบกวนเชิงความร้อนได้ ผลลัพธ์จะแตกต่างเพียงสัมประสิทธิ์ที่คูณอยู่เท่านั้น

กรณี (b)

พิสูจน์ว่า $A = \sqrt{\frac{\pi^3}{8\Gamma^3\left(1+\frac{1}{2}\left(\frac{\gamma}{\omega}\right)^2\right)}}$ และ $g(t-t') = (t-t')^{-\frac{3}{2}}$

ทำการแปลง $\int e^{-2\Gamma(F(\vec{k},t)-F(\vec{k},t'))} d^3k$ ด้วยจาโคเบียนของการแปลงและสมการที่ (14) ดังนั้น

$$\int e^{-2\Gamma(F(\vec{k},t)-F(\vec{k},t'))} d^3k = \int e^{-2\Gamma(F(\vec{q},\tau)-F(\vec{q},\tau'))} J d^3q = \int e^{-2\Gamma(F(\vec{q},\tau)-F(\vec{q},\tau'))} d^3q$$

เมื่อ $J = \left| \frac{\partial k_i}{\partial q_j} \right| = \begin{vmatrix} 1 & 0 & 0 \\ -\frac{\gamma}{\omega}(\sin(\omega\tau + \theta) - \sin(\theta)) & 1 & 0 \\ 0 & 0 & 1 \end{vmatrix} = 1$

$F(\vec{q},\tau) - F(\vec{q},\tau') = \left\{ \vec{q}^2 + \frac{2q_x q_y \gamma}{\omega} \sin\theta + \left(\frac{q_x \gamma}{\omega}\right)^2 \left(\frac{1}{2} + \sin^2\theta\right) \right\} (\tau - \tau')$ ดังนั้น

$$\int e^{-2\Gamma(F(\vec{q},\tau)-F(\vec{q},\tau'))} d^3q = \int e^{-2\Gamma F(\vec{q},(\tau-\tau'))} d^3q$$

$$\int e^{-2\Gamma(F(\vec{q},\tau)-F(\vec{q},\tau'))} d^3q$$

$$= \left\{ \sqrt{\frac{\pi}{2\left(\frac{1}{2}\left(\frac{\gamma}{\omega}\right)^2 + 1\right)\Gamma(\tau - \tau')}} \right\} \left\{ \sqrt{\frac{\pi}{2\Gamma(\tau - \tau')}} \right\} \left\{ \sqrt{\frac{\pi}{2\Gamma(\tau - \tau')}} \right\}$$

$$\int e^{-2\Gamma(F(\vec{q},\tau)-F(\vec{q},\tau'))} d^3q = \sqrt{\frac{\pi^3}{8\Gamma^3\left(1+\frac{1}{2}\left(\frac{\gamma}{\omega}\right)^2\right)}} (t-t')^{-\frac{3}{2}} \text{ ดังนั้น}$$

$$A = \sqrt{\frac{\pi^3}{8\Gamma^3\left(1+\frac{1}{2}\left(\frac{\gamma}{\omega}\right)^2\right)}} \text{ และ } g(t-t') = (t-t')^{-\frac{3}{2}}$$

จุฬาลงกรณ์มหาวิทยาลัย

พิสูจน์ว่า $\eta(t) = \left(\frac{t}{t_0}\right)^{-\frac{3}{2}}$ เมื่อ $t_0^2 = \frac{1}{2\sqrt{\pi}} \left(\frac{c_2 c'_1 - c'_2 c_1}{c'_1{}^2}\right)$

ขั้นตอนในการพิสูจน์จะคล้ายกับกรณี (a)

$\bar{g}(s) = \int_0^\infty g(t)e^{-st} dt = \int_0^\infty g(t + \alpha^2)e^{-st} dt$ โดย α คือจำนวนจริงใดที่ $\alpha^2 \ll 1$

$$\bar{g}(s) = \int_0^\infty g(t + \alpha^2)e^{-st} dt = \int_0^\infty (t + \alpha^2)^{-\frac{3}{2}} e^{-st} dt = \sqrt{s} e^{\alpha^2 s} \int_{\alpha^2 s}^\infty t^{-\frac{3}{2}} e^{-t} dt$$

$$\bar{g}(s) = -2\sqrt{s} e^{\alpha^2 s} \left\{ t^{-\frac{1}{2}} e^{-t} \Big|_{\alpha^2 s}^\infty + \int_{\alpha^2 s}^\infty t^{-\frac{1}{2}} e^{-t} dt \right\}$$

เนื่องจาก $\alpha^2 \ll 1$ ดังนั้น $\alpha^2 s \rightarrow 0$ และ $e^{\pm\alpha^2 s} \approx 1$ ทำให้

$$\bar{g}(s) = -2\sqrt{s} \left\{ -(\alpha^2 s)^{-\frac{1}{2}} + \int_0^\infty t^{-\frac{1}{2}} e^{-t} dt \right\}$$

$$\bar{g}(s) = \frac{2}{\alpha} - 2\sqrt{\pi}\sqrt{s}$$

จาก

$$\bar{\eta}(s) = \frac{1 + \frac{2\Gamma\Delta u_0 A \bar{g}(s)}{(2\pi)^3}}{s - \frac{2\Gamma D u_0 A}{(2\pi)^3} \bar{g}(s) - 2\Gamma r_0}$$

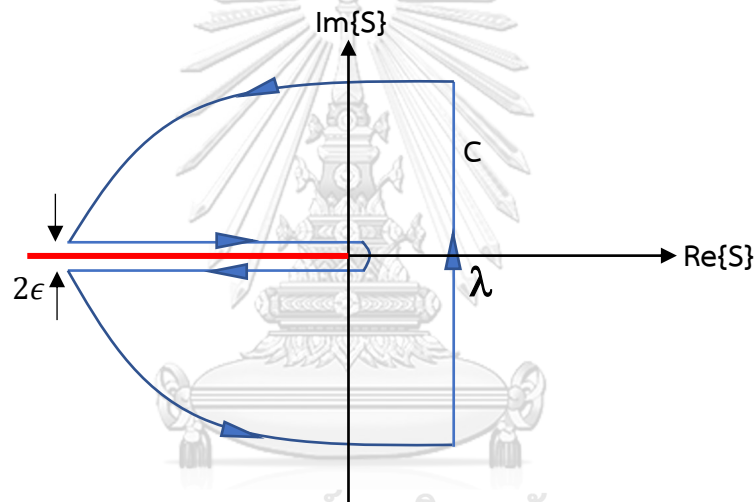
$$\bar{\eta}(s) = \frac{c_1 + c_2 \sqrt{s}}{c'_1 + c'_2 \sqrt{s} + s}$$

เมื่อ $Z = \frac{2\Gamma A u_0}{(2\pi)^3}$

$$c_1 = 1 + \frac{2\Delta Z}{\alpha}, c_2 = -2\sqrt{\pi}\Delta Z$$

$$c'_1 = -\frac{2DZ}{\alpha} - 2\Gamma r_0 \text{ และ } c'_2 = 2\sqrt{\pi}DZ$$

เนื่องจากพจน์ \sqrt{s} ทำให้เกิดแบริชคัตซึ่งเป็นสิ่งที่กำหนดเส้นทางในการอินทิเกรตดังภาพ



$$\oint_C \bar{\eta}(s) e^{st} ds = 0$$

$$-\int_{\lambda-i\infty}^{\lambda+i\infty} \bar{\eta}(s) e^{st} ds = \lim_{\epsilon \rightarrow 0} \left\{ \int_{-\infty+i\epsilon}^{0+i\epsilon} \bar{\eta}(s) e^{st} ds + \int_{0-i\epsilon}^{-\infty-i\epsilon} \bar{\eta}(s) e^{st} ds \right\}$$

$$-\int_{\lambda-i\infty}^{\lambda+i\infty} \bar{\eta}(s) e^{st} ds = \int_0^\infty \left\{ \frac{c_1 - ic_2 \sqrt{x}}{c'_1 - c'_2 i \sqrt{x} - x} \right\} e^{-xt} dx - \int_0^\infty \left\{ \frac{c_1 + ic_2 \sqrt{x}}{c'_1 + c'_2 i \sqrt{x} - x} \right\} e^{-xt} dx$$

จากเงื่อนไข $\lim t \rightarrow \infty$ ดังนั้นเฉพาะค่า $x \ll 0$ เท่านั้นที่มีผลต่อการอินทิเกรต

$$\eta(t) = \frac{1}{2\sqrt{\pi}} \left[\frac{c_2 c'_1 - c'_2 c_1}{c_1'^2} \right] t^{-5/2} = \left(\frac{t}{t_0} \right)^{-3/2}$$

เมื่อ $t_0^{\frac{3}{2}} = \frac{1}{2\sqrt{\pi}} \left(\frac{c_2 c'_1 - c'_2 c_1}{c_1'^2} \right)$

พิสูจน์ว่า $S(\vec{k}, t) = \left(\Delta + D \left(\frac{c_1}{c'_1} \right) \right) V_3 \left(\frac{t}{t_0} \right)^{\frac{3}{2}} e^{-2\Gamma F(\vec{k}, t)}$

จาก $S(\vec{k}, t) = \frac{\Delta V_3}{\eta(t)} e^{-2\Gamma F(\vec{k}, t)} + DV_3 \int_0^t \frac{\eta(t')}{\eta(t)} e^{2\Gamma(F(\vec{k}, t') - F(\vec{k}, t))} dt'$

จากเงื่อนไข $\lim t \rightarrow \infty$ ดังนั้นเฉพาะค่า $t' \ll 0$ เท่านั้นที่มีผลต่อการอินทิเกรต

$$S(\vec{k}, t) = \frac{\Delta V_3}{\eta(t)} e^{-2\Gamma F(\vec{k}, t)} + \frac{DV_3 e^{-2\Gamma F(\vec{k}, t)}}{\eta(t)} \int_0^\infty \eta(t') dt'$$

$$S(\vec{k}, t) = (\Delta + D\bar{\eta}(0)) \frac{V_3}{\eta(t)} e^{-2\Gamma F(\vec{k}, t)}$$

$$S(\vec{k}, t) = \left(\Delta + D \left(\frac{c_1}{c'_1} \right) \right) V_3 \left(\frac{t}{t_0} \right)^{\frac{3}{2}} e^{-2\Gamma F(\vec{k}, t)}$$

ข้อสังเกต $S(\vec{k}, t)$ ในกรณีที่ไม่คำนึงถึงการรบกวนเชิงความร้อน แตกต่างจากกรณีที่ไม่คำนึงถึงการรบกวนเชิงความร้อนตรงที่มีพจน์ $D \left(\frac{c_1}{c'_1} \right)$ เพิ่มเข้ามาในสัมประสิทธิ์

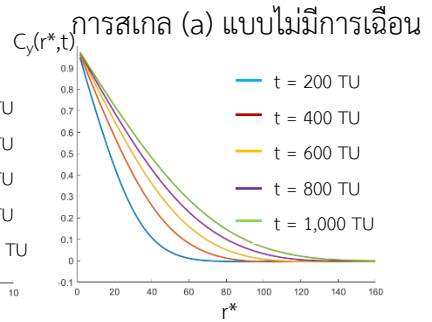
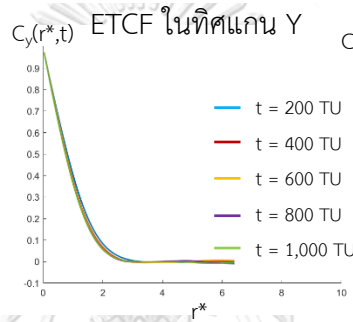
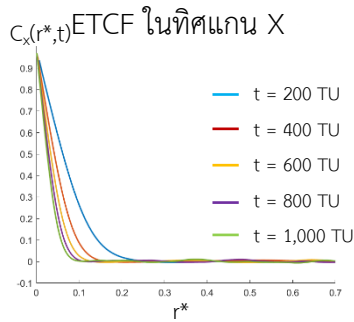
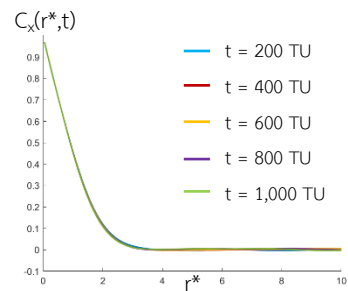
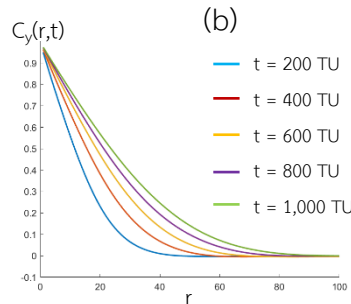
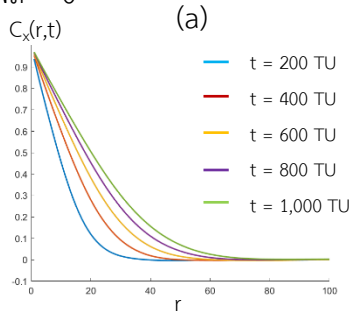
พิสูจน์ว่า $C(\vec{r}, t) = \frac{\left(\Delta + D \left(\frac{c_1}{c'_1} \right) \right)^A}{(2\pi)^3 t_0^{\frac{3}{2}}} \exp \left(-\frac{1}{8\Gamma t} \left(\beta \left(x - \frac{\gamma}{\omega} y \sin(\omega t + \theta) \right)^2 + y^2 + z^2 \right) \right)$

สามารถใช้วิธีคิดของกรณีที่ไม่คำนึงถึงการรบกวนเชิงความร้อนได้ ผลลัพธ์จะแตกต่างเพียงสัมประสิทธิ์ที่คุณอยู่เท่านั้น

ภาคผนวก ค

ความถี่ = 64 , $\ell = 4,096$

เฟส = 0

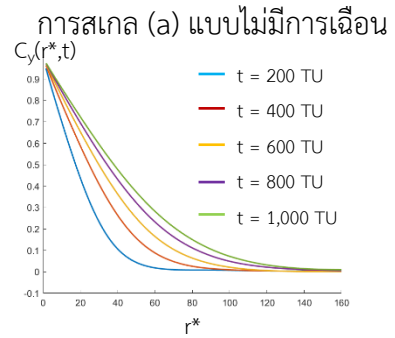
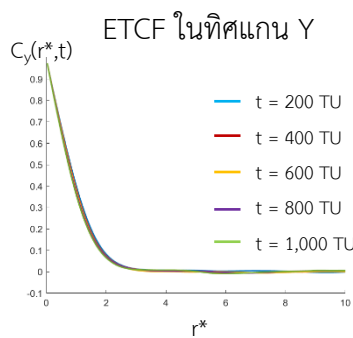
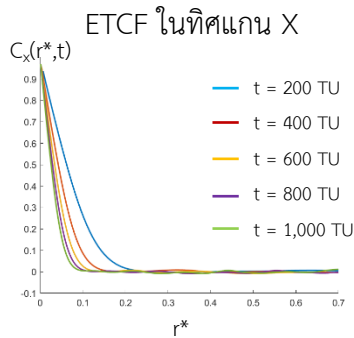
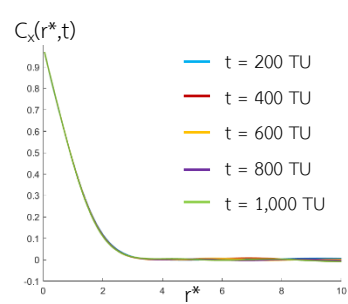
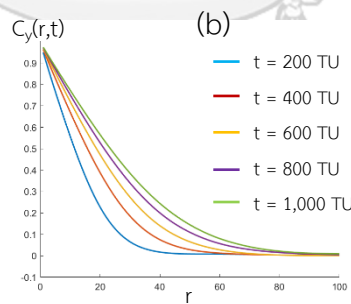
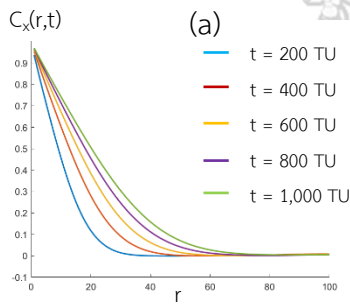


การสเกล (a) ภายใต้การเฉือนแบบสม่ำเสมอ

การสเกล (b) แบบไม่มีการเฉือน

การสเกล (b) ภายใต้การเฉือนแบบสม่ำเสมอ

เฟส = 5

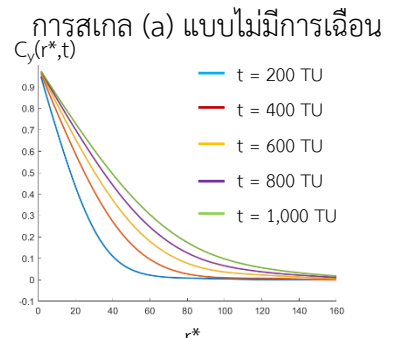
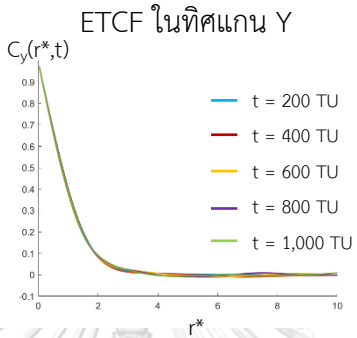
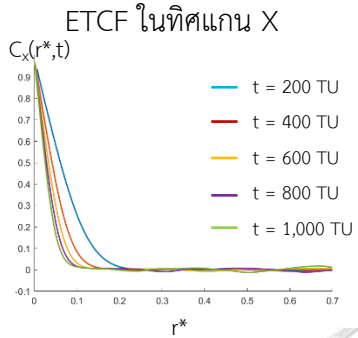
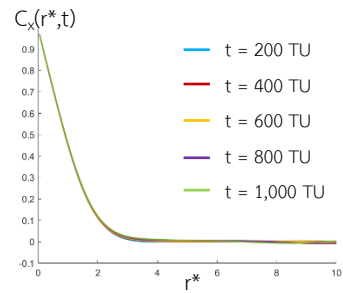
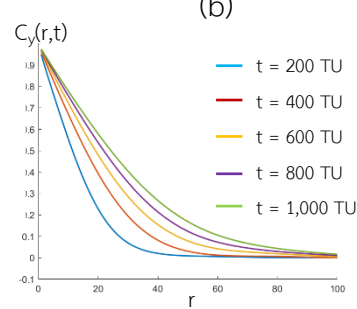
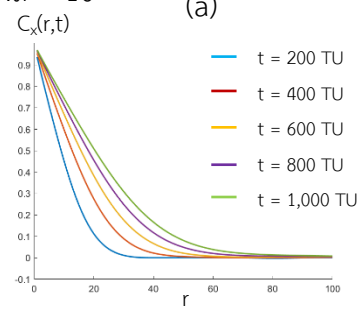


การสเกล (a) ภายใต้การเฉือนแบบสม่ำเสมอ

การสเกล (b) แบบไม่มีการเฉือน

การสเกล (b) ภายใต้การเฉือนแบบสม่ำเสมอ

เฟส = 10

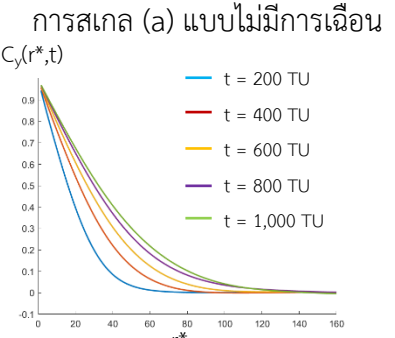
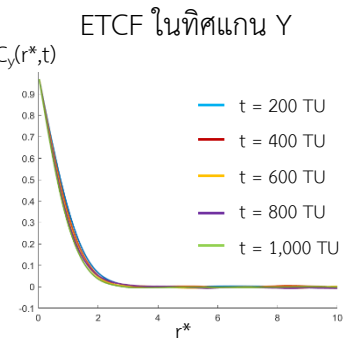
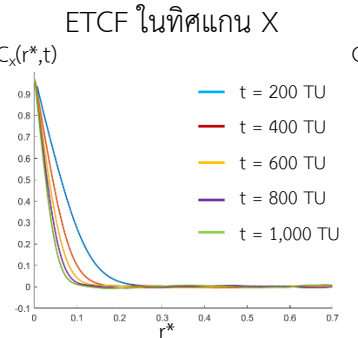
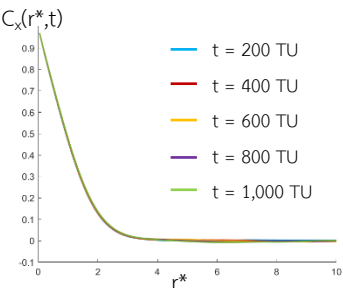
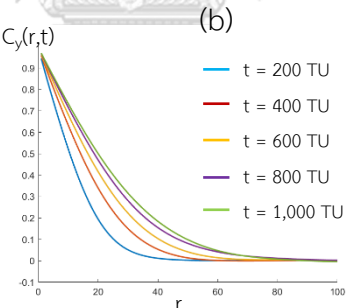
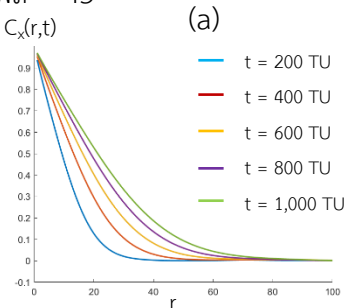


การสเกล (a) ภายใต้การเฉือนแบบสม่ำเสมอ

การสเกล (b) แบบไม่มีการเฉือน

การสเกล (b) ภายใต้การเฉือนแบบสม่ำเสมอ

เฟส = 45

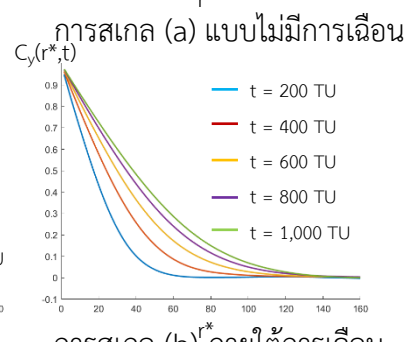
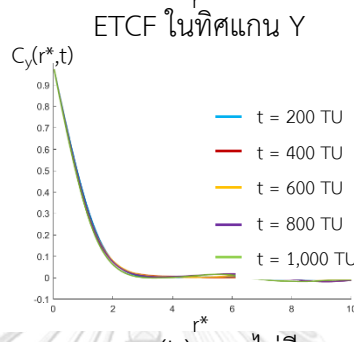
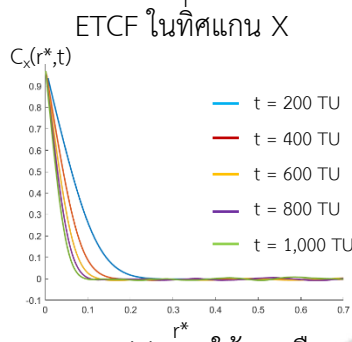
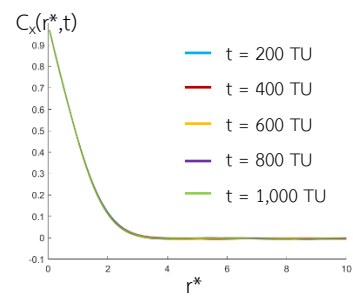
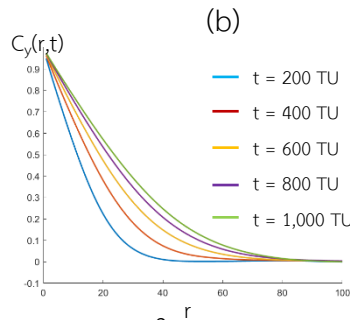
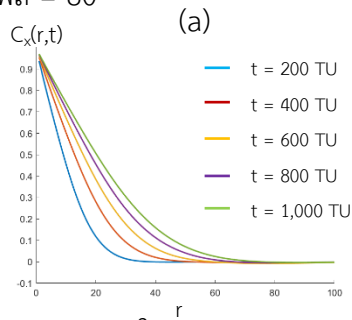


การสเกล (a) ภายใต้การเฉือนแบบสม่ำเสมอ

การสเกล (b) แบบไม่มีการเฉือน

การสเกล (b) ภายใต้การเฉือนแบบสม่ำเสมอ

เฟส = 80

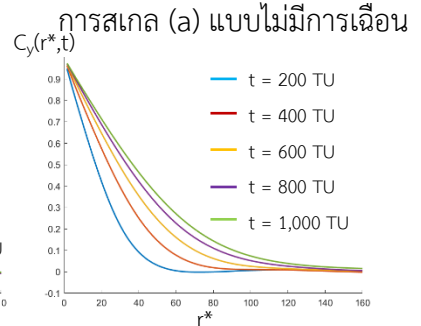
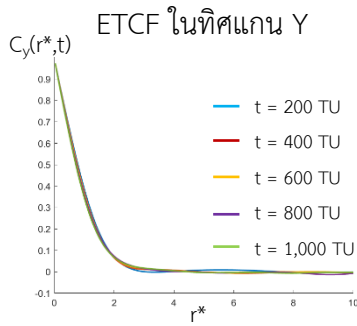
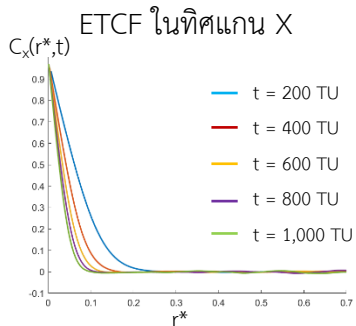
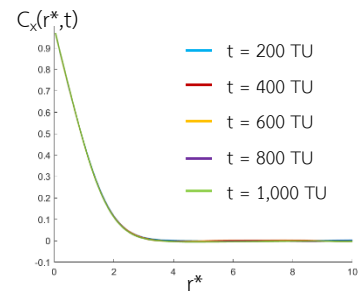
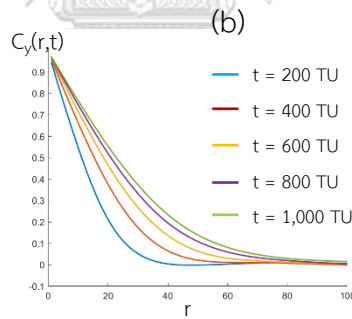
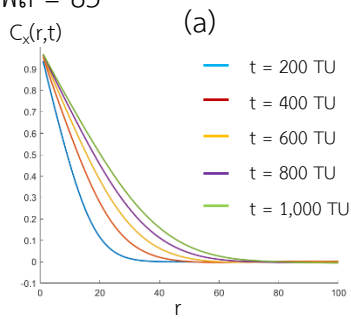


การสเกล (a) ภายใต้การเฉือนแบบสม่ำเสมอ

การสเกล (b) แบบไม่มีการเฉือน

การสเกล (b) ภายใต้การเฉือนแบบสม่ำเสมอ

เฟส = 85

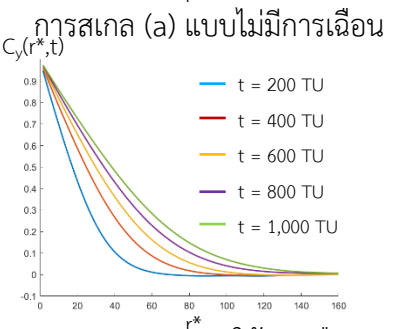
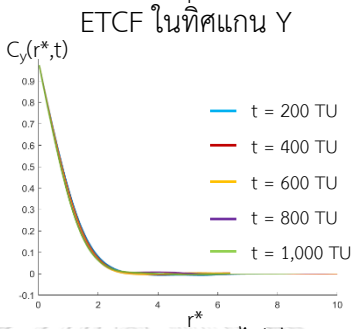
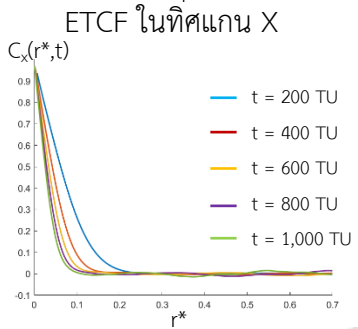
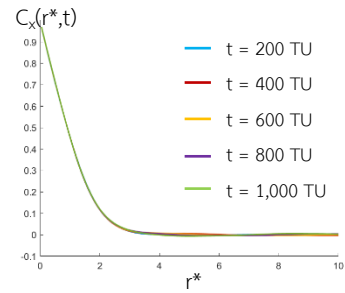
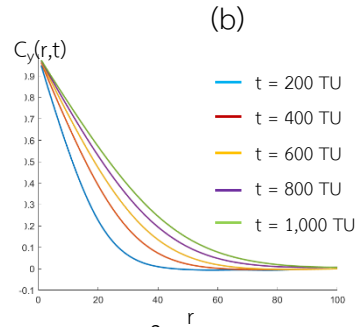
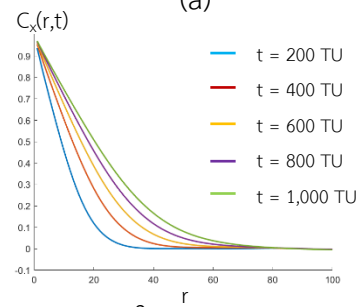


การสเกล (a) ภายใต้การเฉือนแบบสม่ำเสมอ

การสเกล (b) แบบไม่มีการเฉือน

การสเกล (b) ภายใต้การเฉือนแบบสม่ำเสมอ

เฟส = 90



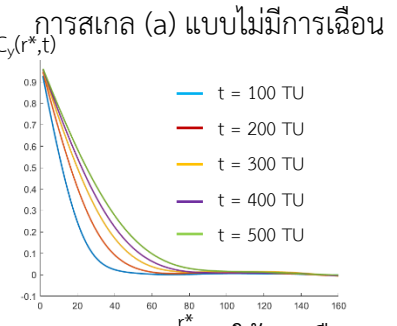
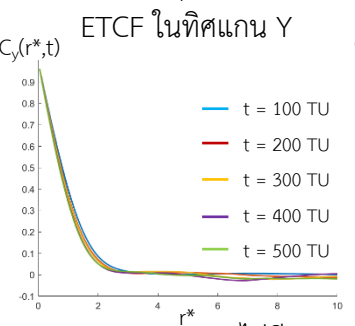
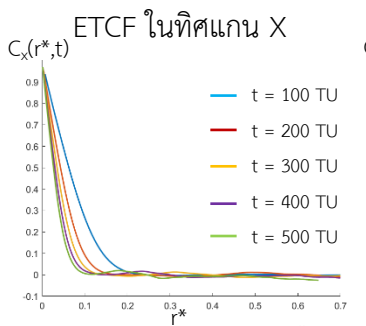
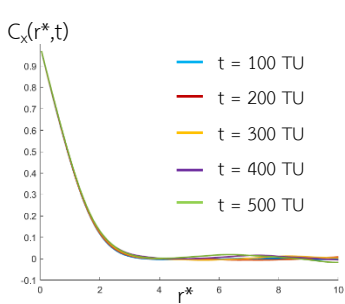
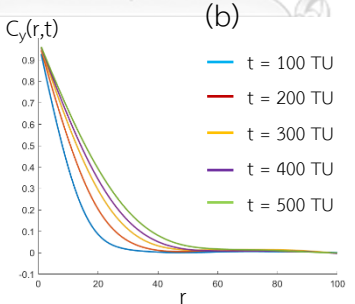
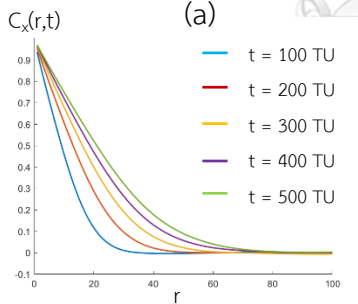
การสเกล (a) ภายใต้การเฉือน
แบบสม่ำเสมอ

การสเกล (b) แบบไม่มีการ
เฉือน

การสเกล (b) ภายใต้การเฉือน
แบบสม่ำเสมอ

ความถี่ = 48 , $\ell = 2,048$

เฟส = 0

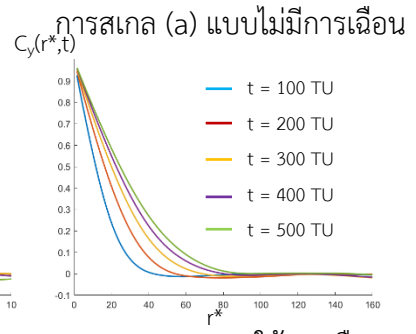
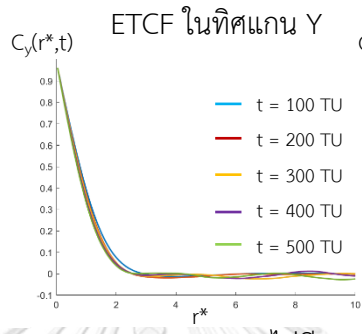
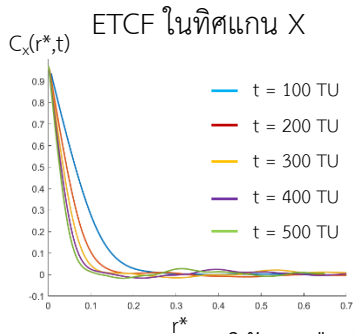
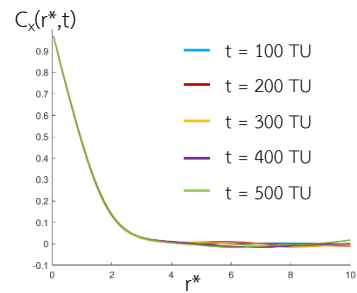
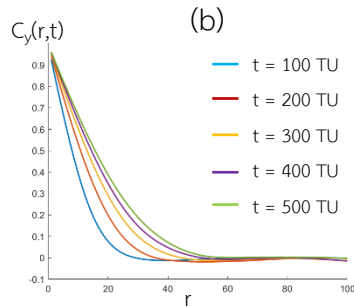
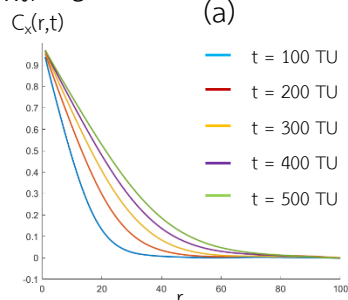


การสเกล (a) ภายใต้การเฉือน
แบบสม่ำเสมอ

การสเกล (b) แบบไม่มีการ
เฉือน

การสเกล (b) ภายใต้การเฉือน
แบบสม่ำเสมอ

เฟส = 5

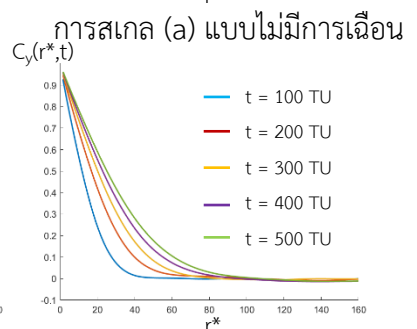
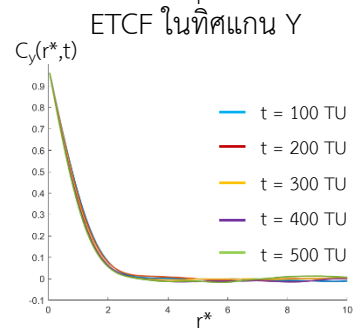
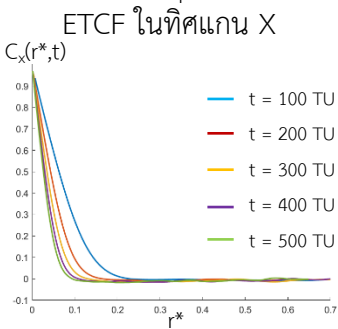
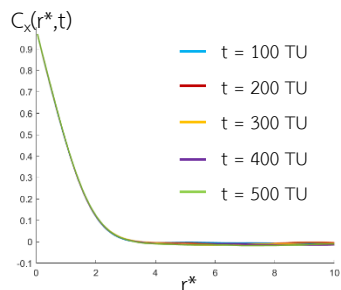
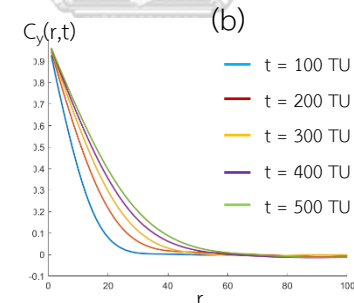
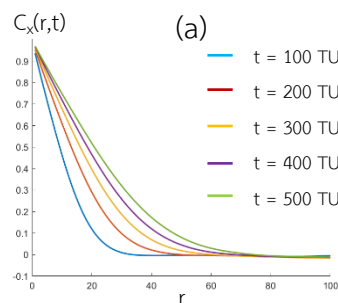


การสเกล (a) ภายใต้การเงื่อนไขแบบสมมาตร

การสเกล (b) แบบไม่มีการเงื่อนไข

การสเกล (b) ภายใต้การเงื่อนไขแบบสมมาตร

เฟส = 10

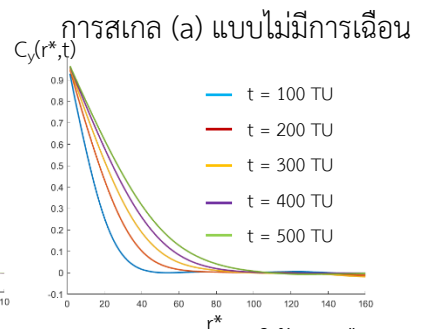
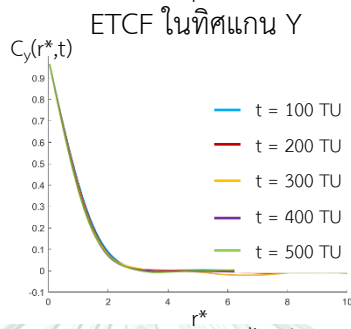
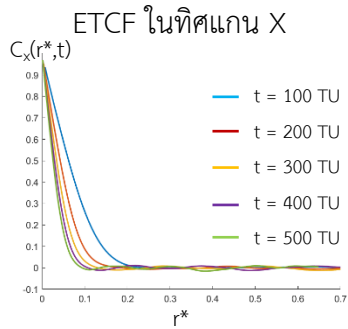
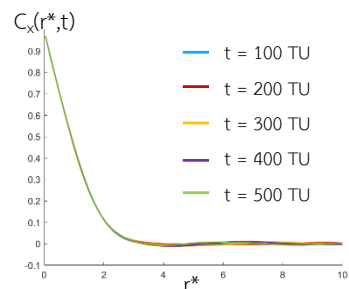
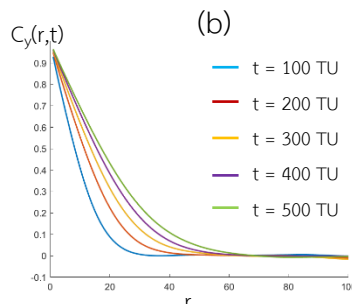
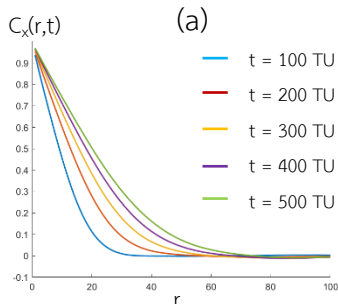


การสเกล (a) ภายใต้การเงื่อนไขแบบสมมาตร

การสเกล (b) แบบไม่มีการเงื่อนไข

การสเกล (b) ภายใต้การเงื่อนไขแบบสมมาตร

เฟส = 45

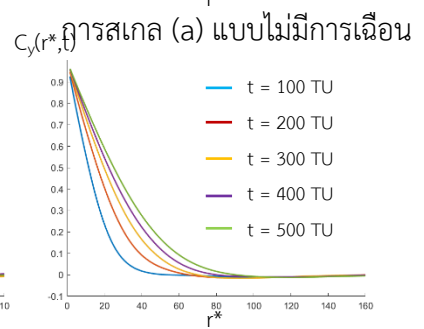
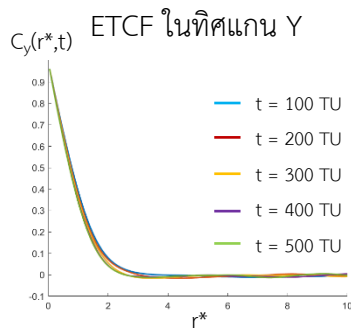
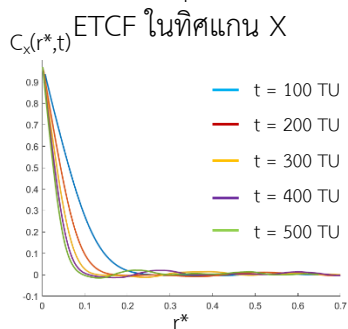
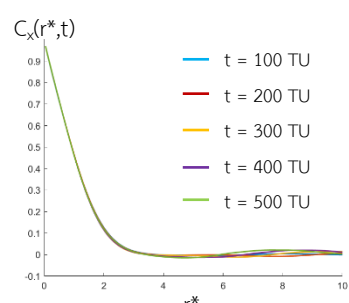
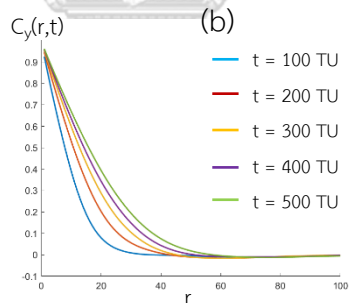
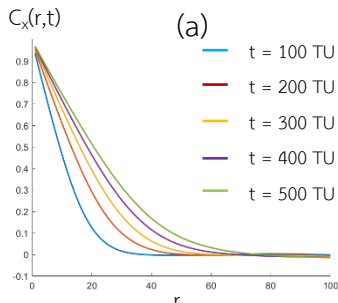


การสเกล (a) ภายใต้การเฉือนแบบสม่ำเสมอ

การสเกล (b) แบบไม่มีการเฉือน

การสเกล (b) ภายใต้การเฉือนแบบสม่ำเสมอ

เฟส = 80

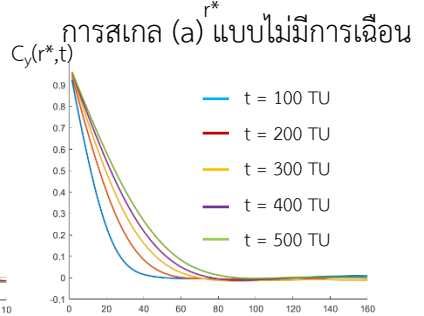
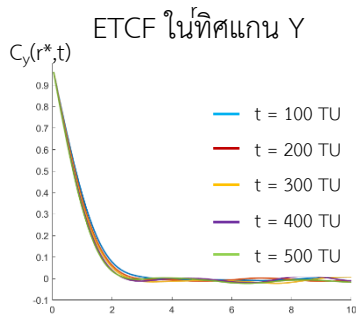
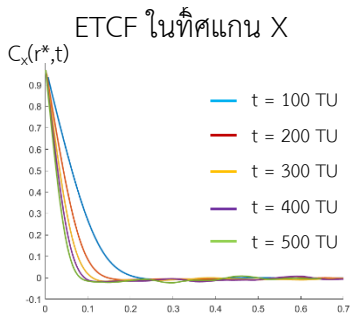
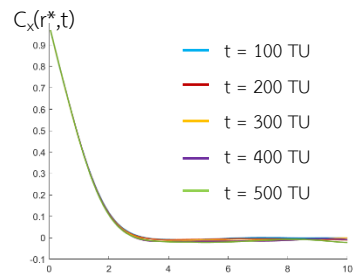
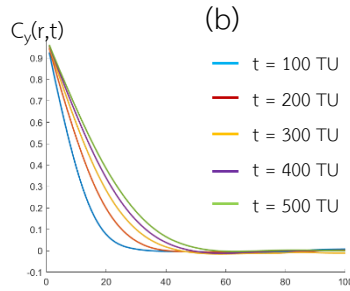
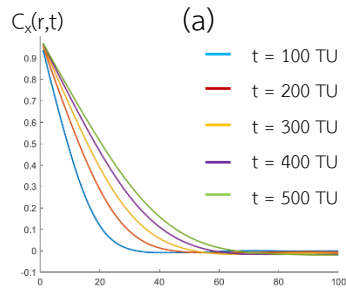


การสเกล (a) ภายใต้การเฉือนแบบสม่ำเสมอ

การสเกล (b) แบบไม่มีการเฉือน

การสเกล (b) ภายใต้การเฉือนแบบสม่ำเสมอ

เฟส = 85

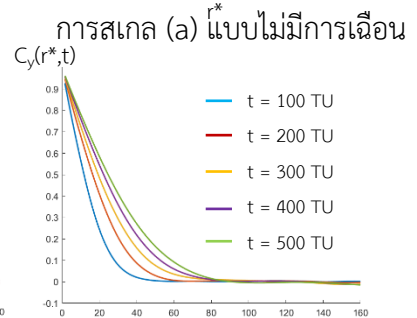
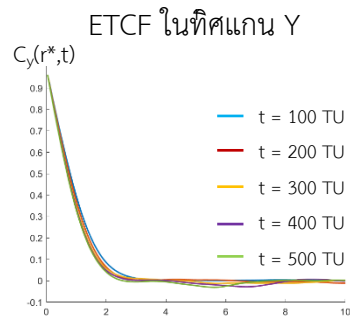
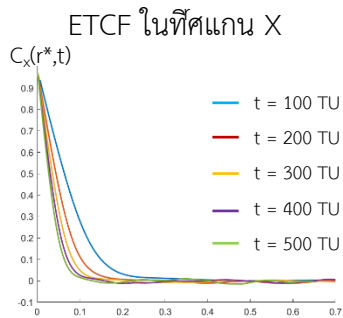
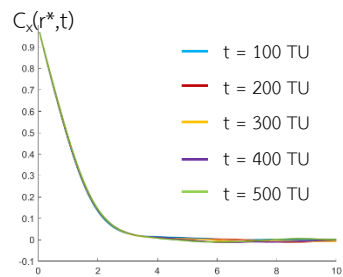
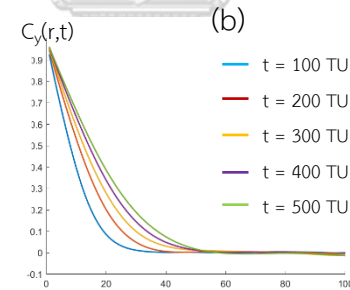
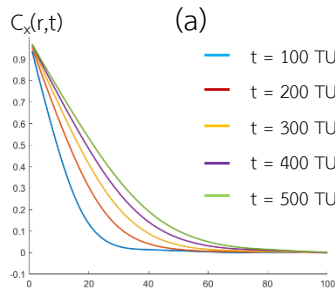


การสเกล (a) ภายใต้การเฉือนแบบสม่ำเสมอ

การสเกล (b) แบบไม่มีการเฉือน

การสเกล (b) ภายใต้การเฉือนแบบสม่ำเสมอ

เฟส = 90



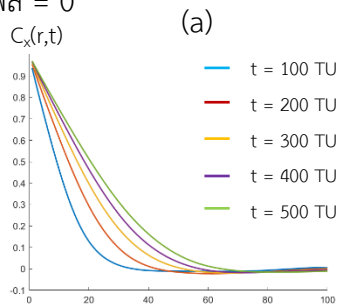
การสเกล (a) ภายใต้การเฉือนแบบสม่ำเสมอ

การสเกล (b) แบบไม่มีการเฉือน

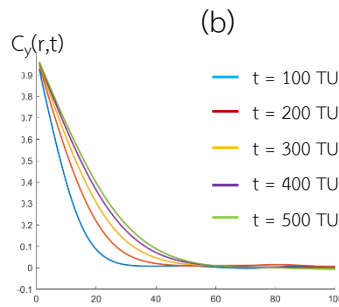
การสเกล (b) ภายใต้การเฉือนแบบสม่ำเสมอ

ความถี่ = 24 , $\ell = 2,048$

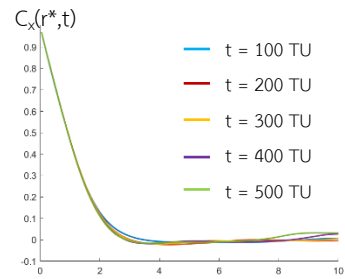
เฟส = 0



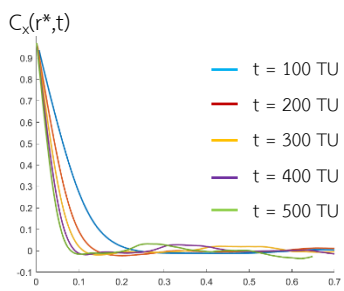
ETCF ในทิศแกน X



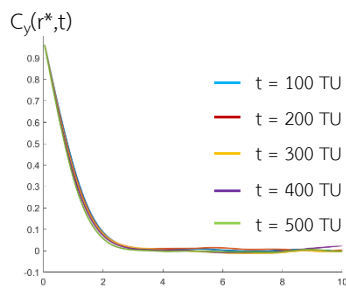
ETCF ในทิศแกน Y



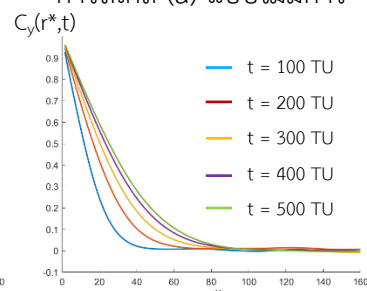
การสเกล (a) แบบไม่มีการ



การสเกล (a) ภายใต้การเฉือน
แบบสม่ำเสมอ

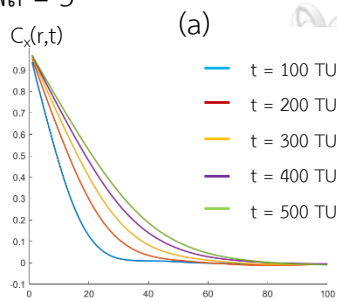


การสเกล (b) แบบไม่มีการ
เฉือน

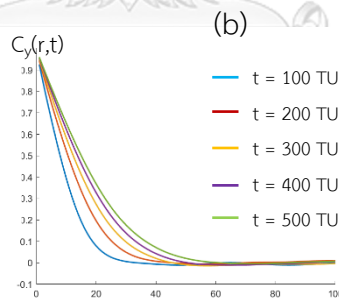


การสเกล (b) ภายใต้การเฉือน
แบบสม่ำเสมอ

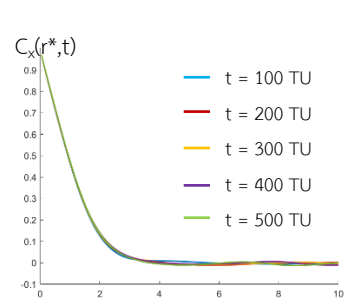
เฟส = 5



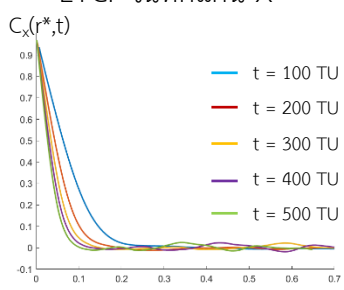
ETCF ในทิศแกน X



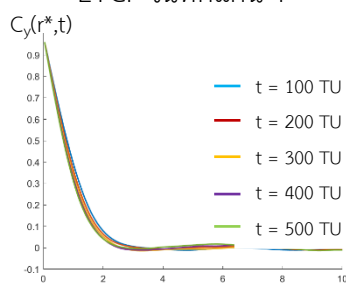
ETCF ในทิศแกน Y



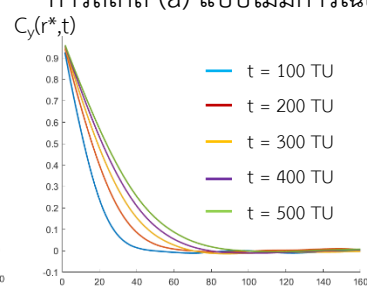
การสเกล (a) แบบไม่มีการเฉือน



การสเกล (a) ภายใต้การเฉือน
แบบสม่ำเสมอ

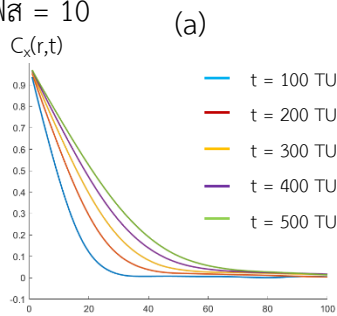


การสเกล (b) แบบไม่มีการ
เฉือน

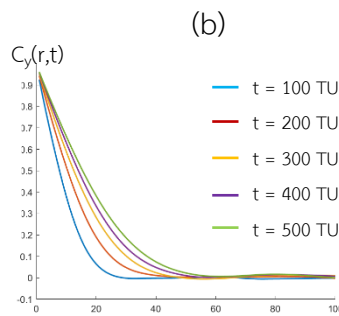


การสเกล (b) ภายใต้การเฉือน
แบบสม่ำเสมอ

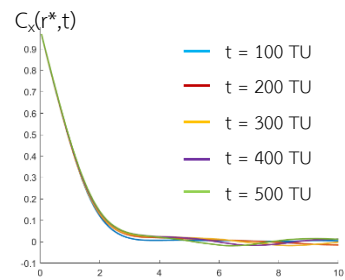
เฟส = 10



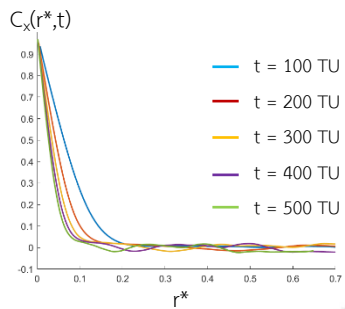
ETCF ในทิศแกน X



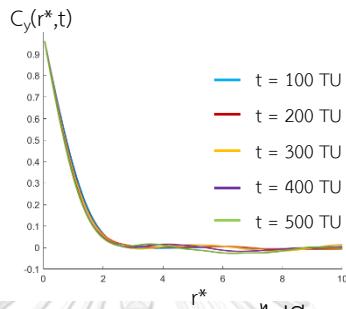
ETCF ในทิศแกน Y



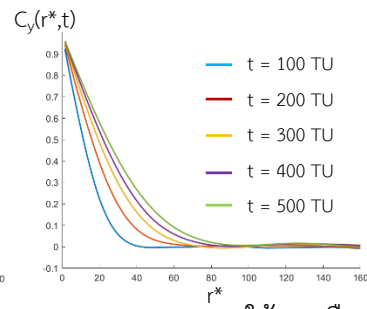
การสเกล (a) แบบไม่มีการเฉือน



การสเกล (a) ภายใต้การเฉือน
แบบสม่ำเสมอ

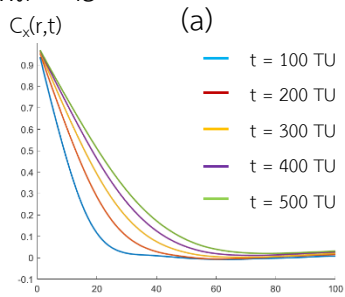


การสเกล (b) แบบไม่มีการ
เฉือน

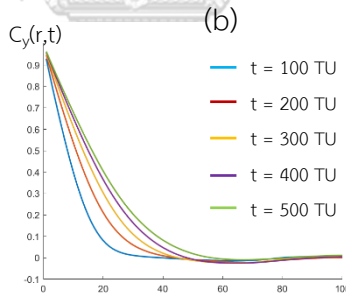


การสเกล (b) ภายใต้การเฉือน
แบบสม่ำเสมอ

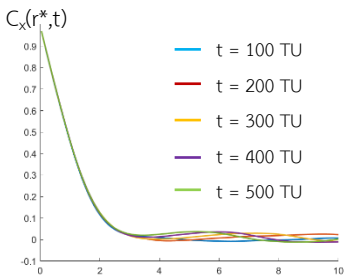
เฟส = 45



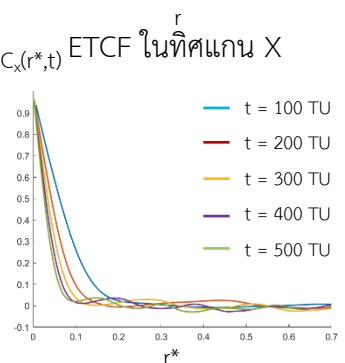
ETCF ในทิศแกน X



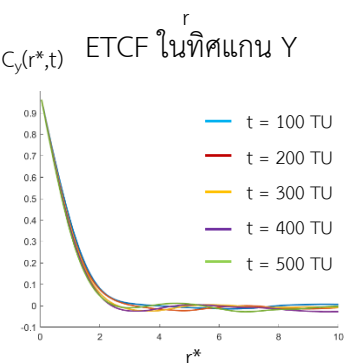
ETCF ในทิศแกน Y



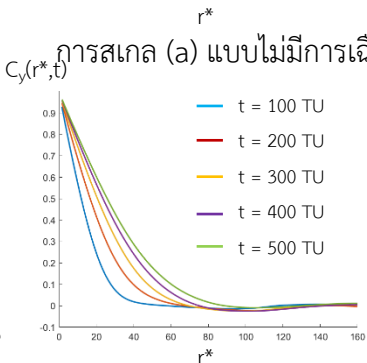
การสเกล (a) แบบไม่มีการเฉือน



การสเกล (a) ภายใต้การเฉือน
แบบสม่ำเสมอ

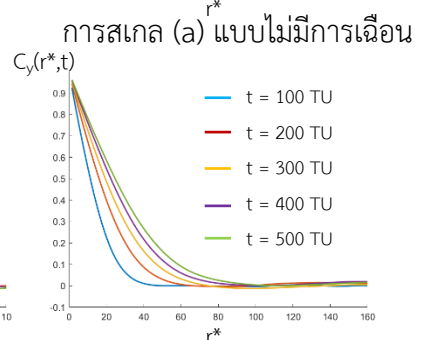
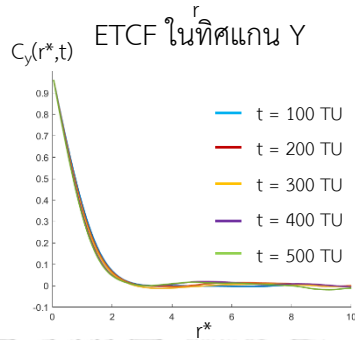
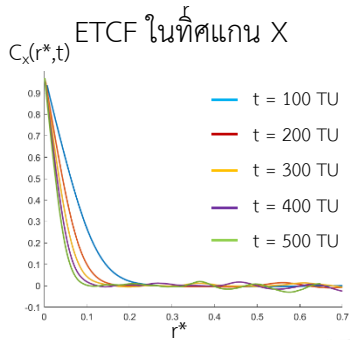
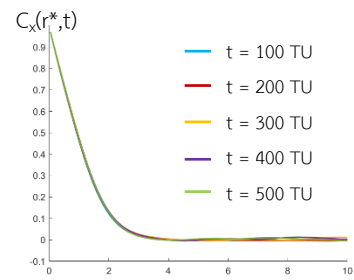
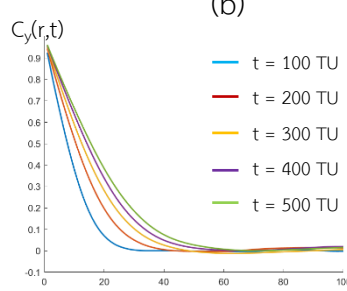
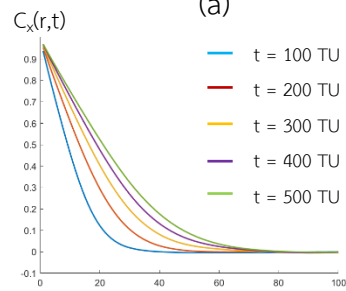


การสเกล (b) แบบไม่มีการ
เฉือน



การสเกล (b) ภายใต้การเฉือน
แบบสม่ำเสมอ

เฟส = 80

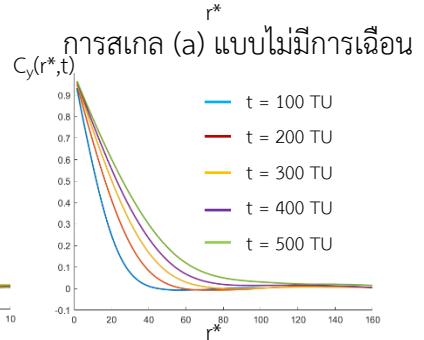
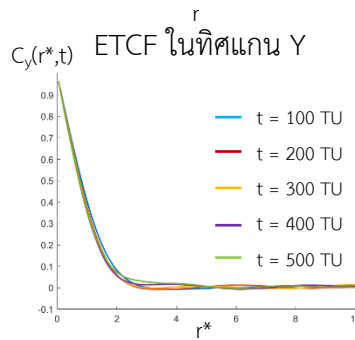
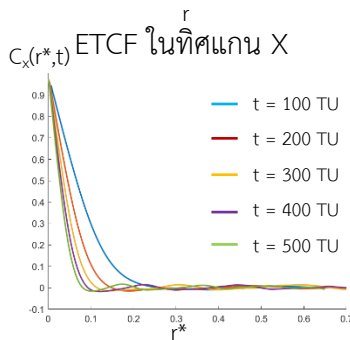
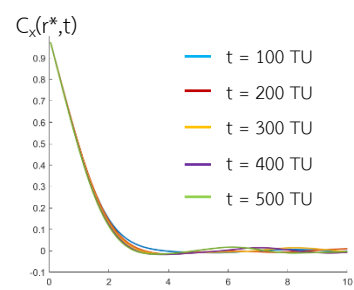
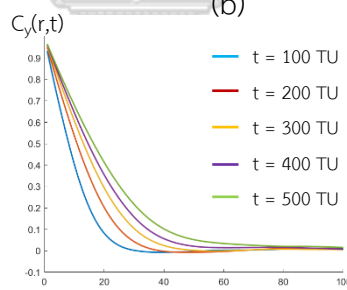
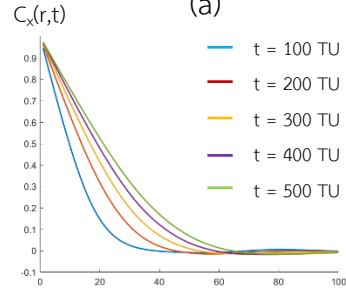


การสเกล (a) ภายใต้การเฉือน
แบบสม่ำเสมอ

การสเกล (b) แบบไม่มีการ
เฉือน

การสเกล (b) ภายใต้การเฉือน
แบบสม่ำเสมอ

เฟส = 85

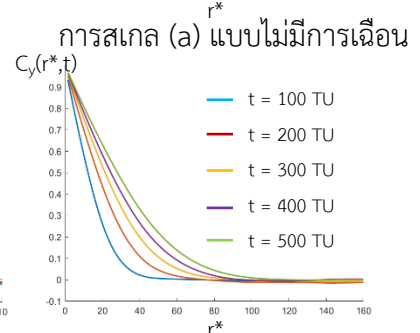
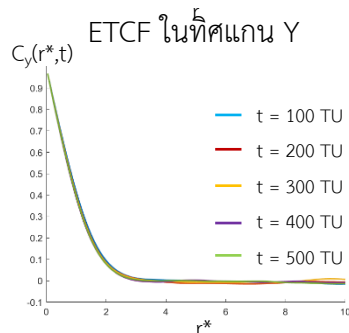
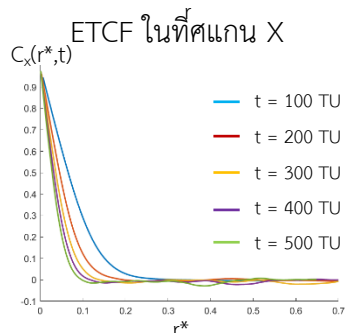
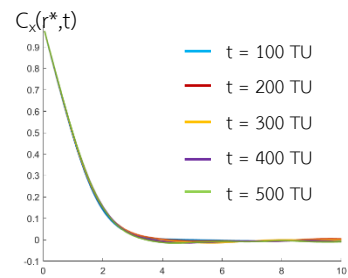
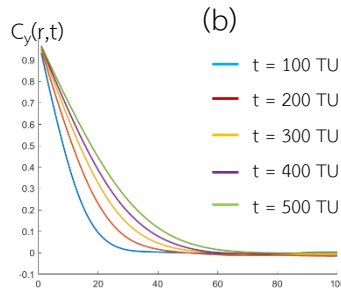
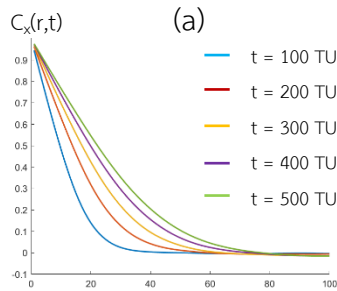


การสเกล (a) ภายใต้การเฉือน
แบบสม่ำเสมอ

การสเกล (b) แบบไม่มีการ
เฉือน

การสเกล (b) ภายใต้การเฉือน
แบบสม่ำเสมอ

เฟส = 90



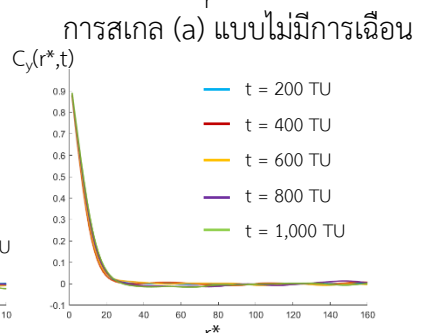
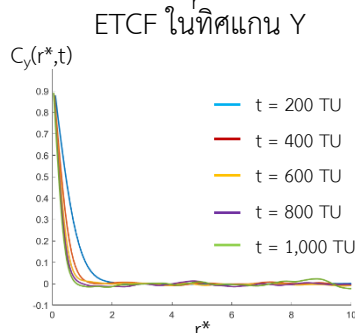
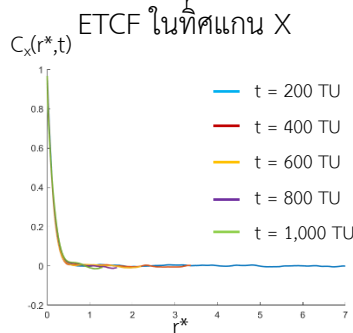
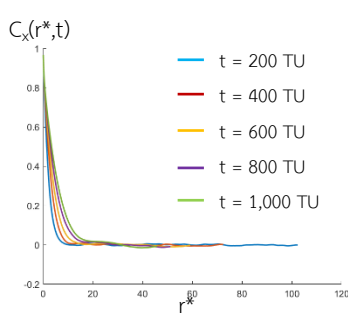
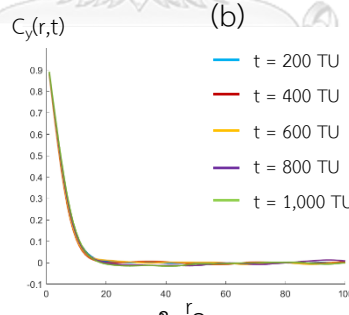
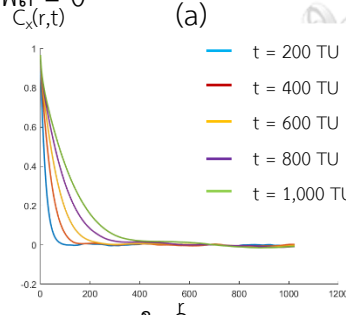
การสเกล (a) ภายใต้การเฉือน
แบบสม่ำเสมอ

การสเกล (b) แบบไม่มีการ
เฉือน

การสเกล (b) ภายใต้การเฉือน
แบบสม่ำเสมอ

ความถี่ = 0.00001 , $\ell = 4,096$

เฟส = 0

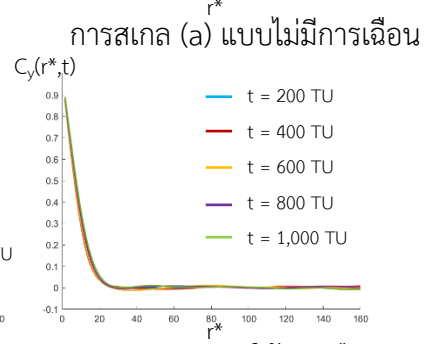
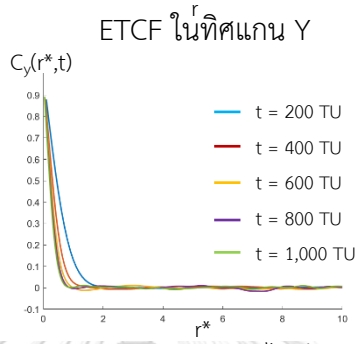
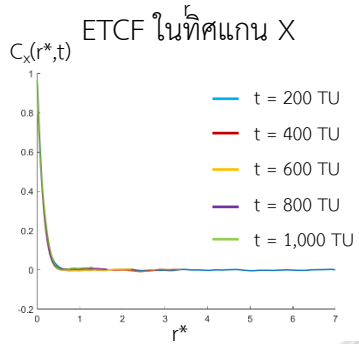
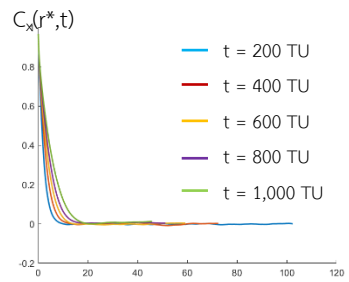
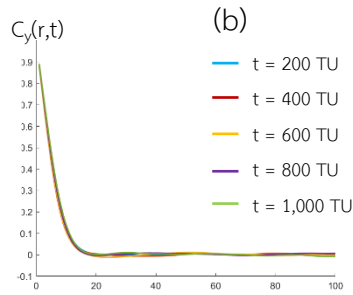
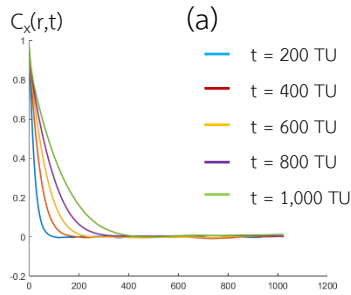


การสเกล (a) ภายใต้การเฉือน
แบบสม่ำเสมอ

การสเกล (b) แบบไม่มีการ
เฉือน

การสเกล (b) ภายใต้การเฉือน
แบบสม่ำเสมอ

เฟส = 5

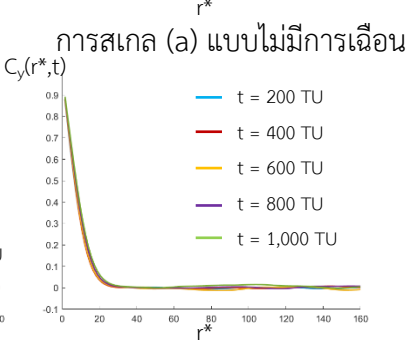
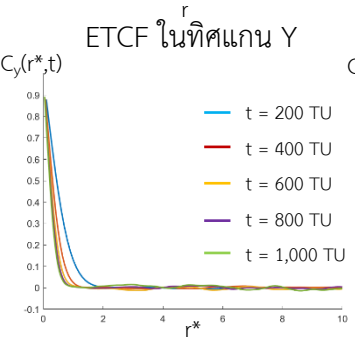
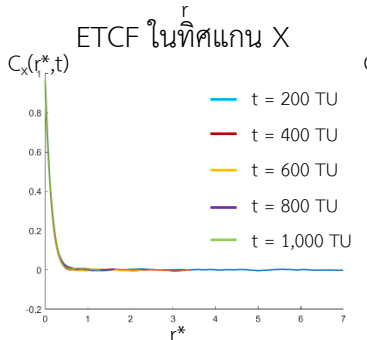
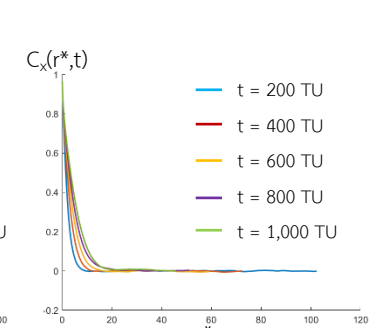
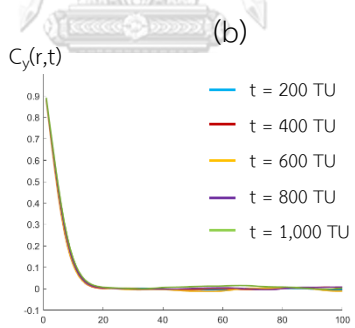
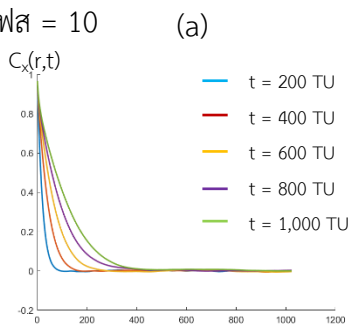


การสเกล (a) ภายใต้การเลื่อน
แบบสม่ำเสมอ

การสเกล (b) แบบไม่มีการ
เลื่อน

การสเกล (b) ภายใต้การเลื่อน
แบบสม่ำเสมอ

เฟส = 10

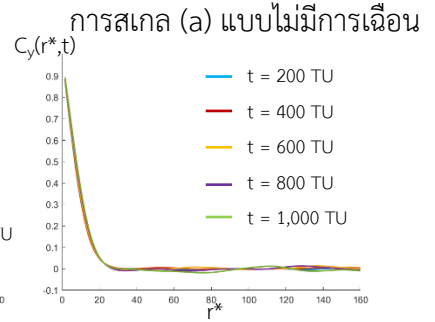
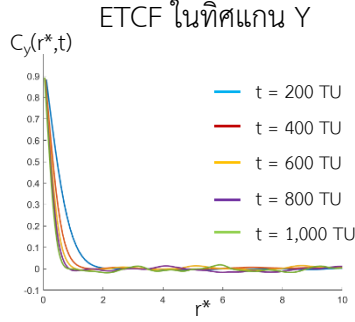
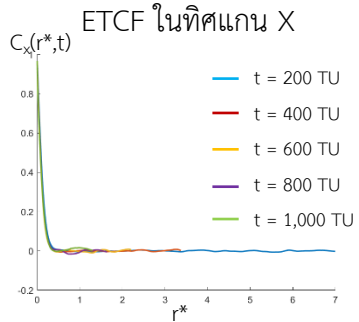
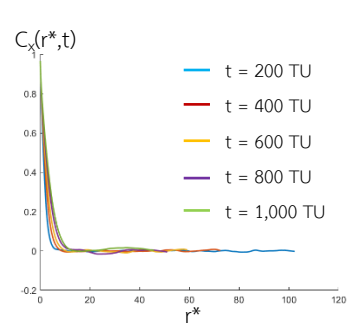
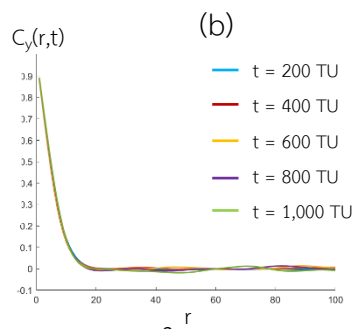
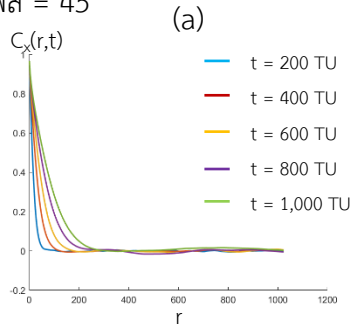


การสเกล (a) ภายใต้การเลื่อน
แบบสม่ำเสมอ

การสเกล (b) แบบไม่มีการ
เลื่อน

การสเกล (b) ภายใต้การเลื่อน
แบบสม่ำเสมอ

เฟส = 45

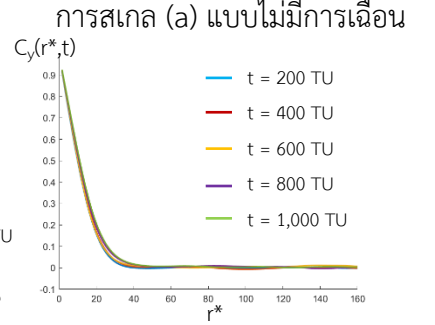
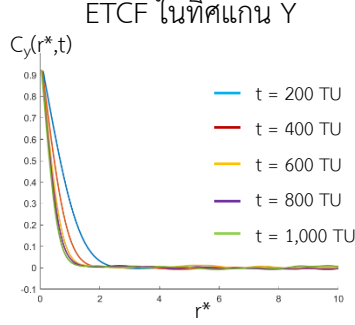
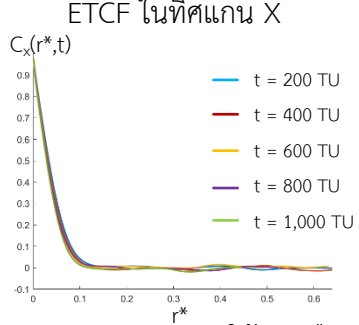
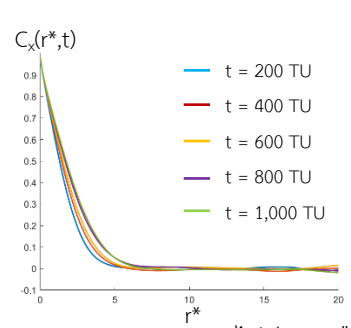
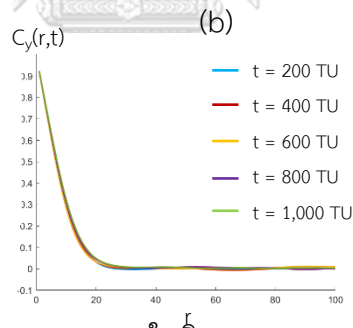
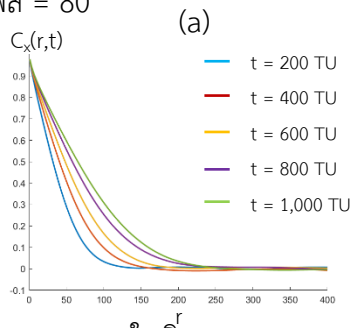


การสเกล (a) ภายใต้การเฉือน
แบบสม่ำเสมอ

การสเกล (b) แบบไม่มีการ
เฉือน

การสเกล (b) ภายใต้การเฉือน
แบบสม่ำเสมอ

เฟส = 80

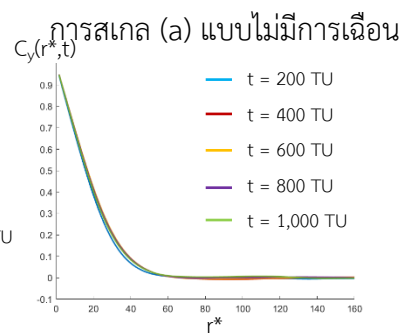
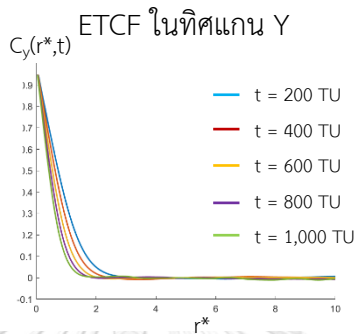
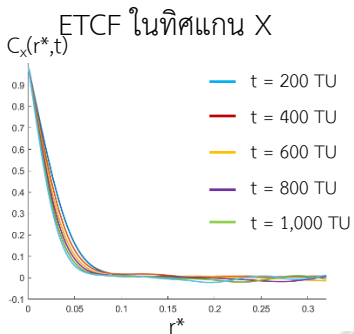
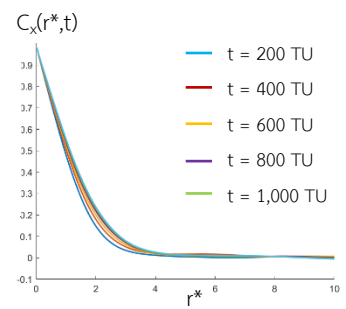
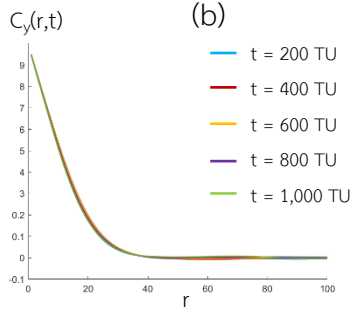
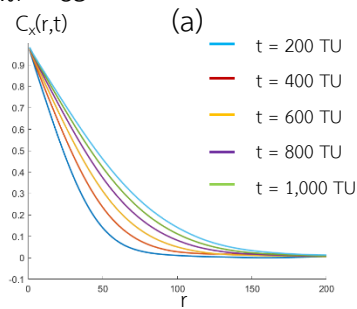


การสเกล (a) ภายใต้การเฉือน
แบบสม่ำเสมอ

การสเกล (b) แบบไม่มีการ
เฉือน

การสเกล (b) ภายใต้การเฉือน
แบบสม่ำเสมอ

เฟส = 85

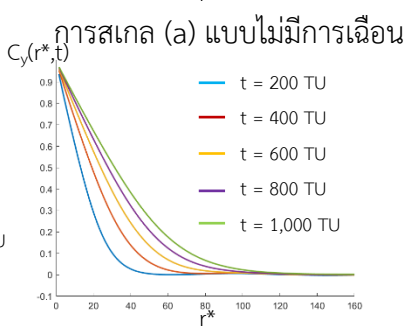
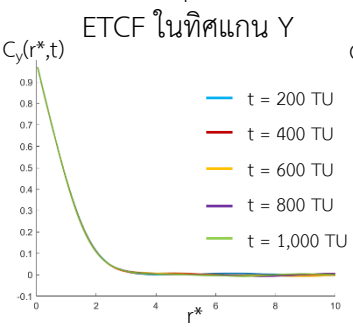
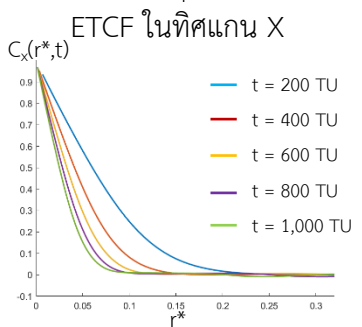
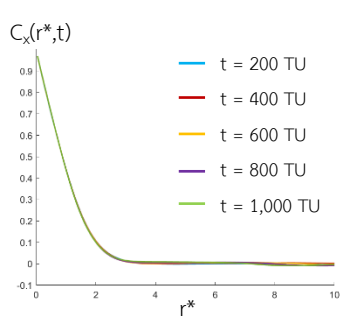
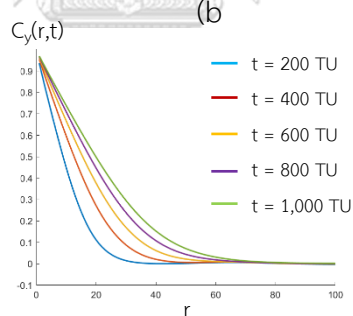
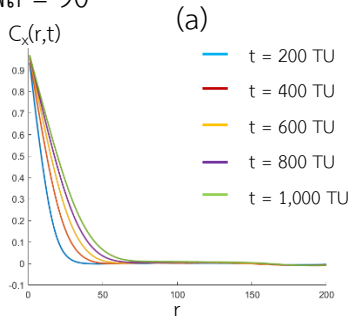


การสเกล (a) ภายใต้การเลื่อน
แบบสม่ำเสมอ

การสเกล (b) แบบไม่มีการ
เลื่อน

การสเกล (b) ภายใต้การเลื่อน
แบบสม่ำเสมอ

เฟส = 90



การสเกล (a) ภายใต้การเลื่อน
แบบสม่ำเสมอ

การสเกล (b) แบบไม่มีการ
เลื่อน

การสเกล (b) ภายใต้การเลื่อน
แบบสม่ำเสมอ

ประวัติผู้เขียน

ชื่อ-สกุล	สรารุฐ สะสม
วัน เดือน ปี เกิด	25 กันยายน 2536
สถานที่เกิด	อำเภอเมือง จังหวัดเชียงใหม่
วุฒิการศึกษา	สถาบันเทคโนโลยีพระจอมเกล้าเจ้าคุณทหารลาดกระบัง
ที่อยู่ปัจจุบัน	107 ซัยกานต์อพาร์ทเมนต์ ซ.พระยาตำรารงค์ ถ.พระราม 4 แขวงมหาพฤฒาราม เขตบางรัก กรุงเทพมหานคร 10500
ผลงานตีพิมพ์	-
รางวัลที่ได้รับ	-



จุฬาลงกรณ์มหาวิทยาลัย
CHULALONGKORN UNIVERSITY